

ՀԱՅԱՍՏԱՐԻ ՔԻՄԻԱԿԱՐ ՀԱՐԴԵՍ

Химический журнал армении

CHEMICAL JOURNAL OF ARMENIA

₩ FF K 4 P K 4 K L b 4 B L b 4 P K

Վ. Դ. Ազատյան (գլի. իմբագրի տեղակալ), Ա. Ա. Ալչուջյան, Հ. Գ. Բաբայան, Գ. Տ. Թադևոսյան (գլի. իմբագիր), Վ. Մ. Բառայան, Ա. Մ. Հակոբյան, Հ. Ա. Հարոյան, Ա. Հ. Մանթաշյան, Մ. Գ. Մանվելյան, Լ. Գ. Մելբոնյան, Հ. Հ. Չալթիկյան, Ս. Հ. Վարդանյան, Ս. Ա. Տեր-Դանիելյան (պատ. ՝ բարառողար), Տ. Վ. Քրմոյան

РЕДАКЦИОННАЯ КОЛЛЕГИЯ

В. Д. Азатян (зам. глав. редактора), А. Н. Акопян, А. А. Алчуджан, А. А. Ароян, Г. Г. Бабаян, С. А. Вартанян, Т. В. Крмоян, М. Г. Манвелян, А. А. Манташян, Л. Г. Мелконян, В. М. Тараян, Г. Т. Татевосян (глав. редактор), С. А. Тер-Даниелян (ответ. секретарь), О. А. Чалтыкян

Адрес редакции: Ереван, Барекамутян, 24

ОБЩАЯ И ФИЗИЧЕСКАЯ ХИМИЯ

УДК 541.28

СВЕРХТОНКОЕ РАСЩЕПЛЕНИЕ НА ПРОТОНЕ ГИДРОКСИЛЬНОЙ ГРУППЫ*

Ю. А. КРУГЛЯК

Институт физической химии им. Л. В. Писаржевского АН УССР

Поступило 31 III 1969

На основе сходства электронной структуры фрагментов СН и ОН получена оценка для константы сверхтонкого расщепления на протоне группы ОН: $Q_{\mathrm{OH}}^{\mathrm{H}}/Q_{\mathrm{CH}}^{\mathrm{H}} \approx 3$. Рассмотрены причины уменьшения $Q_{\mathrm{OH}}^{\mathrm{H}}$ по сравнению с $Q_{\mathrm{CH}}^{\mathrm{H}}$.

Рис. 1. табл. 2. библ. ссылок 22.

В работах [1, 2] было показано, что в спектрах ЭПР оксипроизводных антрасемихинона проявляется расщепление на протонах гидроксильных групп, которые находятся в непосредственной близости к карбонильным атомам кислорода антрасемихинона. Дейтерирование образцов и квантовомеханические расчеты распределения спиновой плотности (СП) позволили интерпретировать полученные спектры. Расчеты, в частности, подтвердили предположение о том, что расщепляют протоны тех групп ОН, которые могут образовать прочные внутримолекулярные Н-связи с карбонильными атомами кислорода антрасемихинона. Распределение СП было вычислено с учетом конфитурационного взаимодействия (КВ) по МакЛаклану [3] по программе Хюккель [4, 5]. В расчетах были использованы следующие параметры: $b_{\ddot{0}} = 1,4$; $b_{\ddot{0}} = 2$; $b_{\ddot{0}} = 1,4$; $b_{\ddot{0}} = 0,8$; $\lambda = 1,2$. Н-связи учитывались по двухцентровой модели Пюльманов [6]. Экспериментальные данные и результаты расчетов представлены в таблице 1.

В работе [1] было предложено следующее уравнение для расщепления на протоне, участвующего в образовании H-связи О···H—О:

$$a_{O...H-O}^{H} = |Q_{O...H}^{H}| \rho_{O} + |Q_{O-H}^{H}| \rho_{O}.$$
 (1)

Вклад в расщепление отдельных слагаемых оценить не удалось, поскольку не были известны значения констант Q. В настоящем сооб-

^{*} Доложено на IV Всесоюзном совещании по квантовой химии (Киев) 8 октября 1966 г.

щении оценивается константа Q_{0-H}^H и обсуждается вклад в расщепление $a_{0\cdots H-0}^H$ со стороны обоих атомов кислорода.

Таблица 1

Положение групп	а ^Н ОН—О, Э	Спиновая плотность**		
ОН в кольце антрасемихинона*		Pb	Pö	Q _{O-H} P _Ü , 3
1, 2-	0,8	0,1048 0,1226	0,0082 0,0021	0,08 0,02
1, 2, 3—	2,9	0,1006 0,1176	0,0075 0,0018	0,07 0,02
1, 4—	9,9	0,1013 0,1205	0,0091 0,0018	0,08 0,02
1, 2, 3, 4—	2,1	0,0978 0,1163	0,0118 0,0035	0.11 0.03
1, 5	0,4	0,1027 0,1216	0,0053 0,0005	0,05 0,00
1, 2, 3, 5, 6, 7—	2,8	0,0982 0,1162	0,0072 0,0018	0,07 0,02
1, 8—	0,4	0,0833 0,1135	0,0049 0,0002	0,05 0,00
1, 4, 5, 8	0,4	0,0817 0,1135	0,0085 0,0017	0,08

^{*} Жирным выделены те группы ОН, которые находятся рядом с карбонильными атомами кислорода антрасемихичона; они могут образовывать прочные внутримолекулярные Н-связи О···Н--О.

•• Верхние цифры получены с учетом Н-связей, образованных карбонильными атомами О со всеми близлежащими группами ОН, нижние без учета этих Н-связей.

Для вычисления Q_{O-H}^{H} рассмотрим радикал ОН, электронная структура которого близка к структуре радикала СН:

CH (
$$^{3}\Pi$$
): $(1\sigma)^{2}(2\sigma)^{2}(3\sigma)^{2}(1\pi^{+})^{1}$,
OH ($^{3}\Pi$): $(1\sigma)^{2}(2\sigma)^{2}(3\sigma)^{2}(1\pi^{-})^{2}(1\pi^{-})^{1}$.

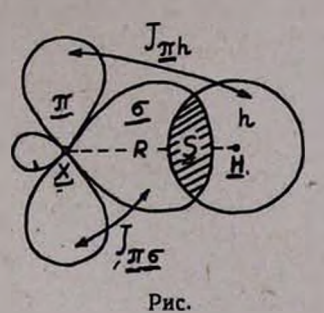
Молекулярная орбиталь (МО) 1 σ является почти чистой атомной орбиталью (АО) 1 σ атома С (О). МО 2 σ и 3 σ построены, в основном, из ЛКАО 2 σ и 2 ρ 0 атома С (О) и АО 1 σ 3 атома Н. Различие между СН и ОН состоит главным образом в наличии в ОН дополнительной неподеленной пары электронов (1 σ 1 σ 2, волновая функция которой перпендикулярна к линии связи и к направлению вектора спина неспаренного электрона, находящегося на орбитали 1 σ 1. Сходство между структурами СН и ОН позволяет для вычисления $Q_{\rm O-H}^{\rm H}$ воспользоваться теми же методами, которые были использованы для расчета константы $Q_{\rm C-H}^{\rm H}$ [7, 9].

Выделим в радикале X—Н (X обозначает С или О) фрагмент электронов", дающий основной вклад в сверхтонкое взаимодействие спинов неспаренного электрона и протона (рис.).

В методе валентных схем (ВС) основное состояние этого фрагмента описывается в одноконфигурационном приближении дублетной функцией вида:

$$\Phi_{\mathbf{1}} = A \frac{1}{\sqrt{2(1+S^2)}} \pi \sigma h (\alpha \alpha \beta - \alpha \beta \alpha),$$

где A — оператор антисимметризации и ренормировки, а S — интеграл перекрывания $S = \langle \sigma / h \rangle$. Как известно, в этом приближении СП на протоне равна нулю. Ближайшее возбужденное дублетное состояние описывается функцией



$$\Phi_{2}=A\,rac{1}{\sqrt{6\left(1-S^{2}
ight)}}\,\pi\sigma h\,(\alpha\alpha\beta-\alpha\beta\alpha-2\beta\alpha\alpha).$$

С учетом КВ основное состояние описывается функцией

$$\psi = \Phi_1 + c\Phi_2. \tag{2}$$

По теории возмущений,

$$c = -H_{s1}/\Delta E_{s1}, \qquad \Delta E_{s1} = H_{s2} - H_{11},$$

$$H_{rs} = \langle \Phi_r[H|\Phi_s \rangle, \qquad H_{s1} = -\frac{\sqrt{3} (J_{\pi\sigma} - J_{\pi h})}{\sqrt{4(1 - S^4)}},$$

$$J_{xy} = \langle x(1) y(2) | r_{12}^{-1} | y(1) x(2) \rangle,$$

где H— трехэлектронный гамильтониан, учитывающий кинетическую энергию электронов и их взаимодействие между собой и с ядрами, J— обменные интегралы.

"Параметр смешения" с непосредственным образом связан с изотропным сверхтонким расщеплением в сильном магнитном поле. Для функции (2) получается следующее выражение [9]:

$$Q_{X-H}^{H} = -\frac{2c}{V^{'}\overline{3(1-S^{4})}}Q_{H}^{H},$$

где

$$Q_{\rm H}^{\rm H} = 1420 \ Mc (507 \ 3).$$

Окончательно получается следующее выражение для константы $Q_{\rm X-H}^{\rm H}$ в приближении метода ВС:

$$[Q_{X-H}^{H}]_{BC} = -\frac{1}{1-S^4} \cdot \frac{J_{x\sigma} - J_{xh}}{\Delta E_{\sigma}} Q_{H}^{H}.$$
 (3)

Метод МО приводит к похожему выражению [9]:

$$[Q_{X-H}^{H}]_{MO} = -\frac{1}{2(1-S^{2})} \cdot \frac{J_{x\sigma} - J_{xh}}{\Delta E_{zz}} Q_{H}^{H}.$$
 (4)

В связи с некоторым различием между выражениями (3) и (4) для оценки константы $Q_{\rm O-H}^{\rm H}$ целесообразно пользоваться отношением $Q_{\rm O-H}^{\rm H}/Q_{\rm C-H}^{\rm H}$, вычисленным в одном определенном приближении, а именно:

$$\frac{Q_{\rm O-H}^{\rm H}}{Q_{\rm C-H}^{\rm H}} = \frac{(1 - S^{\rm m})_{\rm C}}{(1 - S^{\rm m})_{\rm O}} \cdot \frac{(J_{z\sigma} - J_{zh})_{\rm O}}{(J_{z\sigma} - J_{zh})_{\rm C}} \cdot \frac{(\Delta E_{z1})_{\rm C}}{(\Delta E_{z1})_{\rm O}} \equiv [S] \cdot [J] \cdot [E^{\bullet}], \quad (5)$$

где m = 2 (MO) или m = 4 (BC).

Величина $Q_{\mathrm{C-H}}^{\mathrm{H}}$ не является строго постоянной. Она зависит, котя и не сильно, от электронного окружения фрагмента С—Н [10]. Анализ вторых моментов спектров ЭПР анион-радикалов ряда производных стильбена, феназина [10] и других углеводородов с привлечением квантовомеханических расчетов распределения СП приводит к значению $Q_{\mathrm{C-H}}^{\mathrm{H}} = -28$ э. Это значение представляется нам оптимальным для корреляции расчетных и экспериментальных данных [1, 2, 11, 12]. Для вычисления $Q_{\mathrm{O-H}}^{\mathrm{H}}$ остается оценить правую часть выражения (5).

Различие между константами $Q_{\mathrm{O-H}}^{\mathrm{H}}$ и $Q_{\mathrm{C-H}}^{\mathrm{H}}$ в рассматриваемом приближении обязано трем причинам: 1) изменению интеграла перекрывания связи X—H (фактор [S]); 2) изменению обменного взаимодействия (фактор [J]), которое состоит из обменного взаимодействия внутри атома X (J_{∞}) и между атомами X и H ($J_{\pi h}$); 3) изменению электронной структуры (энергии возбуждения в ближайшее дублетное состояние) при переходе от радикала CH к радикалу OH (фактор [E*]). Целесообразно рассмотреть все три фактора порознь. Это дает нам возможность сделать ряд заключений о величине константы $Q_{\mathrm{O-H}}^{\mathrm{H}}$.

В таблице 2 приведены значения необходимых нам интегралов и других величин, связанных с ними. При вычислении интегралов S и J использовались слэтеровские AO. За величины ΔE_n приняты экспериментальные значения энергий возбуждения в низшее возбужденное дублетное состояние.

Как видно из выражения (5) и таблицы 2, изменение перекрывания вдоль связи X—Н слабо влияет на величину $Q_{\rm X-H}^{\rm H}$ ([S] \approx 0,9—1,0). Значительно большее влияние для рассматриваемых радикалов оказывает разница между энергиями их возбуждения в ближай шее

Таблица 2

Annual Control of the		Таолица 2
	СН	ОН
S	0,4601	0,3482
I S2	0,788	0.879
1-54	0,955	0,985
[S] (MO)	d	,896
[S] (BC)	O	,970
J _{us} , 38	1,813	1,3064
J _{RA} , 38	0,7453	1,7742
[J]	0	,500
ΔE ₂₁ , 96 ⁵	2,87 (2∏ → 2∆)	$4,05 (^{2}\Pi \rightarrow ^{2}\Sigma^{+})$
[<i>E</i> *]	0	,709
Q_{O-H}^{H}/Q_{C-H}^{H} (MO)	0	,317
$Q_{\mathrm{C-H}}^{\mathrm{H}}/Q_{\mathrm{C-H}}^{\mathrm{H}}$ (BC)	0	,343
$(Q_{\rm O-H}^{\rm H}/Q_{\rm C-H}^{\rm H})_{\rm cpegh}$.	*	×1/3
Q _{0−H} , 36	≈-	-9,3
c ² (BC)	0,108	0,013
(c²) _{CH} /(c²) _{OH} (BC)	8	,3
c² (MO)	0,066	0,007
$(c^2)_{CH}/(c^2)_{OH}$ (MO)	9	,4

- ¹ Линейная интерполяция по таблицам [13] для экспериментальногозначения R в радикале CH, R=1,12 Å [14]. Используемое в [9] значение $S\approx0,8$ следует считать завышенным.
- ² По данным [15], для R=0,958 Å, близкого к экспериментальному значению R в радикале OH, R=0,971 Å [14].
 - ³ По данным [16, 9].
 - 4 По данным [17, 15].
- 5 Экспериментальные значения [18, 19]. Используемое в [9] значение для радикала СН, $\Delta E_{1}{\approx}5{-}15$ зв, следует считать завышенным.
 - $^{\bullet}$ При $Q_{\mathrm{C-H}}^{\mathrm{H}} = -28$ э.
- 7 В методе MO параметр c смешивает с волновой функцией основного состояния ту из двух возможных ближайших возбужденных дублетных функций, которая дает нулевой вклад в сверхтонкое расщепление на протоне (подробнее см. [9]).

дублетное состояние ($[E^*]=0.7^*$. Однако, основной вклад дает различие в величине обменного взаимодействия ([J]=0.5), причем главную роль играет различие в обменном взаимодействии внутри атома X. В таблице 2 приведен также вес c^* возбужденного состояния в основном состоянии. При переходе от радикала СН к ОН вклад возбужденного состояния уменьшается почти в 10 раз. В результате константа $Q^{\rm H}_{\rm O-H}$ уменьшается по сравнению с константой $Q^{\rm H}_{\rm C-H}$ примерно в 3 раза:

 $Q_{\rm O-H}^{\rm H} \approx \frac{1}{3} Q_{\rm C-H}^{\rm H}$.

Основная причина состоит в уменьшении обменного взаимодействия неспаренного электрона с 2p-электроном атома О. Как и следовало ожидать, константа Q_{O-H}^H имеет отрицательный знак (см. также [20]).

Полученное значение $Q_{\mathrm{O-H}}^{\mathrm{H}} \approx -9$ э согласуется с экспериментальными результатами и теоретическими соображениями Раболда и сотрудников [21]. В этой работе сообщается о наблюдении расщепления на протоне группы ОН, равного 0,14 э, в нейтральном радикале 1-оксиаценафтениле. Такому расщеплению соответствует СП на атоме О $\rho_0 \approx 0,016$. Вычисления по методу МакЛаклана приводят к значению $\rho_0 \approx 0,018$. При этом были использованы следующие параметры: $b_0 = 2, \ b_{\mathrm{C-O}} = 1, \ \lambda = 1,2$ [21]. Несмотря из наличие относительно большого числа сообщений о наблюдении расщепления на протоне группы ОН, вычисление константы $Q_{\mathrm{O-H}}^{\mathrm{H}}$ из экспериментальных значений $a_{\mathrm{O-H}}^{\mathrm{H}}$ и расчетных значений ρ_{O} вызывает затруднения, поскольку в подавляющем большинстве случаев протон, по-видимому, связан через Н-связь с другими атомами этой же молекулы или молекулы среды.

Рассмотрим расщепление на протоне фрагмента О···Н—О. В таблице 1 приведены значения величины Q_{O-H}^H ρ_O , характеризующей вклад в полное расщепление со стороны группы ОН (см. урав. (1)). Константа Q_{O-H}^H принята равной—9,3 э (табл. 2). Если группа ОН не участвует в образовании Н-связи, то расщепление на ее протоне составляет всего несколько сотых эрстеда**. При образовании Н-связи

** Этот вывод относится только к анион-радикалам, какими являются полиоксиантрасе михиноны. В нейтральных радикалах расшепление $a_{\mathrm{O-H}}^{\mathrm{H}}$ может быть больше.

^{*} Приравнивание теоретических величин ΔE_{21} к экспериментально наблюдаемым энергиям перехода в низшее возбужденное дублетное состояние не соответствует смыслу функции Φ_2 . Функция Φ_2 описывает разрыхляющее состояние фрагмента и относится к той же электронной конфигурации, что и функция Φ_1 . Принадлежность функций к одной и той же конфигурации можно удовлетворить, взяв в качестве ΔE_{21} для радикала СН значение $\Delta E_{21} = 3,22$, соответствующее переходу ${}^2\Pi \to {}^2\Sigma^-$ (18,19). В этом случае фактор $[E^*]$ изменяется незначительно ($[E^*] = 0,795$). Пока не представляется возможным получить более точную оценку величины ΔE_{21} .

происходит некоторая "перекачка" СП с протоноакцепторного атома на протонодонорный. Это, по-видимому, связано с участием в сопряжении вакантной орбитали $2p\pi$ атома Н [22]. Однако, увеличение СП на протонодонорном атоме недостаточно для возникновения столь больших расщеплений на протоне. Как видно из таблицы 1, этот вклад составляет $10-20^{\circ}/_{\circ}$ для тех радикалов, в которых группы ОН с большой вероятностью могут быть вовлечены в образование Н-связей с карбонильными атомами О.

На основании данной выше оценки различных вкладов в величину Q_{0-H}^H можно сделать ряд заключений о величине $Q_{0...H}^H$. При этом фрагмент О...Н будем рассматривать просто как радикал ОН с увеличенным расстоянием между ядрами. Такое искусственное разбиение фрагмента О . . . Н — О не должно повлиять на оценку величины $Q_{0...H}^{H}$, для которой предполагается, что атом Н не участвует в образовании второй связи. Выбор такой модели, по-видимому, долженвлиять на вид уравнения (1). Длина связи О ... Н в 2-3 раза превышает длину связи О-Н. Соответственно этому интеграл $S(O\cdots H)$ $\ll S(O-H)$ и фактор [S] в уравнении (5), записанном для фрагментов О···Н и О-Н, очень близок к 1. Для оценки величины $\Delta E_{\rm st}$ необходимо знать ход потенциальных кривых радикала ОН в основном и возбужденном состоянии. Судя по данным для других двух-атомных молекул [14], величина ΔE_{21} не существенно изменяется: (чаще уменьшается) с ростом R. Поэтому фактор $[E^*]$, по-видимому. также близок к 1. При увеличении R в 2-3 раза обменное взаимодействие типа πh становится пренебрежимо малым $(J_{\pi\pi}\gg J_{\pi h})$. Поэтому фактор [J] \approx 2,5. В результате константа $Q_{0...H}^{H}$ оказывается примерно в 3 раза больше константы $Q_{\rm C-H}^{\rm H}$, т. е. $Q_{\rm C-H}^{\rm H} \approx -28$ э. Основная причина увеличения константы Q при переходе от фрагмента О-Н к фрагменту О...Н заключается в почти полном "отключении" обменного взаимодействия с 1s-электроном атома H.

Увеличение константы $|Q_{\rm X-H}^{\rm H}|$ с ростом R на первый взгляд кажется неожиданным. Однако, обратимся к уравнению (3) и вычислим значение ΔE_{21} при $R \to \infty$. Для рассматриваемого фрагмента (см. рис.), состоящего из 3-х электронов и 2 ядер, оператор H имеет: следующий вид:

$$H = \sum_{l=1}^{3} h(l) + \sum_{l < l} r_{ij}^{-1},$$

$$h(l) = -\frac{1}{2} \Delta_{l} - \frac{Z_{X}}{r_{Xl}} - \frac{1}{r_{Hl}},$$

где Z_X — заряд ядра атома X. Тогда диагональные матричные элементы оператора H по функциям Φ_1 и Φ_2 будут при S=0 таковы:

$$h_x = \langle x(1) | h(1) | x(1) \rangle_{,1}$$

$$K_{ry} = \langle \; x \; (1) \; x \; (1) \; | \; r_{12}^{-1} \; | \; y \; (2) \; y \; (2) \; \rangle \; ,$$
 $H_{11} = h_r + h_s + h_h + K_{\pi\sigma} + K_{\pi h} + K_{\sigma h} - \frac{1}{2} \; (J_{\pi\sigma} + J_{\pi h}) + J_{\sigma h} \; ,$ $H_{22} = h_{\pi} + h_{\sigma} + h_h + K_{\pi\sigma} + K_{\pi h} + K_{\sigma h} + \frac{1}{2} \; (J_{\pi\sigma} + J_{\pi h}) - J_{\sigma h} \; .$ Тогда
$$\Delta E_{21} = J_{\pi\sigma} + J_{\pi h} - 2J_{\sigma h} \; .$$
 При $R \to \infty$
$$\Delta E_{21} |_{R \to \infty} = J_{\pi\sigma} \; ,$$

$$|\; Q_{X-H}^H|_{R \to \infty} = Q_{H^1}^H \; .$$

где $Q_{\rm H}^{\rm H}=570$ э. Этот результат соответствует гомолитической диссоциации радикала ${\rm XH}\to{\rm X}+{\rm H}$; из продуктов реакции расщепляет только атом H с константой $Q_{\rm H}^{\rm H}=507$ э. Таким образом, при увеличении расстояния ${\rm X-H}$ константа $|Q_{{\rm X-H}}^{\rm H}|$ растет, достигая в пределе значения 507 э.

Согласно уравнению (1) с $Q_{0...H}^{H} = -28$ э и $Q_{0...H}^{H} = 9,3$ э, для 1, 2, 3-, 1, 2, 3, 4- и 1, 2, 3, 5, 6, 7-оксипроизводных антрасемихинона получаем $a_{0...H-0}^{H} \approx 2,8-2,9$ э, что находится в согласии с экспериментом (табл. 1). Это согласие не следует переоценивать по двум соображениям. Экспериментальные данные относятся к радикалам, находящимся в щелочной среде [2], в которой отдельные группы ОН могут быть ионизированы. Расчеты показывают, что ионизация сильно влияет на распределение СП. Так, в случае гексапроизводного, в котором ионизированы группы ОН, находящиеся в положении 2, 3, 6 и 7, СП становятся равными $\rho_0 = 0.0170$ и $\rho_0 = 0.0305$, что дает $a_{O...H-O}^{H}=0.8$ э. В случае 1,2-дизамещенного ионизация группы ОН в положении 2 приводит даже к изменению знака СП ро и ро. Так или иначе, ионизация группы ОН приводит к уменьшению СП на атомах кислорода фрагмента О...Н-О, что и требуется для качественного согласия с экспериментальными результатами (табл. 1). Физически это уменьшение обязано локализации большей части СП на ионизированных группах О.

Второе соображение касается вида уравнения (1). Это фактически аддитивное уравнение справедливо только в случае, если фрагмент О···Н—О рассматривать как состоящий из двух не взаимодействующих между собой фрагментов О···Н и Н—О. Сомнительно, чтобы такая модель могла быть хорошим приближением для водородной связи О···Н—О. Зависимость $a_{\text{A}...}^{\text{H}}$ от ρ_{A} и ρ_{B} имеет, по-видимому, более сложный вид. Для выяснения этой зависимости нужно рассматривать полную 3-центровую модель Н-связи.

Автор выражает благодарность Г. Г. Дядюше и В. А. Куприевичу за ряд полезных замечаний по работе, а также признателен Е. А. Хмуровой за проведение расчетов на машине М-20 Института кибернетики АН УССР.

ԳԵՐՆՈՒՐԲ ՃԵՂՔՈՒՄ ՀԻԳՐՕՔՍԻԼԱՅԻՆ ԽՄԲԻ ՊՐՈՏՈՆԻ ՎՐԱ.

Ցու. Ա. ԿՐՈՒԳԼՑԱԿ

Udhnhnid

JUTEPATYPA

- А. Е. Луцкий, И. С. Ромоданов, Ю. А. Кругляк, Теор. и экспер. химия, 2, 616 (1966).
- 2. А. Е. Луцкий, И. С. Ромоданов, Ю. А. Кругляк, Теор. и экспер. химия, 2, 624 (1966).
- 3. A. D. McLachlan, Molecular Phys., 3, 233 (1960).
- 4. Ю. А. Кругляк, Teop. и экспер. химия, 1, 418 (1965)...
- 5. Ю. А. Кругляк, Б. Н. Пшеничный, В. С. Квакуш, Ю. И. Горлов, Ж. структ... химин, 6, 904 (1965).
- 6. Б. Пюльман, А. Пюльман, Квантовая биохимия. "Мир", Москва, 1965, стр. 93.
- 7. H. M. McConnel, Molecular Quantum Mechanics Conference (December 7-9, 1955), The University of Texas, Austin, Texas.
- 8. H. M. McConnel, J. Chem. Phys., 24, 764 (1956).
- 9. H. M. McConnell, D. B. Chesnut, J. Chem. Phys., 28, 107 (1958),
- В. С. Куц, Ю. А. Кругляк, В сб. "Радиоспектроскопические и квантовохимические методы в структурных исследованиях", "Наука", Москва, 1967, стр. 80; Ж. структ. хим. 9, 411 (1968).
- Л. С. Дегтярев, Ю. А. Кругляк, А. И. Бродский, Теор. и экспер. химия, 1, 734; (1965).

Л. С. Дегтярев, Ю. А. Кругаяк, Теор. и экспер. химия, 2, 184 (1966); А. И. Брод-ский, Л. Л. Гордиенко, Ю. А. Кругаяк, Теор. и экспер. химия, 3, 98 (1967);
 Ю. А. Кругаяк, В. С. Куц, Ж. структ. химии, 9, 33 (1968); Ю. А. Кругаяк, М. К. Пулатова, Е. В. Моздор, Е. Н. Судъбина, В. Г. Пасоян, Л. П. Каюшин, Биофизика, 13, 401 (1968).

 M. Kotani, A. Amemiya, E. Ishiguro, T. Kimura, Tables of Molecular Integrals, Maruzen Co., Tokyo, 1963.

- 14. Г. Герцберг, Спектры и строение двухатомных молекул, ИЛ, Москва, 1949.
- 15. F. O. Ellison, H. Snull, A Theoretical Study of the Electronic Structure of Water, US Atomic Energy Commission, ISC-418, Washington, D. C., 1954.

16. S. L. Altman. Proc. Roy. Soc. (London), A210, 327, 343 (1951).

- 17. J. F. Mulligan, J. Chem. Phys., 19, 347 (1951).
- 18. M. W. Feast, Astrophys. J., 114, 344 (1951).
- 19. M. Krauss, J. Chem. Phys., 28, 1021 (1958).
- 20. K. Kayama, J. Chem. Phys., 39, 6, 1507 (1963).
- 21. G. P. Rabold, K. H. Bar-Ell, K. Welss, Chem. Communs., 3, 38 (1965).
- 22. L. Paoloni, J. Chem. Phys., 30, 1045 (1959).

УДК 541.132.4+547.587.11

СПЕКТРОФОТОМЕТРИЧЕСКОЕ ОПРЕДЕЛЕНИЕ КОНСТАНТ ПРОТОЛИТИЧЕСКОЙ ДИССОЦИАЦИИ ТИОСАЛИЦИЛОВОЙ КИСЛОТЫ

В. М. ТАРАЯН и А. Н. ПОГОСЯН

Ереванский государственный университет

Поступило 10 II 1969

Определены константы протолитической диссоциации тиосалициловой кислоты. В связи с незначительной растворимостью последней в воде для определения упомянутых констант использован спектрофотометрический метод. Измерения проведены при ионной силе $\mu=0.3$. Согласно полученным данным, обработанным методом математической статистики, величины концентрационных констант диссоциации тиосалициловой кислоты оказались равными: $pK_1=3.54$ (± 0.03), $pK_2=8.60$ (± 0.03).

Рис. 2, табл. 2, библ. ссылок 5.

Знание величин констант протолитической диссоциации имеет большое значение для химии комплексных соединений, аналитической химии, изучения состояния веществ в растворах.

При изучении некоторых комплексных и труднорастворимых соединений тиосалициловой кислоты возникла необходимость в теоретических расчетах с использованием констант ее диссоциации. Соответствующих данных в литературе обнаружить не удалось. Нижеприведенное исследование посвящено спектрофотометрическому определению констант протолитической диссоциации тиосалициловой кислоты. Спектрофотометрический метод приобретает особое значение при исследовании труднорастворимых кислот, когда потенциометрический метод не применим из-за очень малых концентраций изучаемых веществ. Преимущество его перед другими методами несомненно и в случае двухосновных кислот [1, 2].

Экспериментальная часть и обсуждение результатов

Тиосалициловая кислота трудно растворима. Поэтому готовили $5 \cdot 10^{-5} \, \text{М}$ растворы дважды перекристаллизованного из спирта препарата* в дистиллированной воде.

Буферные растворы приготовлялись из солей марки "х. ч." после двукратной их перекристаллизации. Все исследуемые растворы имели

[•] Чистота полученного препарата проверялась определением точки его плавления.

одинаковую ионную силу — 0,3. Измерения проводились на спектрофотометре СФ-4А с цилиндрическими пятисантиметровыми кюветами.

Тиосалициловая кислота имеет две протоногенные группы: —СООН и —SH. Сродства к протону у этих групп, несомненно, заметно отличаются друг от друга; диссоциация второй ступени наступит только после того, как диссоциация первой ступени полностью завершится, т. е. когда в равновесии практически присутствует только—SH группа. В этом случае последовательно константы диссоциации можно найти как константы растворенных совместно одноосновных кислот [1].

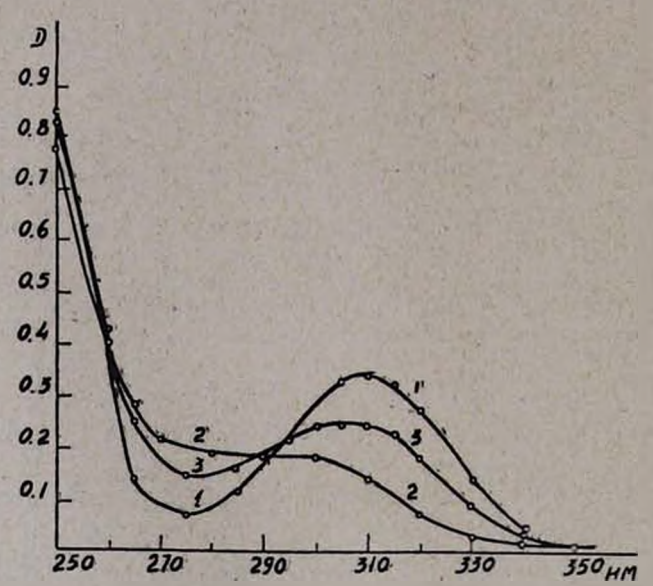


Рис. 1. Кривыесвето поглощения растворов: I — кислоты, pH = 1,0; 2 — моноаниона, pH = 6,0; 3 — смеси кислоты и моноаниона, pH = 3,6.

Метод определения pK_{α} состоит в измерении отношения концентрации иона к нейтральной молекуле исследуемого соединения, растворенного в серии растворов с точно известным значением рН. Это определение проводится при аналитической длине волны, для которой наблюдается наибольшая разность в значениях оптической плотности растворов, содержащих ион и нейтральную молекулу.

Для выбора аналитической длины волны при определении $pK_{\rm L}$ были сняты два спектра: спектр раствора, содержащего нейтральную молекулу, и спектр раствора моноаниона (см. рис. 1).

Из приведенных на рисунке 1 кривых следует, что в качестве аналитической длины волны может быть избрана длина волны 310 нм. Расчеты проводились по формуле:

$$pK_1 = pH + \lg \frac{d - d_1}{d_2 - d},$$

где d_n — оптическая плотность раствора нейтральной молекулы, d_1 — моноаниона, d — смеси моноаниона и нейтральной молекулы. Результаты приведены в таблице 1.

Таблица 1 Спектрофотометрические данные для нахождения константы ионизации карбоксильной группы $(t=18^\circ)$

рН	d	$d-d_1$	$d_{M}-d$	$\lg \frac{d-d_1}{d_N-d}$	pK ₁
2,8	0,315	0,180	0,030	0,76	3,56
3,2	0,280	0,140	0,065	0,33	3,53
3,4	0,261	0,121	0,084	0,16	3,56
3,6	0,242	0,102	0,103	0,00	3,60
3,8	0,220	0,080	0,125	-0,19	3,61
4,0	0,198	0,058	0,147	-0,40	3,60
4,2	0,183	0,043	0,162	-0,58	3,62

Для выбора аналитической длины волны при определении pK_2 были сняты два спектра: спектр раствора моноаниона и спектр раствора дианиона (рис. 2).

В качестве аналитической длины волны избрана длина волны в 265 нм. Расчеты проводились по формуле:

$$pK_3 = pH + \lg \frac{d_1 - d}{d - d_1},$$

где d_1 — оптическая плотность раствора моноаниона, d_2 — дианиона, d — смеси моно- и дианиона. Результаты приведены в таблице 2.

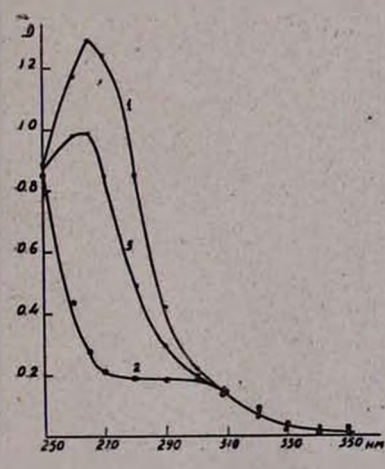


Рис. 2. Кривые светопоглощения растворов: I — дианиона, pH = =13,0; 2 — моноаниона, pH=6,0; смеси дианиона и моноаниона, pH=9,0.

Таблица 2 Спектрофотометрические данные для нахождения константы ионизации сульфгидрильной группы $(t=18^\circ)$

рН	d	d_1-d	$d-d_a$	$\lg \frac{d_1 - d}{d - d_a}$	pK ₂
8,0	0,562	0,738	0,278	0,61	8,61
8,3	0,655	0,645	0,380	0,25	8,55
8,6	0,765	0,535	0,490	0,04	8,64
8,8	0,835	0,465	0,560	-0,14	8,64
9,0	0,990	0,310	0,715	-0,37	8,63
9,2	1,105	0,195	0,830	-0,62	8,58
9,4	1,175	0.125	0,900	-0,85	8,55

Данные обработаны методом математической статистики.

MANAGER STATE OF STAT	Для рК1	Для рК2
Число определений, п	7	7
Средний результат, ж	3,54	8,60
Стандартное отклонение отдельного результата, S_{r}	3,31.10-2	3,95.10-2
Общее стандартное отклонение S ₇	$1,27 \cdot 10^{-2}$	$1,49 \cdot 10^{-2}$
Дисперсия S ²	11-10-4	15,66.10-1
Точность с надежностью 0,95 ф	$3,17 \cdot 10^{-2}$	$3,72 \cdot 10^{-2}$
Границы достоверности	верхняя 3,57 нижняя 3,51	верхняя 8,63 нижняя 8,57

Полученные величины констант протолитической диссоциации тиосалициловой кислоты $pK_1=3,54$ и $pK_2=8,60$ являются, несомненно, концентрационными, а не термодинамическими константами ионизации-поскольку они измерены не при нулевой ионной силе. а при $\mu=0,3$.

Некоторый теоретический интерес представляет сопоставление значений этих констант с соответствующими значениями для салициловой кислоты. Как известно, pK_1 последней равна 2,98, а $pK_2=13,61$ [3, 4].

Таким образом, значения pK_1 для тиосалициловой и салициловой кислот почти совпадают, но заметная разница наблюдается для pK_2 (pK_2 салициловой кислоты равна 13,61, а pK_2 тиосалициловой кислоты, согласно нашим данным, — 8,60). Разницу в значениях pK_2 для салициловой и тиосалициловой кислот следует объяснить тем, что замена кислорода серой приводит к разрыхлению связи S-H и увеличивает ее способность к ионизации, что подтверждается литературными данными [5].

ԹԻՈՍԱԼԻՑԻՎԱԹԹՎԻ ՊՐՈՏՈԼԻՏԻԿ ԴԻՍՈՑՄԱՆ ՀԱՍՏԱՏՈՒՆՆԵՐԻ ՍՊԵԿՏՐԱՖՈՏՈՄԵՏՐԻԿ ՈՐՈՇՈՒՄ

Վ. Մ. ԻԱՌԱՑԱՆ ԵՎ Ա. Ն. ՊՈՂՈՍՑԱՆ

Ամփոփում

Որոշված են ԹիոսալիցիլաԹԹվի պրոտոլիտիկ դիսոցման հաստատունները։ ԹիոսալիցիլաԹԹվի աննչան լուծելիուԹլան պատճառով վերոհիշլալ հաստատունների որոշման համար կիրառվել է սպեկտրաֆոտոմետրիկ եղանակ։ Չափումները կատարվել են 0,3 իռնական ուժի պալմաններում։ Մա-Թեմատիկական ստատիստիկալի եղանակով մշակված տվյալների համաձայն ԹիոսալիցիլաԹԹվի դիսոցման Թվացող հաստատունների մեծու Թլունները հավասար են pK₁ = 3,54 (±0,03), իսկ pK₂ = 8,60 (±0,03)։

ЛИТЕРАТУРА

- 1. Б. П. Никольский, В. В. Пальчевский, Спектрофотометрическое определение констант протолитических равновесий, Сб. "Спектроскопические методы в химии комплексных соединений", Изд-во "Химия", Москва—Ленинград, 1964.
- 2. А. Альберт, Е. Сержент, Константы нонизации кислот и оснований, Изд.-во-"Химия", Ленинград—Москва, 1964.
- 3. L. G. Sillen, A. E. Martell, Stability constants of metall ion complexes, Section II, London, 1964, p. 533.
- 4. D. D. Perrin, Nature, 182, 741 (1958).
- 5. И. М. Гинзбург, Л. П. Логинова, ДАН СССР, 156, 1382 (1946).

УДК 547.1+548.0:531.7

КРИСТАЛЛОГРАФИЧЕСКИЕ ДАННЫЕ ОРГАНИЧЕСКИХ СОЕДИНЕНИЙ

II*. ПАРАМЕТРЫ ЭЛЕМЕНТАРНОЙ ЯЧЕЙКИ И ПРОСТРАНСТВЕННЫЕ ГРУППЫ НЕКОТОРЫХ ЛЕКАРСТВЕННЫХ ПРЕПАРАТОВ

Р. Л. АВОЯН и О. Л. МНДЖОЯН

Институт тонкой органической химии АН Армянской ССР Поступило 27 XII 1968

Получены параметры элементарной ячейки и пространственные группы пяти лекарственных препаратов.
Библ. ссылок 4.

За последние годы совместными исследованиями химиков, фармакологов и клиницистов для медицинской практики были предложены препараты "Дитилин" [1], "Субехолин" [2], "Месфенал" [3], "Арпенал" [3], "Этпенал" [4] и т. д. Были определены также некоторые физические и химические свойства этих соединений. Однако, для изучения зависимости механизма действия от реакционной способности необходимо также определить истинное геометрическое построение, т. е. реальную конформацию молекул этих веществ.

Структура и физиологические свойства ацетилхолина и подобных соединений в литературе обсуждались неоднократно. Тем не менее, не все аспекты механизма влияния ацетилхолина на живые организмы выяснены, а вышеупомянутые соединения по строению в той или иной степени аналогичны ацетилхолину, так что определение геометрии их молекул дало бы много ценного при корреляции строения и физиологического воздействия молекул.

Нами предпринято систематическое рентгеноструктурное исследование этих препаратов с целью выяснить их кристаллическую и молекулярную структуру. В настоящем сообщении приведены параметры элементарной ячейки и пространственные группы пяти препаратов, определенные рентгенографически (методы Лауэ, качания и фотографирования обратной решетки, излучение железное).

"Дитилин" (йодметилат β-диметиламиноэтилового эфира янтарной кислоты) [1].

(CH₃)₃NCH₂CH₂OCOCH₂CH₂COOCH₂CH₃N(CH₃)₃·2J

Сообщение I см. Арм. хим. ж., 22, 208 (1969).

из водного раствора этилового спирта кристаллизуется в моноклинной сингонии в виде прозрачных пластинок или призм вытянутых вдоль кристаллографической оси b. Параметры элементарной ячейки следующие: $a=12,79\pm0,03$ A, $b=8,29\pm0,02$ A, $c=9,62\pm0,03$ A, $\beta=96°50'\pm20'$, V=1011 A³, N=2, $d_{\text{вму}}=1,798$ c/c M³, пр. гр. $P2_1$.

"Субехолин" (дийодметилат β-диметиламиноэтилового эфира проб-ковой кислоты) [2]

(CH₃)₃NCH₂CH₂OCO(CH₂)₆COOCH₂CH₂N(CH₃)₃·2J⁻,

перекристаллизовываясь из воды, дает тонкие прозрачные иглы, вытяннутые вдоль второй по величине оси триклинной сингонии. Параметры элементарной ячейки таковы: $a=6,35\pm0,02$ A, $b=9,72\pm0,02$ A, $c=14,51\pm0,04$ A, $a=101^{\circ}57'\pm15'$, $\beta=78^{\circ}12'\pm15'$, $\gamma=129^{\circ}51'\pm15'$, V=670 A³, N=1, $d_{\rm BML}=1,497$ $z/c_{\rm M}$ ³, пр. гр. $P\overline{1}$.

"Месфенал" (метилсульфометилат ү-диэтиламинопропилового эфира дифенилуксусной кислоты) [3]

(C₆H₅)₂CHCOOCH₂CH₂CH₂N(C₂H₅)₂CH₃·CH₃SO₃O⁻

перекристаллизовали из смеси ацетона с этиловым спиртом. Кристаллики в виде хорошо образованных прозрачных пластинок, нескольковытянутых вдоль оси b, принадлежат к моноклинной сингонии. Параметры ячейки таковы: $a=8,72\pm0,02$ A, $b=9,49\pm0,03$ A, $c=26,85\pm0,06$ A, $\beta=101^{\circ}10'\pm15'$, V=2180 A³, N=4, $d_{\rm вмч}=1,310$ z/cм³, пр. гр. $P2_1/c$.

"Арпенал" (солянокислая соль ү-диэтиламинопропилового эфира дифенилуксусной кислоты) [3]

(C₆H₅)₂CHCOOCH₂CH₂CH₂N(C₂H₅)₂·HCl

из водного раствора этилового спирта кристаллизуется в моноклинной сингонии. Кристаллики представляют собой прозрачные чешуйки. Параметры ячейки следующие: $a=18,72\pm0,05~\mathrm{A},~b=7,20\pm0,02~\mathrm{A},~c=16,03\pm0,05~\mathrm{A},~\beta=109°15'\pm15',~V=2040~\mathrm{A}^3,~N=4,~d_{\mathrm{BMY}}=1,181~\mathrm{z/c}\,\mathrm{m}^3,~\mathrm{np.}$ гр. $P2_{\mathrm{T}}/c$.

"Этпенал" (солянокислая соль ү-диэтиламинопропилового эфира этоксидифенилуксусной кислоты) [4]

$(C_4H_5)_2C(OC_2H_5)COOCH_2CH_2CH_2N(C_2H_5)_2 \cdot HCI$,

перекристаллизовываясь из этилового спирта, дает кристаллики в виде прозрачных пластинок. Сингония моноклинная, $a=18,73\pm0,05$ A, $b=12,17\pm0,03$ A, $c=10,45\pm0,03$ A, $\beta=98^{\circ}00'\pm20'$, V=2359 A³, N'=4, $d_{\rm BMY}=1,058$ z/c M^3 , пр. гр. $P2_1/c$.

Авторы признательны академику АН Арм ССР А. Л. Миджояну за интерес к работе.

ՕՐԳԱՆԱԿԱՆ ՄԻԱՑՈՒԹՑՈՒՆՆԵՐԻ ԲՑՈՒՐԵՂԱԳԻՏԱԿԱՆ ՏՎՑԱԼՆԵՐԸ

II. ሆኮ ቃԱՆԻ ԴԵՂԱՆՑՈՒԹԵՐԻ ՏԱՐՐԱԿԱՆ ԲԶԻՋՆԵՐԻ ՊԱՐԱՄԵՑՐՆԵՐԸ ԵՎ ՑԱՐԱԾԱԿԱՆ ԽՄԲԵՐԸ

2. 1. UANSUL DA 2. L. VIRNBUL

Udhahaid

ենուերվաժիտակար ավվանթին։ հատրբեն, միաինիրի՝ ոսւերիունիրի՝ դրոֆրրանի՝ անփրրանի բ բափրրանի Ոստնվիլ բը եզչկակար անակականուղ օժատեսևգվոմ բիրժ անդարանի

ЛИТЕРАТУРА

- 1. А. Л. Миджоян, О. Л. Миджоян, Дитилин и опыт его клинического применения, Ереван, 1957, стр. 7—28.
- 2. А. Л. Миджоян, О. Л. Миджоян, О. Е. Гаспарян, ДАН АрмССР, 19, 143 (1954), авт. свид. № 144837 от 24 февраля 1962 г., Р. С. Рыболовлев, Фармакология и токсикология, 6, 661 (1963).
- 3. О. Л. Миджоян, Арпенал и опыт его клинического применения. Ереван, 1964, стр. 31—56.
- 4. О. Л. Миджоян, Э. Р. Багдасарян, Арм. хим. ж., 19, 716 (1966).

НЕОРГАНИЧЕСКАЯ И АНАЛИТИЧЕСКАЯ ХИМИЯ

УЛК 543.51+546.28+546.289

МАСС-СПЕКТРОМЕТРИЧЕСКИЙ МЕТОД СОВМЕСТНОГО ИЗОТОПНОГО АНАЛИЗА МАЛЫХ КОЛИЧЕСТВ КРЕМНИЯ И ГЕРМАНИЯ

Р. Г. АРШАКУНИ

Институт физических исследований АН Армянской ССР

Поступило 29 III 1968

Показана возможность совместного масс-спектрометрического изотопного анализа SI и Ge, основанная на использовании различия термических свойств их легколетучих фторидов, получаемых в печном ионном источнике.

Метод может быть использован для совместного определения микроколичеств SI и Ge. Он позволяет применение изотопного разведения одновременно для обоих анализируемых элементов,

Рис. 1, библ. ссылок 4.

Методы изотопного анализа элементов в случае их высокой чувствительности могут быть успешно привлечены для определения микроколичеств (микропримесей) элементов [1].

Для обеспечения высокой точности определения обычно применяют метод изотопного разведения. Однако, современные методы масс-спектрометрического изотопного анализа обычно позволяют анализировать одновременно только один элемент, и это исключает возможность использования изотопного разведения при совместном определении нескольких элементов. Поэтому разработка методов совместного масс-спектроскопического изотопного анализа элементов дает возможность совместного определения элементов (с применением изотопного разведения [2]).

В настоящем сообщении метод совместного изотопного анализа элементов основывается на использовании идентичных физико-химических свойств некоторых элементов, образующих легколетучие фториды. Принципы метода изложены ранее [3, 4]. Здесь приводится приложение метода к совместному изотопному анализу Si и Ge двумя описанными способами: 1) методом термического разложения смеси солей BaSiF₆ и BaGeF₆ в испарителе печного ионного источника, приводящего к образованию непосредственно анализируемх летучих фторидов Si и Ge; 2) посредством фторирования фторагентом PbF₂ образцов, содержащих Si и Ge (в элементной форме или в виде двуокисей элементов).

В первом случае подготовленные образцы $BaSiF_a$ и $BaGeF_a$ (в количестве по ≈ 0.3 мг) смешивались с порошком вольфрама

(\approx 1:2) и исследовались масс-спектрометрическим способом. В этих условиях при термическом разложении комплексных солей образуются газообразные SiF₄ и GeF₃ (вместо GeF₄) [3]. Образование SiF₄ происходит при меньшей температуре (\sim 230°), чем "GeF₂ (\sim 300 \sim 350°)

Рис. Запись спектра масс изотоповкремния (I), полученных на ионах SiF_3^+ , и изотопов германия (II), полученных на ионах GeF^+ .

[3], и это позволяет проводить последовательный янялиз Si и G епутем соответствующего регулирования температуры нагрева испарителя. Величина ионного тока Ge²⁴F⁺ состави ла 2--3·10⁻¹¹ а при хорошей стабильности в течение нескольких часов. Пля SI величина ионного тока S128F3 составила $8 \cdot 10^{-11} - 10^{-10} a$, что на порядок выше по сравнению с раздельным анализом такого же количества SI. Контрольный эксперимент (разложение BaSiF_в с однимтолько порошком W) показал, применение порошка W приводит к увеличению интенсивности ионного тока Si26F3. Вероятно, разложение протекает более интенсивно в присутствии порошка W, что приводит к увеличению ионного тока Si28F3, соответствующего SiF. Этим, по-видимому, можно повысить установленную чувствительность определения кремния [1, 3] до 0,001 мкг.

Использование метода фторирования солью PbF₂ [3] для совместного анализа смеси Si и Ge в элементной форме и в

виде SiO_2 и GeO_2 также оказалось успешным. Предварительно в анализируемую смесь веществ вводили добавки порошка W в соотношении 1:2. В этих условиях происходило образование GeF_2 (вместо GeF_4) [3].

В процессе фторирования вначале происходит образование SiF₄, что устанавливали по обнаружению ионов Si²⁸F₃; при более высоком

нагреве испарителя идентифицировались ионы GeF^+ , соответствующие образованию молекул GeF_3 . Количество анализируемых элементов (в расчете на элементную форму) составляло \approx 0,3 мг. Измерения проводили при величине ионных токов $Si^{28}F_3^-$ и $Ge^{74}F^+$ порядка $2-5\cdot 10^{-11}$ a в стабильном режиме, который поддерживался в течение нескольких часов.

Полученные данные* совместного анализа образцов SI и Ge** показали хорошее соответствие с результатами раздельного анализа этих элементов [3, 4]. На рисунке приведены типичные спектры масс изотопов Si и Ge, по которым вычислялось изотопное соотношение этих элементов.

Для анализа методом термического разложения BaSiF, и BaGeF,:

$$Si^{38} = 92,27^{0}/_{0}$$
 ($\sigma = 0,05$);
 $Si^{30} = 4,66^{0}/_{0}$ ($\sigma = 0,04$);
 $Si^{30} = 3,07^{0}/_{0}$ ($\sigma = 0,03$);
 $Ge^{70} = 20,01^{0}/_{0}$ ($\sigma = 0,16$);
 $Ge^{72} = 27,30^{0}/_{0}$ ($\sigma = 0,17$);
 $Ge^{73} = 7,85^{0}/_{0}$ ($\sigma = 0,06$);
 $Ge^{74} = 36,91^{0}/_{0}$ ($\sigma = 0,25$);
 $Ge^{78} = 7,93^{0}/_{0}$ ($\sigma = 0,10$),

Для анализа методом фторирования Si и Ge:

$$Si^{28} = 92,23^{0}/_{0}$$
 ($\sigma = 0,06$);
 $Si^{29} = 4,70^{0}/_{0}$ ($\sigma = 0,04$);
 $Si^{30} = 3,07^{n}/_{0}$ ($\sigma = 0,04$);
 $Ge^{70} = 20,06^{0}/_{0}$ ($\sigma = 0,17$);
 $Ge^{72} = 27,35^{0}/_{0}$ ($\sigma = 0,16$);
 $Ge^{73} = 7,82^{0}/_{0}$ ($\sigma = 0,06$);
 $Ge^{74} = 36,81^{0}/_{0}$ ($\sigma = 0,20$);
 $Ge^{78} = 7,96^{0}/_{0}$ ($\sigma = 0,10$).

В заключение укажем на возможность совместного изотопного анализа других элементов, образующих летучие фториды [1].

Автор выражает благодарность А. М. Колчину за ценную помощь в работе.

[•] Работу выполняли на приборе МС-4 с однолучевой регистрацией ионного тока.

Исследовался образец полупроводникового германия.

ՓՈՔՐ ՔԱՆԱԿՈՒԹՅՈՒՆՆԵՐՈՎ ՍԻԼԻՑԻՈՒՄԻ ԵՎ ԳԵՐՄԱՆԻՈՒՄԻ ՀԱՄԱՏԵՂ ԻԶՈՏՈՊԱՅԻՆ ԱՆԱԼԻԶԻ ՄԱՍՍ–ՍՊԵԿՐԱՄԵՏՐԻԿ ՄԵԹՈԴ

թ. Գ. ԱՐՇԱԿՈՒՆԻ

Udhnhnid

8ուլց է տրված SI և Ge համատեղ մասս-սպեկտրամետրիկ իզոտոպալին անալիզի հնարավորությունը, նրանց հեշտ ցնդող ֆտորիդների թերմիկ հատկությունների տարբերությունն օգտագործելու հիման վրա։

Այս մեթոդը կարող է օգտագործվել Si և Ge միկրոքանակների միատեղ որոշման համար։ Այն հնարավորություն է տալիս կիրառել միաժամանակ անալիզի ենթարկվող երկու էլեմենտների իզոտոպային տարայուծումը։

ЛИТЕРАТУРА

- 1. Р. Г. Аршакуни, ЖАХ, 23, 310 (1968).
- 2. Р. Г. Аршакуни, Р. Г. Геворкян, Изв. АН СССР, серия .Неорганические материалы", 4, 640 (1968).
- 3. Р. Г. Аршакуни, А. М. Колчин, Г. М. Панченков, ЖФХ, 37, 677, 893 (1963).
- 4. Р. Г. Аршакуни, Ж. геохимин, 1, 121 (1967).

УДК 541.123.3+546.33

ИССЛЕДОВАНИЕ СИСТЕМЫ Na₂SiO₃—NaClO₄—H₂O ПРИ 0, 20 и 50°C

Г. Г. БАБАЯН, Э. А. САЯМЯН и Г. М. ДАРБИНЯН Ереванский научно-исследовательский институт химии Поступило 3 IV 1968

Изучена растворимость в системе Na_2SiO_3 — $NaClO_4$ — H_2O при 0, 20 и 50°. Установлено, что изотермы 0 и 20° характеризуются наличием трех полей кристаллизации, отвечающих выделению $Na_2SiO_3 \cdot 9H_2O$ твердых растворов между $Na_2SiO_3 \cdot 9H_2O$ и $NaClO_4 \cdot H_2O$; $NaClO_4 \cdot H_2O$. Изотерма при 50° также имеет три поля кристаллизации: поле шестиводного метасиликата натрия, поле одноводного перхлората натрия и поле твердых растворов, образованных между кристаллогидратами силиката и перхлората натрия. Состав полученных осадков подтвержден термограммами и рентгенограммами. Проведен кристаллооптический анализ осадков.

Рис. 5, библ. ссылок 4.

В литературе имеются работы, посвященные исследованию систем, включающих в качестве одного из компонентов перхлорат натрия [1, 2]. Хлорнокислый натрий кристаллизуется в низкотемпературной ромбической модификации, имеющей температуру плавления, равную 482° [3]. Из водных растворов хлорнокислый натрий может быть получен в виде моногидрата и безводной соли [4]. Исследование системы Na₂SiO₃—NaClO₄—H₂O произведено нами впервые. Изучение указанной системы велось методом установления равновесия в термостате при постоянных температурах 0, 20 и 50°. В качестве исходных продуктов были использованы метасиликат натрия марки "ч. д. а." и хлорнокислый натрий марки "ч". После установления равновесия, которое достигалось в течение 5—6 дней, фильтрат отделялся от осадка и производились анализы как осадка, так и фильтрата.

Кремнезем определялся осаждением соляной кислотой, хлорион—титрованием азотнокислым серебром по методу Мора, СІО— весовым методом по разнице. Осадки, помимо химического анализа, подвергались также кристаллооптическому, рентгенографическому и термографическому исследованиям. Состав осадка устанавливался методом остатков Срейнемакерса.

Изотерма 0°. Изотерма растворимости (рис. 1) при 0° имеет три ветви, отвечающие кристаллизации трех твердых фаз. Первая ветвь от 3,3 до 34,2% NaClO₄ в фильтрате отвечает кристаллизации девятиводного метасиликата натрия; отрезок кривой от 37,8 до 47,8% NaClO₄—выделению твердых растворов, образованных между кристаллогидратами девятиводного метасиликата натрия и одноводного

перхлората натрия; третья ветвь от 49,9 до $62,8^{\circ}/_{\circ}$ NaClO₄ — выделению одноводного перхлората натрия. Эвтоническому составу совместной кристаллизации метасиликата натрия с твердыми растворами, найденному экстраполяцией, отвечают: Na₂SiO₃—8,5 и NaClO₄—35,5°/ $_{\circ}$ а совместной кристаллизации твердого раствора с перхлоратом натрия— Na₂SiO₃—10,5 и NaClO₄—49,5°/ $_{\circ}$. Для подтверждения состава твердой фазы осадки из всех трех областей кристаллизации были подвергнуты рентгенографическому и термографическому анализам. Термограмма осадка состава Na₂SiO₃—18,9, NaClO₄—41,4°/ $_{\circ}$ (рис. 2, кр. 1) из области твердых растворов имеет три эффекта, из которых первый эндоэффект при 53° отвечает плавлению кристаллогидрата, второй при

112° — обезвоживанию и третий — экзотермический эффект при 535° отвечает, по-видимому, плавлению сухой соли. Для сравнения была снята термограмма осадка из области перхлората (рис. 2, кр. 2) и метасиликата натрия (рис. 2, кр. 3).

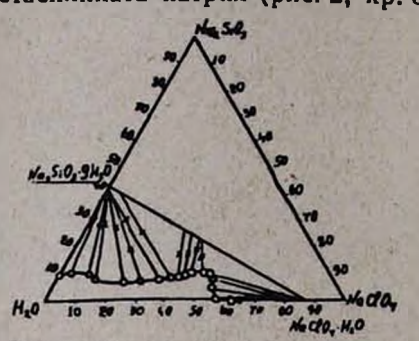


Рис. 1. Система Na₂SiO₃—NaClO₄— H₂O. Изотерма 0°.

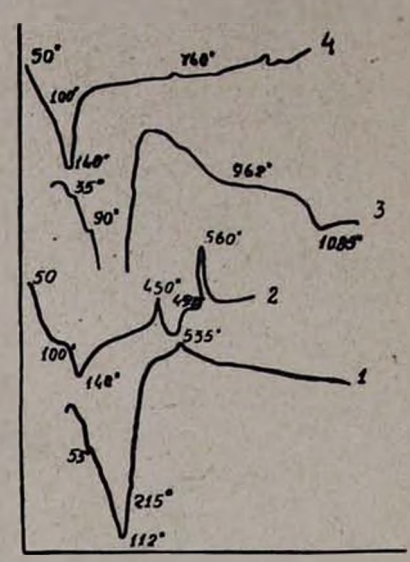


Рис. 2. Термограммы: I — осадка из области твердых растворов состава: Na_2SiO_3 — 18.9, $NaCiO_4$ — $41.4^{\circ}/_{\circ}$: 2 — перхлорята $NaCiO_4 \cdot H_2O$; 3 — метасиликата натрия $Na_2SiO_3 \cdot 9H_2O$; 4 — осадка из области твердого раствора состава: Na_2SiO_3 — 30.45, $NaCiO_4$ — $17.6^{\circ}/_{\circ}$.

Были сняты рентгенограммы осадков из областей твердых растворов и перхлората, подтвердившие данные химического анализа. На рисунке За дана рентгенограмма твердого раствора, снятая на железном излучении с 10-часовой экспозицией. Для сравнения дана рентгенограмма перхлората $NaClO_4 \cdot H_2O$ (рис. Зв). Показатели преломления осадка из области твердого раствора состава $Na_2SiO_3 - 17,66$, $NaClO_4 - 39,76^{\circ}/_{\circ}$. $N_{cp.} = 1,439$, для перхлората $N_{cp.} = 1,433$.

Изотерма 20°. Диаграмма растворимости при 20° (рис. 4) также состоит из трех полей кристаллизации. Первая ветвь от 4,76 до 47,4%

NaClO₄ в фильтрате отвечает кристаллизации девятиводного метасиликата натрия. Дальнейшее повышение концентрации перхлората приводит к выделению в осадок твердых растворов, образованных кристаллогидратами №3₂SiO₃·9H₂O и NaClO₄·H₂O. Начиная от 59,95

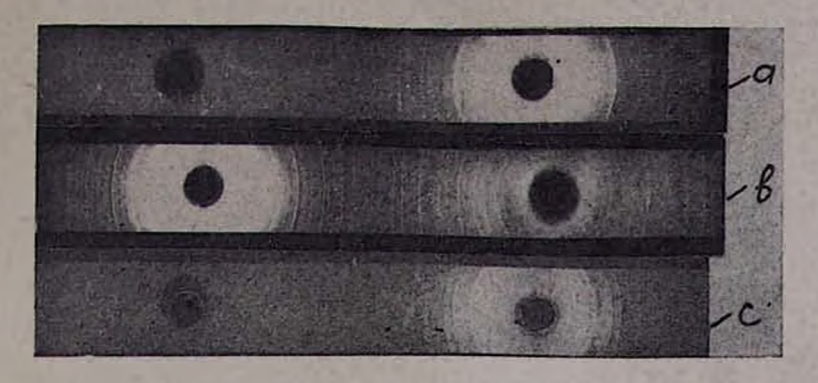
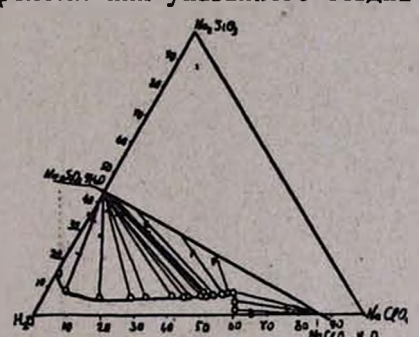


Рис. 3. Рентгенограммы: a — твердого раствора; b — перхлората NaClO₄-H₂O; c — твердого раствора.

до $66^{\circ}/_{0}$ NaClO₄, идет кристаллизация одноводного перхлората натрия. Осадки из всех областей кристаллизации, как и при 0°, были подвергнуты рентгенографическому и термографическому анализам. Ниже приведены рентгенограмма и термограмма осадка из области твердого раствора состава: Na₂SiO₃ — 30,45 и NaClO₄ — 17,6°/₀ (рис. 2, кр. 4 и 3c). Показатель преломления указанного осадка $N_{\rm cp.} = 1,436$.



Pис. 4. Система Na₂SiO₃—NaClO₄— H₂O. Изотерма 20°.

Изотерма 50°. Как видно из диаграммы (рис. 5), изотерма при 50°, в отличие от изотерм при 0 и 20°, характеризуется наличием области кристаллизации шестиводного метасиликата натрия, также поля одноводного перхлората натрия и твердых растворов, образованных между кристаллогидратами силиката и перхлората натрия. Поле твердых растворов ограничивается содержанием 15,28—40,19°/₀ Na₂SiO₂, 11,3—48,8°/₀ NaClO₄; поле кристаллизации одноводного перхлората натрия—содержанием 0,34—10,41°/₀ Na₂SiO₃ и 52,4—72,7°/₀ NaClO₄. Растворимость Na₂SiO₃ · 6H₂O при 50° составляет 40,0°/₀.

Значительную часть концентрационного треугольника занимает поле ненасыщенных растворов. Состав осадков определялся методом

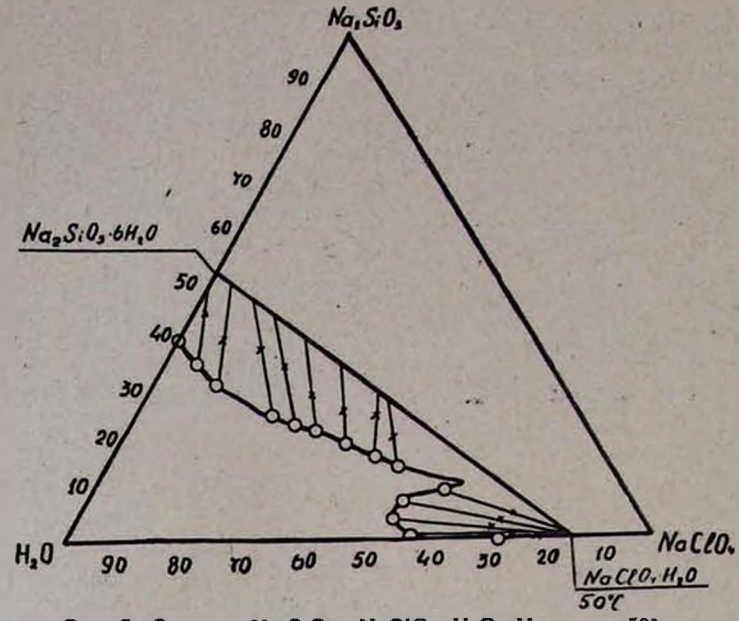


Рис. 5. Система Na₂SiO₃-NaCiO-H₂O. Изотерма 50°.

остатков Срейнемакерса. Помимо этого, были сняты термограммы и кристаллооптические показатели осадков из обоих полей кристаллизации.

0, 20 և 50°C-ՈՒՄ Na₂SiO₃—NaClO₄—H₂O ՍԻՍՏԵՄԻ ՈՒՍՈՒՄՆԱՍԻՐՈՒԹՅՈՒՆ

2. S. PUPUSUL, L. U. SUISUVBUL L 2. U. GUPPPLBUL

Udhnhnid

Ուսումնասիրված է Na₂SiO₃—NaClO₄—H₂O սիստեմի լուծելիությունը 0, 20 և 50°-ում Պարզված է, որ 0 և 20°-ի իզոթերմները բնությագրվում են բլուրեղացման երեջ դաշտերով, որորջ են՝ ինը ջրով նատրիումի մետասիլիկատի, Na₂SiO₃·9H₂O բլուրեղացման դաշտ, պինդ լուծույթների բլուրեղացման դաշտ, հիմնված ինը ջրով նատրիումի մետասիլիկատի Na₂SiO₃·9H₂O և նատրիումի պերջլորատի NaClO₄·H₂O միջև և մեկ ջրով նատրիումի պերջլորատի RaClO₄·H₂O միջև և մեկ ջրով

րտահրուղի ոիքիկատի եlունդմաչիմետարրին բ րտահիուղի տերենքսետի գիծբ։ հրմաձվար մաշա բ ակիրմ քուգուքելրին եlունդմաձվար մաշա՝ չկղըվագ րտահրուղի ոիքիկատի եlունդմաձվար մաշա՝ ղրի ծնով տինենսետաի եlուջ₀₀-ի իմանրիվան րուլրակոս ուրի եlունդմանվար 3 մաշա, վրե ծնով

Ստացված նստվածքների ռաղադրությունը հաստատված է թերմագրամներով և ռենտգենագրամներով։

դատանված է ըսավագերբեի ե**և**ունդնօտաիկակար արաքիժն**։**

ЛИТЕРАТУРА

- 1. И. Шумахер, "Перхлораты, свойства, производство и применение", Гос. хим. издат, 1963.
- 2. А. С. Карнаухов, Изв. сектора физ. химич. анализа АН СССР, т. XXV, 335 (1954).
- 3. D. Vorlander, E. Eaascht, Ber., 56, 1157 (1923).
- 4. E. Cornec, J. Dickely, Bul. Soc. chim. France (4) 41, 1017 (1927).

УДК 541.123.3+546.33+546.42

ИССЛЕДОВАНИЕ СИСТЕМЫ SrCl₂—Na₂SiO₃—H₂O ПРИ 20°C

Г. Г. БАБАЯН, В. Д. ГАЛСТЯН, Э. Б. ОГАНЕСЯН и И. М. ЮЗБАШЯН

Ереванский научно-исследовательский институт химии

Поступило 25 XII 1968

Методами физико-химического анализа измерения растворимости, удельной электропроводности, рН растворов, кажущегося объема осадков показано, что при взаимодействии метасиликата натрия с хлоридом стронция в водном растворе образуются: при n=1 SrSiO₂·m H₂O и при n=2 и выше SrSi₂O₅·m H₂O.

Синтезированные осадки исследованы кристаллооптически, рентгенографи-

чески, термографически; сняты ИК спектры.

Рис. 7. библ. ссылок 6.

Силикаты стронция находят применение в люминесцентной промышленности [1] в производстве глазурей, стекол [2, 3]. Известен синтез силикатов стронция из расплавов [4, 5]. Данных же по синтезу силикатов стронция из растворов не имеется.

Нами исследована система SrCl₂-Na₂SiO₂-H₂O при 20°.

Экспериментальная часть

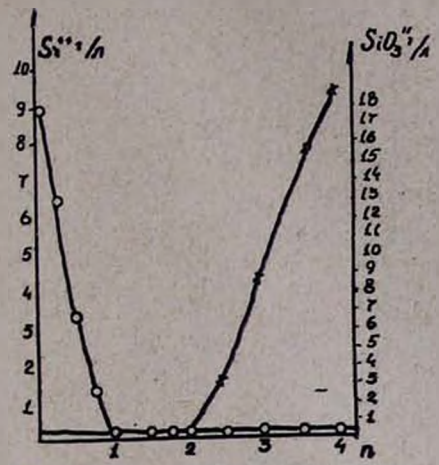
Исследование условий образования гидросиликатов стронция в водном растворе проводилось методами растворимости, определением удельной электропроводности, рН фильтратов и кажущегося объема осадков.

Исходными продуктами для исследования были SrCl₂·6H₂O и Na₂SiO₃·9H₂O марки "ч. д. а.". Кремнезем определялся солянокислым методом, стронций — комплексометрическим титрованием трилоном-Б.

Методика эксперимента была описана ранее [6]. Изучение растворимости (рис. 1) показывает, что в зависимости от n (где $n=\mathrm{SiO_3}^-/\mathrm{Sr}^{++}$ в исходном растворе) образуется два гидросиликата: n=1 выделяется $\mathrm{SrSiO_3} \cdot m \, \mathrm{H_2O}$. Дальнейшее повышение этого отношения приводит к образованию нового соединения $\mathrm{SrSi_2O_5} \cdot m \, \mathrm{H_2O}$.

Из кривой зависимости pH раствора от n (рис. 2) следует, что при n=1 образуется метасиликат стронция — $SrSiO_3 \cdot m H_2O$ и pH раствора равен 7; при n=2 образуется дисиликат стронция — $SrSi_2O_5 \cdot m H_2O$ и pH = 12,9, что говорит о протекании реакции с образованием едкого натра.

Кривые зависимости удельной электропроводности (рис. 3) и кажущегося объема осадка (рис. 4) соответствуют данным растворимости и рН раствора.



Puc. 1. Растворимость системы SrCl₂— Na₂SiO₃—H₂O.

Способом "остаточных концентраций" были рассчитаны составы твердых фаз и дана кривая зависимости (рис. 5) n_1 от n (где $n_1 = SiO_a/SiO_b$ в осадке).

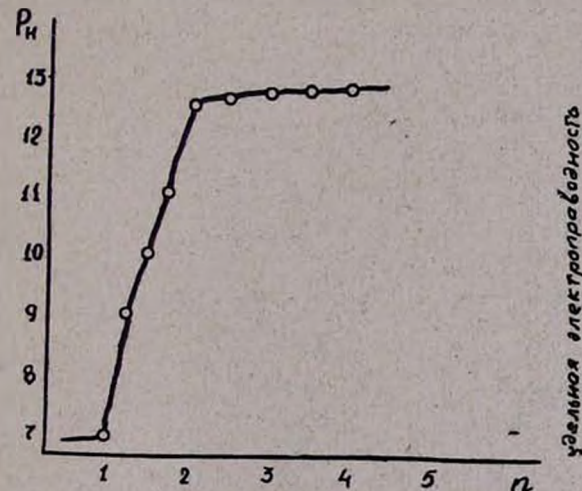


Рис. 2. Кривая зависимости рН фильтрата от п.

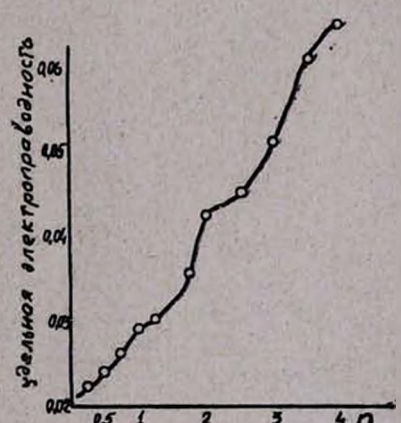


Рис. 3. Кривая зависимости удельной электропроводности фильтрата от п.

. С целью выяснения зависимости состава осадка от мольных отношений исходного раствора были поставлены опыты при $n=1,\,2,\,3,\,4,\,6,\,8.$

Установлено, что при n=1 получается метасиликат стронция, при n=2 и выше получается дисиликат стронция $SrSi_2O_5 \cdot m H_2O$. Тем-

пература синтеза (20, 40, 60, 80°) не влияет на состав осадков. Полученные осадки подвергались рентгенографическому, термографическому, кристаллооптическому и термогравиометрическому исследованиям.

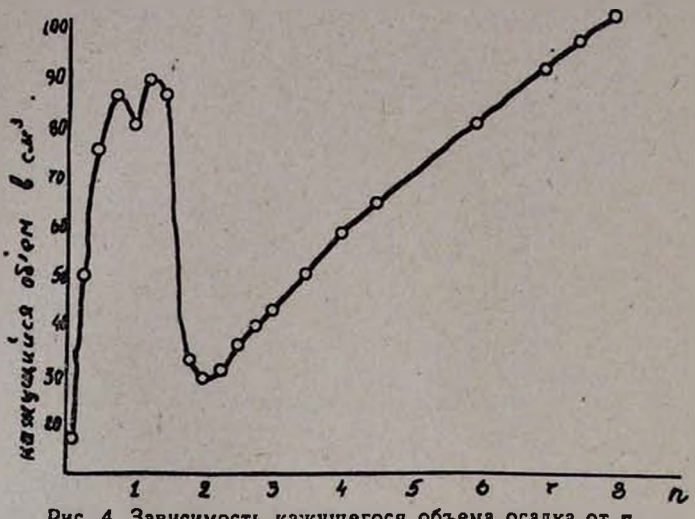


Рис. 4. Зависимость кажущегося объема осадка от п.

На основании кристаллооптических данных осадки имеют средний коэффициент преломления N_c SrSiO₃ = 1,487, N_c SrSi₂O₅ = 1,469.

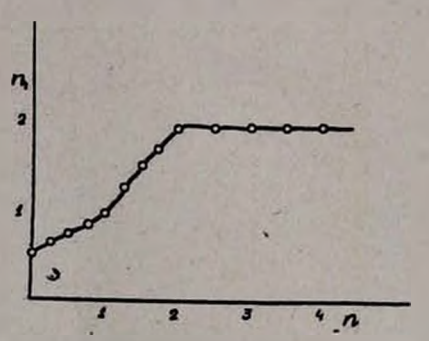


Рис. 5. Зависимость n_1 от n.

На термограмме (рис. 6) метасиликата стронция имеется два эндотермических эффекта при 80 и 750° и один экзотермический?эффект при 1008°. На термограмме (рис. 7) дисиликата стронция имеются два эндотермических эффекта при 100, 515° и один слабо выраженный экзотермический эффект при 943°. Эндотермические эффекты соответствуют удалению как кристаллизационной, так и адсорбционной воды. Третий, экзотермический эффект, по-видимому, соответствует модификационному превращению.

Определены удельные веса высушенного метасиликата стронция при разных температурах:

$$d_{20^{\circ}}^{20}=2,408, \quad d_{120^{\circ}}^{20}=2,6, \quad d_{850^{\circ}}^{20}=2,77, \quad d_{500^{\circ}}^{20}=2,89.$$

Удельные веса дисиликата стронция следующие:

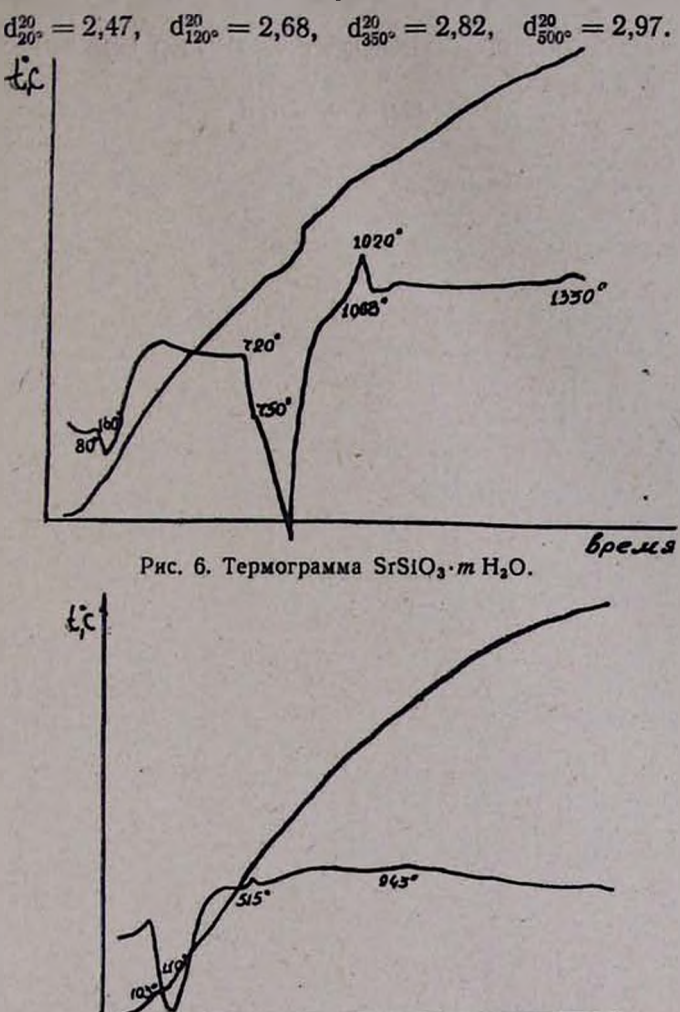


Рис. 7. Термограмма SrSi₂O₅·m H₂O.

время

Сняты ИК спектры метасиликата и дисиликата стронция, высушенных при 120, 350 и 500° . Спектры поглощения этих силикатов характеризуются присутствием широкой полосы в области $900-1100~cm^{-1}$, соответствующей колебанию тетраэдрической группы SiO_4^* . Соотношение интенсивностей отдельных максимумов в пределах этой полосы поглощения и положение ее в целом несколько изменяется при переходе от одного силиката к другому. В спектрах силикатов стронция наблюдаются деформационные колебания группы $OH(H_2O)-1564-1710~cm^{-1}$ и валентные колебания группы $OH(H_2O)-2550-4120~cm^{-1}$. С возрастанием температуры от 120 до 500° пики деформационных и валентных колебаний сильно уменьшаются и при 500° совсем исчезают.

Армянский химичексий журнал, XXII, 7—3

20°C-Neu SrCl₂-Na₂SiO₃-H₂O UHUSBUT 468URNSNEPSNE

2. A. PUPUSUL, Q. A. AULUSSUL, L. P. 2042ULLPUBUL L. P. U. BOPGPUCBUL

Udhnhnid

ոտրոնցիումի մետասիլիկատը՝ SrSiO₃·mH₂O և բ) դիսիլիկատը՝ SrSiO₅·mH₂O ւ բ) դիսիլիկատը՝ SrSiO₅·mH₂O սիստեմում ստացված են հրկու սիլիկատներ՝ ա)

Ստացված սիլիկատներն ուսումնասիրված են ռենտդենադրաֆիական, թյուրեղօպտիկական և Թերմոգրաֆիական մեԹողներով։ Նկարահանված են 120, 350 և 500° ջերմաստիճաններում չորացված նմուշների ինֆրակարմիր սպեկտրները։ Որոշված է ստրոնցիումի մետասիլիկատի տեսակարար կշիռը, 20-ից 500°-ում, որը տատանվում է 2,408—2,89, իսկ դիսիլիկատինը՝ 2,47—2,97 միջակալ թում։

ЛИТЕРАТУРА

- 1. А. А. Колпакова, Л. Я. Марковский, ЖПХ, 7, 1432 (1965).
- 2. Ю. Г. Штейнберг, К. К. Евстропьев, ЖПХ, 34, 2413 (1961).
- 3. Ю. Г. Штейнберг, ЖПХ, 34, 1470 (1961).
- А. Н. Винчел, Г. В. Винчел, Оптические свойства искусственных минералов, изд. "Мир", Москва, 1967, стр. 350.
- 5. H. A. Toponos, ДАН СССР, I, 37, № 4, 882 (1961).
- 6. Г. Г. Бабаян, С. В. Геворкян, Д. Г. Асланян, ЖНХ (в печати).

УДК 543.258

БРОМКУЛОНОМЕТРИЧЕСКОЕ ОПРЕДЕЛЕНИЕ ДИТИЛИНА И СУБЕХОЛИНА

Р. А. КРОПИВНИЦКАЯ

Институт тонкой органической химии АН Армянской ССР Поступило 11 III 1969

Разработаны методики количественного определения лекарственных препаратов: дитилина и субехолина, методом кулонометрического титрования. Принципиальной основой разработанных методик является реакция между электрогенерируемым бромом и йодидсодержащими лекарственными препаратами: дитилином и субехолином,

$$Br_2 + J^- \longrightarrow BrJ + Br^-$$

Экспериментально определены оптимальные условия генерации брома с эффективиностью тока 100%.

Результаты анализа обработаны методом математической статистики. Рис. 4, табл. 2, библ. ссылок 9.

Дитилин и субехолин являются лечебными препаратами, синтезированными в Институте тонкой органической химии АН Армянской ССР.

Дитилин [1] представляет собой дийодметилат диметиламиноэтилового эфира янтарной кислоты.

((CH₃)₃NCH₂CH₂OOCH₂CH₂COOCH₂CH₂N(CH₃)₃] 2J⁻

Субехолин [2] — дийодметилят диметиламиноэтилового эфира пробковой кислоты.

((CH₂),NCH₂CH₂OOC(CH₃), COOCH₃CH₃N(CH₃),1 2J⁻

Их количественное определение в настоящее время проводится объемным аргентометрическим методом по Фаянсу.

Целью настоящей работы является разработка метода кулонометрического титрования дитилина и субехолина электрогенерированным бромом на основании реакции между бромом и йодидом [3].

$$J^- + Br_2 \longrightarrow JBr + Br^-;$$

Основным условием успешного применения кулонометрического метода анализа для внедрения его в практику производственных и исследовательских лабораторий является 100° /₀-ная эффективность тока генерации титранта.

Для нахождения оптимальных условий нами была изучена эффективность тока генерации Вг₂ по кривым поляризации в фоновых

растворах (0,1, 1,0 и 3,0 и H_2SO_4) и в присутствии вспомогательного реагента КВг в различных концентрациях (0,1, 1,0 и 3,0 и). Исследования проводили в токе азота, очищенного над раствором VSO_4 . Эффективность тока [4] вычисляли по формуле.

Эффективность тока,
$$^{0}/_{0} = \frac{t - t_{0}}{t} \cdot 100$$
,

где i — величина общего тока электролиза при данном потенциале рабочего электрода в присутствии вспомогательного реагента; i_0 — величина тока для фона при том же потенциале рабочего электрода. Результаты этих опытов представлены на рисунках 1 — 3.

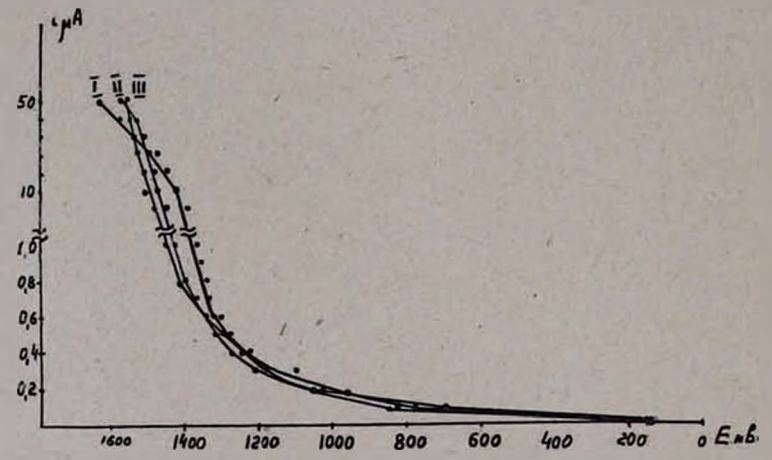


Рис. 1. Кривые сила тока—потенциал сернокислых растворов: I—0,1 и; II — 1,0 и и III — 3,0 и H_2SO_4 .

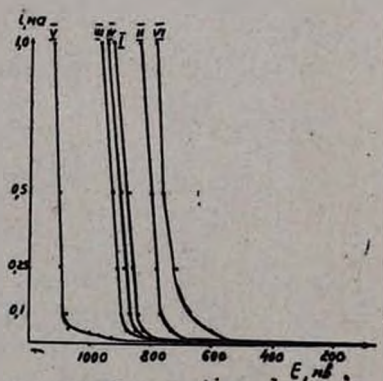


Рис. 2. К Вые сила тока — потенциал электролитов: I—0,1 и H₂SO₄, 0,1 и KBr; II — 0,1 и H₂SO₄; 1,0 и KBr; III — 0,1 и KBr, 1,0 и H₂SO₄; IV — 1,0 и H₂SO₄, 1,0 и KBr; V — 3,0 и H₂SO₄, 1,0 и KBr; VI — 3,0 и H₂SO₄, 3,0 и KBr.

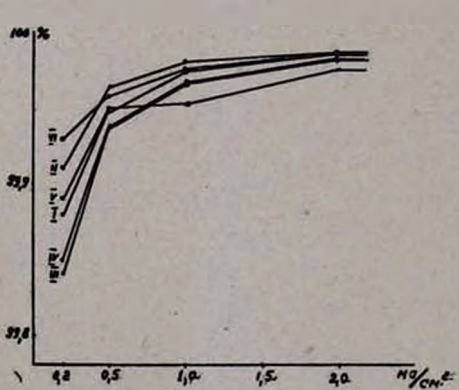


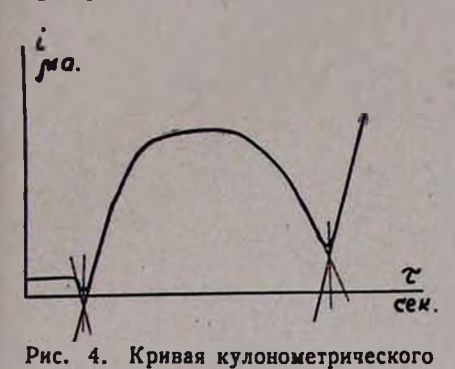
Рис. 3. Кривые зависимости эффективность тока — плотность тока: I — 0,1 и H₂SO₄, 0,1 и KBr; II — 0,1 и H₂SO₄, 1,0 и KBr; III — 0,1 и KBr, 1,0 и H₂SO₄; IV — 1,0 и H₂SO₄, 1,0 и KBr; V — 3,0 и H₂SO₄, 1,0 и KBr; VI — 3,0 и H₂SO₄, 3,0 и KBr.

На основании этих данных мы выбрали плотность генераторного тока=10 ма и электролиты состава 3,0 м по H_2SO_4 и 3,0 м по KBr.

Экспериментальная часть

Для кулонометрического титрования дитилина и субехолина электрогенерированным бромом была использована кулонометрическая установка КУ-2-1968 [5]. Для индикации конечной точки титрования (КТТ) использовали способ биамперометрии [6, 7] с автоматической записью титрования.

В анодную камеру заливали 35 мл электролита состава 3,0 μ по H_2SO_4 и 3,0 μ по KBr, а в катодную камеру — раствор 3,0 μ H_2SO_4 .



титрования.

Включали мешалку. Затем в анодную камеру вносили аликвотную часть анализируемого вещества и включали генераторную цепь.

Конечную точку титрования и время определения находим по графику автоматической записи титрования (рис. 4). Одна молекула дитилина или субехолина вступает в реакцию с четырьмя атомами брома. Расчет определяемого количества проводили по формуле:

$$m = K \cdot i \cdot \tau$$

где m — количество дитилина, mz; K — электрохимический эквивалент определяемого вещества, соответствующий одному кулону; i — силаленераторного тока, ma, π — время, сек.

Электрохимический эквивалент К рассчитан по формуле

$$K=\frac{M}{F\cdot n},$$

где M — молекулярный вес, ϵ ; F — число Фарадея = 96500 кулонов; n — количество электронов, принимающих участие в реакции с 1 молекулой определяемого вещества.

$$K_{\text{антилена}} = \frac{544}{96500 \cdot 4} = 0,00141 \ \emph{г/ма} \cdot \text{сек.}$$
 $K_{\text{субедолена}} = \frac{600}{96500 \cdot 4} = 0,00155 \ \emph{г/ма} \cdot \text{сек.}$

Результаты определений представлены в таблицах 1, 2 и обработаны методом математической статистики [8].

Разработанные методики количественного определения дитилина и субехолина заключают в себе все преимущества кулонометрического анализа [9]. Чувствительность определения составляет 10^{-6} мг вещества. На каждое определение требуются 2-3 минуты.

Таблица / Результаты количественного определения дитилина бромкулонометрическим титрованием, обработанные методом математической статистики

Дитил	тин, же		100		Откло		Листор	Доверительный	Границы
взято	най- дено	Сек.	º/o	°/ ₀ cp.	1100	стан- дарт- ное, S	Диспер- сия, S ³	интервал, $\alpha = 95^{\circ}/_{\circ}$	достовер- ности
	0,5020 0,4977 0,4977 0,4991	35,6 35,3 35,3 35,4	100,40 99,54 99,54 99,82	99,83	-0,02	0,405	0,1644	0,2025·3,2=0,648	99,83 <u>+</u> 0,65
.1,0	0,0011 0,9983 0,9955 0,9997	71,0 70,8 70,6 70,9	100,11 99,83 99,55 99,97	99,87	-0,02	0,239	0,0572	0,1105·3,2=0,3824	99,87 <u>±</u> 0,38
	0,4946	106,3 106,0 105,9 106,0 141,2	99,92 99,64 99,55 99,64 99,55	99,69	<u> </u>	0,161	0,0258	0,0805·3,2=0,2576	99,69 <u>+</u> 0,26
	0,9881 1,9909	141,0	99,45	99,51	—0,0 1	0,0507	0,00257	0,0258.3,2=0,0826	99,51±0,08

Таблица 2
Результаты количественного определения субехолина бромкулонометрическим титрованием, обработанные методом математической статистики

	HNLOX	Сек.			Отклонения	рсия,	Доверительный	Границы
взято	най- дено	Сек.	°/ ₀	⁰/ _a cp.	сред- нее дарт- ное, S	Дисперсия, S1	интервал, $\alpha = 95^{\circ}/_{\circ}$	достовер-
	0,4960	32,0	99,20		19	1	7-4	
	0,5006 0,5006	32,3	100,12 100,12	100,05	-0,020,635	0,4028	3,2.0,317=1,014	100,05±1,014
.1,0	0,5037 0,9951	64,2	100,74 99,51			-	11 1 1 1 1 1	- 0
	0,9966 0,9920	64,3	99,66 99,20	99,39	-0,020,231	0,0532	3,2.0,116=0,371	99,39±0,371
1,5	0,9920 1,4880	64,0 96,0	99,20	14	10000		100	
	1,4911 1,4880	96,2 96,0	99,41	99,33	0,000,156	0,0243	3,2.0,078=0,250	99,33±0,250
.2,0	1,4926 2,0041	96,3 129,3	99,51 100,20		100	-		17.6
	1,9917	128.5 128.7	99,58		0,000,303	0.0917	3,2.0,151=0,483	99.78±0.483
		128,5	99,58		9	0,0011	0,2 0,101 0,100	00110201100

ԴԻՏԻԼԻՆԻ ԵՎ ՍՈՒԲԵԽՈԼԻՆԻ ԲՐՈՄԿՈՒԼՈՆԱՄԵՏՐԻԿ ՈՐՈՇՈՒՄ

Ռ. Ա. ԿՐՈՊԻՎՆԻՑԿԱՑԱ

Цифпфпии

Մշակված են դիտիլին և սուբեխոլին դեղանլուԹերը կուլոնամետրիկ արհարման մեթոդով քանակապես որոշելու մեթոդիկաներ։ ընթունինի) դիձր նրելանով արտինիտը։ Բնրիահատրեմով եևողի ր քոժ տահաւջարհով մրմաըքաւերեր (միաիքիչի ր ոսութիանիչի) դիձր նրելանում արտինիտը։

$$Br_2 + J^- \longrightarrow BrJ + Br^-$$

Փորձնական հղանակով որոշված են բրոմի գեներացման օպտիմալ պայմանները՝ հոսան թի 100º/₀ էֆեկտիվուԹլամ և։

Մնալիդի արդլունքները մշակված են մաթեմատիկական վիճակագրութլան մեթուրդվ։

ЛИТЕРАТУРА

- А. Л. Миджоян, Дитилин и опыт его клинического применения, Изд. АН АрмССР, Ереван, 1957.
- А. Л. Миджоян, О. Л. Миджоян, О. Е. Гаспарян, Авт. свид. № 144837; Бюлл. изобр. № 4, 1962.
- 3. Ф. Фивек, А. Шваппах, Ber., 63, 2818 (1930).
- 4. Н. И. Стенина, П. К. Агасян, ЖАХ, 20, 196 (1965).
- 5. Р. А. Кропивницкая, К. С. Лусарарян, "Промышленность Арменин", № 1, 1969.
- О. А. Сонгина, Амперометрическое титрование, Изд. "Химия", Москва, 1967, стр. 95.
- 7. А. П. Зозуля, Кулонометрический анализ, Изд. "Химия", Москва—Ленинград, 1965, стр. 32.
- 8. В. В. Налимов, Применение математической статистики при анализе вещества, Изд. физ.-мат. лит., Москва, 1960.
- 9. П. К. Агасян, ЖВХО им. Д. И. Менделеева. 9. 167 (1964).

XXII, № 7, 1969

ОРГАНИЧЕСКАЯ ХИМИЯ

УДК 542.91+632.954

СИНТЕЗ ГЕРБИЦИДОВ

ЦИАНМЕТИЛ-ПОЛУАЦЕТАЛЬ ХЛОРАЛЯ И ЕГО НЕКОТОРЫЕ ПРЕВРАЩЕНИЯ

В. В. ДОВЛАТЯН и Д. А. КОСТАНЯН

Армянский сельскохозяйственный институт

Поступило 3 VII 1968

Показано, что при действии гликонитрила на хлораль образуется цианметилполувцеталь хлораля, который при перегонке распадается с выделением исходных
продуктов. Аналогично ведут себя аддукты хлораля с ацетиленовыми диолами. Хлорированием цианметил-полувцеталя хлораля смесью хлористого тионила и пиридина
получен α, β, β -тетрахлорэтилгликонитрил, который под действием спиртовой серной
кислоты переходит в этиловый эфир О- α, β, β -тетрахлорэтилгликолевой кислоты,
строение которого подтверждено встречным синтезом—хлорированием аддукта хлораля с этилгликолятом. Под действием этилата натрия указанный тетрахлорид подвергается дегидрохлорированию с образованием этилового эфира О- α, β, β -трихлорвинилгликолевой кислоты.

Библ. ссылок 6.

Известно, что полуацетали хлораля содержат весьма активную гидроксильную группу, благодаря чему они легко вступают в реакции ацеталирования [1—3]. Как было показано совсем недавно [4], ацетиленовые полуацетали хлораля за счет подвижного атома водорода подвергаются внутримолекулярному электрофильному винилированию.

Нами ранее было показано, что в условиях азеотропной каталитической этерификации полуацетали хлораля образуют со свободными кислотами соответствующие алкиловые эфиры, а с арилизоцианатами при повышенной температуре дают N-арилалкилкарбаматы [5, 6]. Эти аномальные превращения, по-видимому, также обусловлены протонной подвижностью полуацеталей хлораля, способствующей их расшеплению в свободные спирты, которые затем этерифицируются кислотами или присоединяются к арилизоцианатам:

В настоящем сообщении приведены результаты исследований, проведенных по синтезу и осуществлению некоторых превращений совершенно неизученного цианметил-полуацеталя хлораля.

Этот полуацеталь мог бы быть получен конденсацией хлораля с циангидрином формальдегида, Однако, как показали наши опыты, последний, в противоположность спиртам и их функциональным производным, с хлоралем не образует устойчивого полуацеталя. Хотя взаимодействие гликонитрила с хлоралем протекает с выделением тепла и постепенным сгущением реакционной массы, что явно указывает на образование ожидаемого полуацеталя, продукт реакции при вакуум-перегонке почти полностью распадается на исходные вещества.

Предположение, что нестойкость цианметил-полуацеталя хлораля при перегонке обусловлена наличием циан-группы, которая, по-видимому, ослабляет связь между ацетальным кислородом и атомом соседнего с краткой связью углерода, подтвердилось на других примерах. Так, при конденсации хлораля с ацетиленовыми спиртами были получены кристаллические полуацетали

 $2CCI_3CHO + HOC(R)_2C \equiv C - C(R)_2OH \longrightarrow CCI_3CH(OH)OC(R)_2C \cong CC(R)_2OCH(OH)CCI_3$

которые также разлагались при вакуум-перегонке. Вопреки этому, полуацетали хлораля с двойной связью оказались устойчивыми при перегонке. Например, полученные нами для этой цели карбэтокси-метил-* и ү-хлоркротил-полуацетали хлораля

перегоняются в вакууме без разложения. По данным литературы [4], аналогично себя ведет также и пропагрил-полуацеталь хлораля.

Согласно нашим предыдущим опытам, полуацетали хлораля в мягких условиях ацилирования этерифицируются с образованием: а-алкоксн-В,В,В-трихлорэтиловых эфиров. Между тем, цианметил-по-луацеталь хлораля под действием хлористых ацетила и бензоила образует кинящие в большом температурном интервале смеси продуктор, из которых не удалось выделить индивидуальные ацетильное: или бензоильное производные.

Исходя из вышеуказанного можно было полагать, что взаимодействие хлораля с гликонитрилом является обратимой реакцией. Несмотря на это, нам все же удалось заменить гидроксильную группу цианметил-полуацеталя хлораля на атом хлора и получить перегоняющийся без разложения O- α , β , β , β -тетрахлорэтилгликонитрил, который затем под действием спиртовой серной кислоты был переведен в. этиловый эфир O- α , β , β , β -тетрахлорэтилгликолевой кислоты.

^{*} Карбэтоксиметил-полуацеталь хлораля был синтезирован К. А. Элиазян...

Строение полученного хлорида было доказано его встречным синтезом по схеме:

$$CCl_3CHO + HOCH_3COOC_2H_5 \longrightarrow$$
 $CCl_3CH(OH)OCH_2COOC_2H_5 \xrightarrow{COL_3CH(Cl)OCH_2COOC_2H_5}$

Полученный хлорид, по аналогии с другими α,β,β,β -тетрахлорэтилалкиловыми эфирами и ранее изученным нами β -этокси- β,β,β -трихлорэтилхлорацетатом [5], под действием спиртового этилата натрия подвергается дегидрохлорированию с образованием этилового эфира \mathcal{O} - α,β,β -трихлорвинилгликолевой кислоты:

$$CCI_3CH(CI)OCH_2COOC_2H_6$$
 $\xrightarrow{C_4H_6ON_8}$ $CCI_2=CH(CI)OCH_2COOC_2H_5$

Ввиду наличия гербицидной активности у некоторых представителей О-замещенных производных гликолевой кислоты, вышеуказанные хлориды в качестве возможных гербицидов могли представлять определенный интерес.

Экспериментальная часть

О- α -Окси- β , β , β -трихлорэтилгликонитрил. Смесь 14,75 г хлораля (0,1 моля) и 5,7 г (0,1 моля) нитрила гликолевой кислоты с т. кип. $81-83^\circ$ /мм нагревают на водяной бане в течение часа. Полученный полуацеталь оставляют при комнатной температуре в течение 2-х суток и затем без очищения применяют в следующей стадии синтеза. Неочищенный О- α -окси- β , β , β -трихлорэтилгликонитрил имеет следующие константы: n_D^{20} 1,4870, d_D^{20} 1,3817; при перегонке в вакууме разлагается на исходные продукты: получено 5 г гликонитрила с т. кип. $80-83^\circ$ /5 мм.

1,4-бис-(a-Окси- β,β,β -трихлорэтокси) бутин-2. К 14,75 г (0,1 моля) хлораля при охлаждении ледяной водой маленькими порциями прибавляют 3,5 г (0,04 моля) бутиндиола-1,4. Смесь нагревают на водяной бане в течение 0,5 часа и оставляют на ночь. Продукт реакции несколько раз обрабатывают n-гептаном. Кристаллическую массу отфильтровывают и высушивают на воздухе. Выход 15 г $(98^0/_0)$; т. пл. $61-63^\circ$. Найдено $0/_0$: С1 55,58. С_в H_8O_4 СІ_в. Вычислено $0/_0$: С1 55,9.

1,4-бис - (α -Окси - β , β , β - трихлорэтокси) - 1,1,4,4-тетраметилбу-тин-2. Получен аналогичным образом, выход 75,5 $^{\circ}$ / $_{\circ}$; т. пл. $88-90^{\circ}$ (из кипящего μ -октана). Найдено $^{\circ}$ / $_{\circ}$: С1 48,49. С₁₂ H_{16} О₄С I_{6} . Вычислено $^{\circ}$ / $_{\circ}$: С1 48,97. Оба соединения при перегонке в вакууме разлагаются с выделением хлораля и исходных диолов.

"-Хлоркротил-полуацеталь хлораля. Смесь 5,3 г (0,036 моля) хлораля и 3,7 г (0,035 моля) "-хлоркротилового спирта нагревают на водяной бане в течение часа и оставляют на ночь. На следующий день продукт реакции фракционируют в вакууме; т. кип. $63-64^\circ/5$ мм; выход 7 г (77,7%); n_D^{20} 1,4948. d_D^{20} 1,3265, MRD найдено 55,76, вычислено 54,60. Найдено %: Cl 56,28. $C_8H_8O_3Cl_4$. Вычислено %: Cl 55,90.

О-2-Тетрахлорэтилгликонитрил. К смеси 15 мл сухого бензола и 24,6 г (0,12 моля) О- α -окси- β , β , β -трихлорэтилгликонитрила при охлаждении и перемешивании прибавляют 13,4 г (0,17 моля) пиридина и по каплям 20,2 г (0,17 моля) хлористого тионила, растворенного в 10 мл сухого бензола. Смесь при перемешивании нагревают на водяной бане в течение часа и оставляют на ночь. На следующий деньприбавляют 50 мл воды, экстрагируют эфиром и высушивают над безводным сернокислым натрием. После удаления растворителей: остаток перегоняют в вакууме, собирая фракцию, кипящую при 118—119°/6 мм. Выход 15 г (56°/0); n_D^{20} 1,4975, d_D^{20} 1,5527. Найдено МRD. 42,06, вычислено 41,43. Найдено °/0: N 6,17. С₄Н₃ONCl₄. Вычислено °/0: N 6,27.

Этиловый эфир О-а,β,β,β-тетрахлорэтильликолевой кислоты. А) К смеси 11,1 г (0,05 моля) О-а,β,β,β-тетрахлорэтильликонитрила и 9,2 г этилового спирта при охлаждении и перемешивании медленно, по каплям прибавляют 7 г (0,072 моля) концентрированной серной кислоты. После десятиминутного перемешивания удаляют охладитель, перемешивают еще один час, затем смесь нагревают на водяной бане в течение часа и оставляют на ночь. На следующий день прибавляют 50 мл эфира и отфильтровывают выпавший сульфат аммония. Эфирный раствор промывают водой, затем 50/0-ным раствором карбоната натрия до полной нейтрализации (по конго), высушивают над безводным сернокислым натрием, удаляют растворитель и остаток перегоняют в вакууме, собирая фракцию, кипящую при 124—125°/4 мм. Выход 10 г (74,60/0); по 1,4815, фо 1,4573. МRD найдено 52,77, вычислено 52,67. Найдено 0/0; С1 53,0. Св Вычислено 0/0; С1 52,6.

Б) К смеси 20,1 г (0,08 моля) этилового эфира О- α -окси- β , β , β -три-хлорэтилгликолевой кислоты с т. кип. 57—59°/4 мм, растворенного в 15 мл сухого бензола, и 7,9 г (0,1 моля) пиридина при перемешивании и охлаждении медленно, по каплям прибавляют 11,9 г (0,1 моля) хлористого тионила и 15 мл сухого бензола. Реакционную смесь нагревают на водяной бане в течение 1,5 часов. После удаления бензола остаток перегоняют в вакууме. Т. кип. 118—122°/3 мм; выход. 10,3 г (48,6%). п 20 1,4812, 20 1,4568.

Дегидрохлорирование этилового эфира О-а, β, β-тетрахлор-этилгликолевой кислоты. В 10 мл абсолютного этилового спирта при перемешивании растворяют 0,92 г (0,04 г-атома) натрия и затемпри охлаждении водой прибавляют 10,8 г (0,04 моля) этилового эфира О-а, β, β, β-тетрахлорэтилгликолевой кислоты. Реакционную смесь на-

гревают на водяной бане в течение 1,5 часов. Содержимое колбы обрабатывают 30 мл воды, экстрагируют эфиром, высушивают над сернокислым натрием, удаляют растворитель и остаток перегоняют в вакууме; т. кип. $1.90-122^\circ/5$ мм. Выход 5 г $(53.7^\circ/_0)$, n_D^{20} 1,4788, d_D^{20} 1,4235. М R_D найдено 46,42, вычислено 47,34. Найдено 0_0° : Cl 46,01. C_0° Вычислено 0_0° : Cl 45,65.

ՀԵՐԲԻՑԻԴՆԵՐԻ ՍԻՆԹԵՉ

Քլորսլի ՑիսեՄԵԹԻԼ-ԿԻՍԱԱՑԵՏԱԼԸ ԵՎ ՆՐԱ ՄԻ ՔԱՆԻ ՓՈԽԱՐԿՈՒՄԵԵՐԸ

ય. ય. જાત્યાય કથાર કર્ય જ. ઘ. ધાઉઘાર ઘાર

Udhahaid

ծուլց է տրված, որ քլորալի ու դլիկոնիտրիլի փոխազդմամբ առաջա-Նում է քլորալի ցիանմեթիլ-կիսաացետալը, որը թորման ժամանակ քալթալվում է, վերածվելով համապատասխան ելանյութերի։

ծնսհանի ու բերնենիվոնատի փոխաժմբնուննար անսմուրման ճնսերնով։ Հոնթրի, դրևչիրիո վասունվագ են չառատաղագ է չարմիանիագ ոիր նրժամ, Ոսոգուննի աժմղաղե վրև է ագվուղ Ο-α'θ'θ'θ-արահաճնսեննիվուանեցվի բերն Ο-α'θ'θ-արահաճնսև բերնենիվորիահին՝ սեն գգրետվար ենվի ումինատկիր տանն ակեկները ու նիսրին ճնսերեր իտարուհմով ճնսերներ ռատնվուղ է փոխաժմղաղե ռատնվագ անսմուրներն, _Ննսետնի նիարորթենք միսնրեր իրբոն րունր գրով թը առչուղ ճնսետնի և տնրաինրունը միսնրեր

Նաարիումի էթիլատի ազդմամբ տետրաքլորիդը ենթարկվում է դեհիդրոքլորացման, առաջացնելով Ο-α,β,β-տրիքլորդլիկոլաթթվի էթիլէսթեր։

ЛИТЕРАТУРА

- 1. М. Ф. Шостаковский, А. С. Аставин, М. А. Альперт, Г. В. Ленских, Изв. СОАН СССР, серня хим., 1965, 1113.
- 2. М. Ф. Шостаковский, А. С. Аставин, М. А. Альперт, Г. В. Ленских, ЖОХ, 35, 198 (1965).
- 3. И. А. Шихиев, М. И. Алиев, Б. Г. Юсуфов, ЖОХ, 35, 1654 (1965).
- 4. А. С. Атавин, А. Н. Мирскова, Г. А. Калабин, ЖОрХ, 10, 1779 (1967).
- 5. В. В. Довлатян, Д. А. Костанян, Арм. хим. ж., 19, 59 (1966).
- 8. В. В. Довлатян, Д. А. Костанян, Арм. хим. ж., 20, 627 (1967).

XXII, № 7, 1969

УДК 547.398.62+547.581

ГИДРАЗИДЫ, 4-МЕТИЛТИАЗОЛИЛ-2-ГИДРАЗИДЫ, ТИОСЕМИКАРБАЗИДЫ И 4-АЛКОКСИБЕНЗАЛГИДРАЗИДЫ 2-АЛКОКСИ-5-БРОМБЕНЗОЙНЫХ КИСЛОТ

А. А. АРОЯН и Н. С. БОЛЬШАКОВА

Институт тонкой органической химни АН Армянской ССР Поступило 3 VII 1968

С целью испытания антибактериальных свойств синтезированы гидразиды, тиосемикарбазиды, 4-метилтиазолил-2-гидразиды и 4-алкоксибензалгидразиды 2-алкокси-5-бромбензойных кислот. Бромированием эфиров 2-алкоксибензойных кислот получены их 5-бромпроизводные, взаимодействие которых с гидратом гидразина приводит к соответствующим гидразидам. Гидрохлориды последних при нагревании с роданистым аммонием образуют тиосежикарбазиды.

4-Метилтиазолил-2-гидразиды синтезированы взаимодействием тиосемикарбазидов с хлорацетоном, а 4-аякоксибензалгидразиды—действием 4-аякоксибензальдегидов на гидразиды кислот.

Рис, 1, табл. 5, библ. ссылок 6.

Биологические испытания тиазолилгидразидов различных ароматических и гетероциклических кислот [1] и других аналогичных соединений показали, что они проявляют антибактериальное действие [2].

Исходя из этих данных, ранее были синтезированы тиазолилгидразиды галоидзамещенных феноксиуксусных (I) и 2-алкоксибензойных кислот (II) [3].

X=H, Br; R=алкил C₁--C₈.

В настоящей работе описывается синтез 4-метилтиазолил-2-гидразидов (III) и 4-алкоксибензалгидразидов (IV) 2-алкокси-5-бромбензойных кислот и ряда промежуточных гидразидов и тиосемикарбазидов,

 $R=CH_3$, C_2H_5 , C_3H_7 , $uso-C_3H_7$, C_4H_9 , $uso-C_4H_9$, C_5H_{11} , $uso-C_5H_{11}$

представляющих также самостоятельный интерес для биологических испытаний. Синтез произведен по следующей схеме:

$$OR \longrightarrow COOCH_3 \xrightarrow{RX} OR \longrightarrow COOCH_3 \xrightarrow{Br_8} CH_9COOH$$

$$OR \longrightarrow COOCH_3 \xrightarrow{N_8H_4 \cdot H_9O} OR \longrightarrow CONHNH_2 \xrightarrow{NH_4NCS} OR \longrightarrow CONHNH_2 \xrightarrow{NH_4NCS} OR \longrightarrow CONHNHCSNH_2 \xrightarrow{CH_9COCH_9CI} OR \longrightarrow CONHNHCSNH_2 \xrightarrow{CH_9CI} OR \longrightarrow CONHNHCSNH_2 \xrightarrow{CH_9CI} OR \longrightarrow CONHNHCSNH_2 \xrightarrow{CH_9CI} OR \longrightarrow CONHNHCSNH_2 \longrightarrow CONHNH_2 \longrightarrow$$

Некоторые эфиры 2-алкокси-5-бромбензойных кислот описаны в литературе [4]. Они синтезированы бромированием 2-алкоксибензойных кислот с дальнейшей эстерификацией полученных 5-бромпроизводных. Мы синтезировали их бромированием метиловых эфиров 2-алкоксибензойных кислот в среде ледяной уксусной кислоты при 10—15°. Физико-химические константы полученных эфиров 2-алкокси-5-бромбензойных кислот совпадают с литературными данными. Чистота продуктов проверялась хроматографированием в тонком слое окиси алюминия (активность II, подвижная фаза петролейный эфир: этиловый эфир 3:1, проявление йодом).

При бромировании эфира 2-изопропоксибензойной кислоты действием выделившегося бромистого водорода происходит отщепление изопропилового радикала и получается эфир 5-бромсалициловой кислоты, идентифицированный сравнением физико-химических констант и ИК спектров (см. рис**) с продуктом, полученным бромированием эфира салициловой кислоты*.

Поэтому метиловый эфир 2-изопропокси-5-бромбензойной кислоты синтезирован бромированием эфира салициловой кислоты с последующим алкилированием полученного 5-бромпроизводного бромистым изопропилом в присутствии этилата калия.

Гидразиды 2-алкокси-5-бромбензойных кислот представляют собой белые кристаллические вещества с четкими температурами плавления. Гидразиды высших гомологов (начиная с С₃) перегоняются в вакууме без разложения. Действием эфирного раствора хлористого водорода в среде абсолютного эфира они переведены в гидрохлориды, хорошо растворимые в воде.

При действии избытка монохлорацетона в среде этанола на тиосемикарбазиды получены гидрохлориды 4-метилтиазолил-2-гидразидов

^{*} Аналогичное явление наблюдается и при некоторых других реакциях [5]. ** Аппарат UR-10. Спектр снят канд. хим. наук Л. В. Хажакяном.

2-алкокси-5-бромбензойных кислот с выходами 75—80°/₀. Они представляют собой устойчивые кристаллические вещества с высокими температурами плавления; плохо растворяются в воде.

Попытка получения свободных тиазолилгидразидов из гидрохлоридов действием водного раствора ацетата натрия не дала удовлетворительных результатов вследствие плохой растворимости гидрохлорида в воде и неустойчивости свободного гидразида. При действии спиртового раствора едкого кали продукт осмоляется.

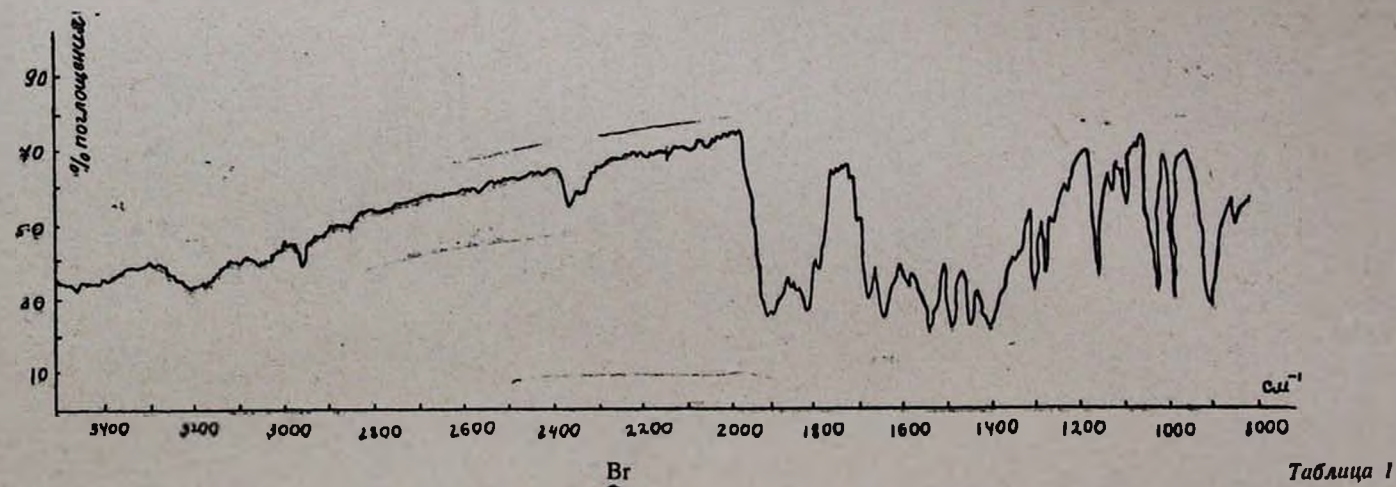
4-Алкоксибензалгидразиды 2-метокси-5-бромбензойных кислот синтезированы нагреванием гидразида кислоты с 4-алкоксибензальдегидами в среде метанола.

Экспериментальная часть

Метиловые эфиры 2-алкокси-5-бромбензойных кислот. К смесн 0,2 моля метилового эфира 2-алкоксибензойной кислоты, 120 мл ледяной уксусной кислоты и нескольких кристаллов йода при охлаждении ледяной водой и перемешивании прикапывают 32 г (0,2 моля) брома с такой скоростью, чтобы температура реакционной смеси оставалась в пределах $10-15^{\circ}$. Затем перемешивают при комнатной температуре 2-3 часа и содержимое колбы вливают в 250 мл ледяной воды. Выделившееся масло экстрагируют эфиром, экстракт промывают $10^{\circ}/_{\circ}$ -ным раствором поташа, $5^{\circ}/_{\circ}$ -ным раствором гипосульфита натрия, сушат над прокаленным сернокислым натрием и после отгонки растворителя остаток перегоняют в вакууме. Так получают метиловые эфиры 2-алкокси-5-бромбензойных кислот с алкоксильными радикалами от C_1 до C_5 , кроме изопропильного. Первые члены этого ряда описаны в литературе [4]. Остальные приведены в таблице 1.

Метиловый эфир 5-бромсалициловой кислоты. Получен бромированием метилового эфира салициловой кислоты, как описано выше. При вливании реакционной смеси в ледяную воду продукт кристаллизуется; его отсасывают, промывают водой и перекристаллизовывают из метанола. Выход 86%, т. пл. 59—60°. По литературным данным [6], т. пл. 61°.

Метиловый эфир 2-изопропокси-5-бромбензойной кислоты. К раствору этилата калия, приготовленному из 4,7 г (0,12 г-ат.) калия и 60 мл абсолютного этанола прибавляют 30 г (0,13 моля) метилового эфира 5-бромсалициловой кислоты, а затем—22,1 г (0,18 моля) бромистого изопропила. Смесь нагревают на водяной бане в течение 20 часов, отфильтровывают бромистый калий и отгоняют спирт. К остатку приливают 100—120 мл воды, экстрагируют эфиром, последний промывают 10% - ным раствором едкого натра, сушат над прока-



OR COOCH,

100000			4				MRD		Анализ,				0/0	
	%							ę.		С		H B		Br
R		Т. кнп., °С/.и.и	Т. пл.,	Молекулярная формула	d420	$n_{\rm D}^{20}$	0 140	числено	SH	ال ال	она	J	дено	ن
	МХОД	70.00	100			11000	найдено	Вычн	a Ka	OH O	пайлено	вычис- лено	найд	вычис- лено
	<u> </u>						==	m	=	H H	=	m =	ž.	
C ₄ H _e	69,7	150-151/1	<u> </u>	C ₁₂ H ₁₅ BrO ₃	1,3103	1,5332	67,04	65,08	50,47	50,19	5,11	5,26	27,54	27,82
изо-С4Н,	58,0	143-145/1	32—33	C ₁₂ H ₁₅ BrO ₃	1,3014	1,5328	66,25	65,08	50,04	50,19	5,18	5,26	27,61	27,82
C ₅ H ₁₁	75,6	168-170/2	-	C ₁₃ H ₁₇ BrO ₃	1,2927	1,5311	72,09	69,70	51,62	51,84	5,93	5,68	26,17	26,45
изо-С ₅ Н ₁₁	72,7	162—164/1	_	C13H17BrO3	1,2875	1,5314	72,00	69,70	51,94	51,84	5,41	5,68	26,67	26,45
3411	1	10.71		_14140.03	.,	1,5011	12,00							

ленным сернокислым натрием и после отгонки растворителя остаток перегоняют в вакууме. Выход 16,8 г ($48^{\circ}/_{\circ}$); т. кип. 134—136°/1 ми; d_{\circ}^{20} 1,3990; n_{\circ}^{20} 1,5461. М $R_{\rm D}$ найдено 61,83; вычислено 60,46. По литературным данным [4], т. кип. 303—305° (с разложением).

Гидразиды 2-алкокси-5-бромбензойных кислот. Смесь 0,4 моля эфира 2-алкокси-5-бромбензойной кислоты и 37,5 г 80% - ного (30 г, 0,6 моля) гидрата гидразина кипятят в течение 4—6 часов. Затем добавляют воду, экстрагируют эфиром. Последний высушивают сульфатом натрия и после отгонки растворителя остаток перегоняют в вакууме. Исключение составляют гидразиды 2-метокси- и 2-этокси-5-бромбензойных кислот, при охлаждении выпадающие в виде кристаллов; их отсасывают и перекристаллизовывают из метанола. Для получения гидрохлорилов их растворяют в эфире и осаждают эфирным раствором хлористого водорода. Полученные кристаллы отсасывают и промывают абсолютным эфиром.

Выходы, данные элементарного анализа и некоторые физико-химические константы гидразидов и их гидрохлоридов приведены в таблице 2.

Тиосемикарбазиды 2-алкокси-5-бромбензойних кислот. Смесь 0,1 моля гидрохлорида гидразида 2-алкокси-5-бромбензойной кислоты, 10 г (0,13 моля) роданистого аммония и 100 мл этанола нагревают на водяной бане до исчезновения розовой окраски и выделения белых кристаллов (3—4 часа). Затем осадок отсасывают и перекристаллизовывают из уксусной кислоты (табл. 3).

4-Метилтиазолил-2-гидразиды-2-алкокси-5-бромбензойных кислот (гидрохлориды). Смесь 0,03 моля тносемикарбазида 2-алкокси-5-бромбензойной кислоты, 3,7 г (0,04 моля) монохлорацетона и 50 мл этанола нагревают на водяной бане в течение 3—4 часов. Отгоняют этанол и избыток хлорацетона, продукт осаждают абсолютным эфиром, отсасывают и перекристаллизовывают из смеси эфира и хлороформа или эфира и этанола (табл. 4).

4-Алкоксибензалгидразиды 2-метокси-5-бромбензойной кислоты. Смесь 2,45 г (0,01 моля) гидразида 2-метокси-5-бромбензойной кислоты, 0,011 моля 4-алкоксибензальдегида и 50 мл абсолютного метанола нагревают на водяной бане в течение трех часов. Затем отгоняют метанол, приливают 20—30 мл эфира, полученный гидразидо-гидразон отсясывают и перекристаллизовывают из метанола (табл. 5).



R	Выход, °/о	Т. кип., °С/мм	Т. пл., °С	Молекулярная формула	найдено
СНз	86,6	-1	189—190	CaHaBrN2O2	39,47
C ₂ H ₅	85,0	_	112—113	C.H.BrN.O.	41,48
C ₃ H ₇	71,6	198-200/1	76—77	C10H13BrN2O2	43,70
uso-C ₃ H ₇	84,6	194196/1	71—72	C10H13BrN2O2	44,21
C ₄ H _e	74,0	205-207/1	75-76	C11H1BIN,O	46,25
изо-С4Н,	60,0	203-205/1	64-65	C11H15BrN2O2	46,21
C ₅ H ₁₁	70,1	210-212/1	4344	C12H17BrN2O2	47,64
изо-С _в Н ₁₁	80,0	207—209/1	49—50	C ₁₂ H ₁₇ BrN ₂ O ₂	47,72

Таблица 2

Ан	a a	и 3,	%		
	ŀ		N		Т. пл.
лено.	найдено	вычис-	найдено	вычистено	гидро- хлорида,
39,20	3,96	3,70	11,62	11,42	228-229
41,72	4,21	4,27	11,11	10,91	202-203
43,97	4,91	4,79	10,49	10,25	193194
43,97	4,67	4,79	10,03	10,25	199—200
46,00	5,11	5,26	9,76	9,75	189-190
46,00	5,34	5,26	10,03	9,75	197—198
47,85	5,81	5,68	9,52	9,30	169—170
47,85	5,52	5,68	9,07	9,30	179—180
		17.50		J	

Таблица 3

	450					A	Н	а л	Н 3,	0/	0	
		0	4		Carl	C	I	1	1	V	S	
F	2	BMXOL 0	т. пл., °С	Молекулярная формула	найдено	вычис-	найдено	вычис-	найдено	вычис-	найдено	вычис-
C	СН3	86,5	229—230	C.H10BrN3O2S	35,62	35,53	3,18	3,31	13,62	13,81	10,23	10,54
C	C ₂ H ₅	81,7	231—232	C10H12BrN3O2S	37,50	37,74	3,61	3,80	13,04	13,20	10,20	10,39
C	3H4	60,1	213-214	C11H14BrN3O2S	39,51	39,76	4,31	4,24	12,42	12,64	9,98	9,65
<i>u30-</i> C	C ₃ H ₇	90,3	195-196	C11H14BrN3O3S	39,83	39,76	4,18	4,24	12,85	12,64	9,37	9,65
- 0	C ₄ H _e	73,5	187—188	C12H18BrN3O1S	41,74	41,62	4,53	4,65	12,26	12,13	9,51	9,26
изо-С	C ₄ H ₉	68,0	201-202	C12H16BrN3O2S	41,49	41,62	4,81	4,65	12,09	12,13	9,59	9,26
				C13H18BrN3O2S								8,90
				C13H18BrN3O3S								8,90

Таблица 4.

1110	*		- 2/2 -		A	н а	л	н з,	º/o		
	0,0	2 3	M	C		1	i		V	S	
<u>R</u>	Выход, 0	Т. пл., °С	Молекулярная формула	найдено.	вычис-	найдено	вычис-	найдено	вычис- лено	найдено	вычис-
CH ₃	91,7	214215	C ₁₂ H ₁₃ BrClN ₃ O ₂ S	37,97	38,06	3,32	3,45	10,94	11,09	8,71	8,46
C ₂ H ₃	90,8	203-204	C ₁₃ H ₁₅ BrClN ₃ O ₂ S	39,52	39,75	3,91	3,84	10,37	10,70	7,98	8,16
			C,4H,7BrCIN3O2S								
изо-С ₃ Н ₇	88,8	134135	C14H17BrCIN3O2S	41,48	41,34	4,11	4,21	10,07	10,33	7,96	7,88
			C ₁₅ H ₁₉ BrClN ₃ O ₂ S								
изо-С,Н,	83,3	205-206	C ₁₅ H ₁₉ BrClN ₂ O ₂ S	42,59	42,81	4,42	4,55	9,92	9,98	7,87	7,62
	_		C16H21BrCIN3O2S			_	_		_		
		_	C ₁₆ H ₂₁ BrCIN ₂ O ₂ S			_	_			7,69	7,37

Таблица 5

**	-			P	н а	л н	3,	0/0	
	%		4.		<u>C</u>	Н		CI	
R	Выход, о	Т. пл., °С	Молекулярная формула	найдено	вычис-	найдено	вычис- лено	найдено	вычис-
CH,	95,4	156—157	C ₁₆ H ₁₅ BrN ₂ O ₃	53,11	52,90	3,91	4,16	7,58	7,71
C,H,	95,3	146-147	C17H17BrN2O3	54,32	54,12	4,67	4,54	7,14	7,42
C ₃ H ₄	70,0	154—155	C ₁₈ H ₁₉ BrN ₂ O ₃	55,51	55,25	4,86	4,89	7,11	7,16
u30-C₃H₁	54,5	160-161	C ₁₈ H ₁₉ BrN ₂ O ₃	55,07	55,25	4,60	4,89	7,24	7,16
C ₄ H _e	60,0	143—144	C ₁₉ H ₂₁ BrN ₂ O ₃	56,36	56,30	5,43	5,22	6,64	6,91
изо-С4Н,	83,3	148-149	C19H21BrN2O3	56,57	56,30	5,52	5,22	6,89	6,91
C ₅ H ₁₁	76,1	133-134	C20H23BrN2O3	57,43	57,28	5,71	5,52	6,92	6,68
. u30-C ₅ H ₁₁	52,0	155—156	C ₂₀ H ₂₂ BrN ₂ O ₃	57,01	57,28	5,70	5,52	6,52	6,68

2_ԱԼԿՕՔՍԻ–5_ԲՐՈՄԲԵՆԶՈՑԱԹԹՈՒՆԵՐԻ ՀԻԴՐԱԶԻԴՆԵՐ, 4-ՄԵԹԻԼԹԻԱԶՈԼԻԼ–2–ՀԻԴՐԱԶԻԴՆԵՐ, ԹԻՈՍԵՄԻԿԱՐԲԱԶԻԴՆԵՐ ԵՎ 4–ԱԼԿՕՔՍԻԲԵՆԶԱԼՀԻԴՐԱԶԻԴՆԵՐ

2. U. ZUPABUL L V. V. PALTUANAU

Udhnhnid

Հակաբակտերիալ հատկություններն ուսումնասիրելու նպատակով սին-Թեզված են 2-ալկօջսի-Ճ-բրոմբենզոլաթթուների հիդրազիդներ, թիոսեմիկարբազիդներ, 4-մեթիլթիազոլիլ-2-հիդրազիդներ և 4-ալկօջսիբենզիլհիդրազիդներ, 2-Ալկօջսիբենզոլաթթուների էսթերների բրոմումով ստացված են նրանց Ճ-բրոմածանցյալները, որոնց փոխագումը հիդրազինհիդրատի հետ հանգեցնում է համապատասխան հիդրազիդների։ Վերջիններիս հիդրությորիդներն ամոնիումի ռոդանիդի հետ տաջացնելիս առաջացնում են Թիոսեմիկարբազիդներ։

4-Մեթիլթիազոլիլ-2-հիդրագիդները սինթեղված են թիոսեմիկարբազիդների և քլորացետոնի, իսկ 4-ալկօքսիբենզալհիդրագիդները՝ 4-ալկօքսիբենզալդեհիդների և թթուների հիդրազիդների փոխազդմամբ,

ЛИТЕРАТУРА

M. L. Tamayo, G. Alonso, R. Madranero, Bull. Soc. Chim. France, 1020 (1962);
 1024 (1962); G. Alonso, Rev. Real. Acad. Cienc. Exact. Fis. Nat. (Madrid), 57, 293 (1963); [C. A., 60, 9259d (1964)].

- 2. E. Bulka, H. D. Dinse, Z. Chem., 5 (10), 376 (1965) [C. A., 64, 3514g (1966)]; P. M. Parikh, C. V. Delivoli, Indian J. Chem., 3 (1), 45 (1965); [C. A., 62, 14651b (1965)]; H. Taniyama, Y. Tanaka, H. Uchida, J. Pharm. Soc. Japan, 75, 382 (1955); [C. A., 50, 2549d (1956)]; Испанский пат., 277.155 (1962); [C. A., 60, 1761d (1964)].
- 3. А. А. Ароян, Л. А. Восканян, В. В. Дарбинян, Арм. хим. ж., 20, 114 (1967). А. А. Ароян, М. А. Ирадян, Н. С. Большакова, А. В. Арутюнян, там же, 21, 328 (1968).
- 4. Peratoner, Gazz. chim. Ital., 16, 403, 407, 414, 415 (1886); [Bl., 10, 109].
- А. А. Ароян, Л. В. Хажакян, А. В. Арутюнян, Г. Л. Григорян, Изв. АН АрмССР, ХН, 17, 176 (1964).
- 6. Peratoner, Gazz. chim. Ital., 16, 405 (1886); [Bl., 10, 108].

XXII, № 7, 1969

УДК 542.91+546.172

ПОЛУЧЕНИЕ И НЕКОТОРЫЕ ПРИМЕНЕНИЯ О-ЗАМЕЩЕННЫХ ГИДРОКСИЛАМИНОВ

А. А. АРОЯН

Институт тонкой органической химии АН Армянской ССР Поступило 22 III 1968

Взаимодействием N-оксифталимида с замещенными бензилхлоридами в присутствии триэтиламина и поташа синтезированы N-бензилоксифталимиды, гидразинолизкоторых приводит к соответствующим О-замещенным гидроксиламинам. Последние применены в синтезах уретанов, амидов и производных гуанидина.

Табл. 3, библ. ссылок 11.

Антибактериальные свойства циклосерина (I) и канаванина (II), которые можно рассматривать как производные гидроксиламина, стимулировали исследования аналогичных соединений [1, 2].

В настоящее время синтезированы не только гидроксиламинопроизводные аминокислот, но и многие другие соединения, содержащие оксиаминную группировку. Биологические испытания показали перспективность последних. В литературе есть сообщения об антибактериальной, диуретической, антиревматической, гипогликемической, противосудорожной, канцеролитической активности производных гидроксиламина [3]. Ряд работ посвящен способности последних снижать количество холестерина в крови [4].

Общепринятым методом получения О-замещенных гидроксиламинов является взаимодействие галоидопроизводных органических соединений с эфирами оксикарбаминовой кислоты в присутствии щелочи или алкоголятов с дальнейшим гидролизом полученных О-замещенных оксиуретанов соляной кислотой:

HONHCOOR
$$\xrightarrow{R'X}$$
 R'ONHCOOR \xrightarrow{HCI} R'ONH₃.

Однако, как показали наши опыты, а также опыты других исследователей [5, 6], "уретановый метод" не дает удовлетворительных результатов при получении О-алкоксибензилзамещенных и других аналогичных производных гидроксиламина. Это нужно объяснить тем, что исходные алкоксибензилхлориды в спиртовой среде в присутствии щелочи или алкоголятов легко образуют алкоксибензилэтиловые эфиры. С другой стороны, в результате большой реакционной способности алкоксибензилхлоридов происходит одновременное замещение на алкоксибензильную группу водородных атомов и у кислорода, и у азота оксиуретанов.

Ранее нами был разработан способ синтеза О-(4-алкоксибензил)гидроксиламинов, обеспечивающий высокие выходы и исключающий образование О,N-замещенных производных, часто побочно получающихся при уретановом методе [7].

В настоящем сообщении описывается синтез ряда О-замещенных бензилгидроксиламинов, содержащих в ароматическом ядре различные радикалы.

Синтез этих соединений проведен согласно следующей схеме:

CO NOH+CICH₂

$$\begin{array}{c}
R \\
CO \\
R'
\end{array}$$
III R=2-CH₃O, R'=5-Br;
IV R=2-C₂H₅O, R'=5-Br;
V R=4-CH₃O R'=3-COOCH₃;
VI R=2-CH₃O, R'=CH₂COOCH₃;

H₂NOCH₂

VII R=2-CH₃O, R'=5-Br;

VIII $R=2-C_2H_5O$, R'=5-Br.

О-Замещенные N-оксифталимиды получены взаимодействием оксифталимида с замещенными бензилхлоридами в среде диметилформамида в присутствии триэтиламина. Вместо последнего можно использовать поташ, однако, при этом выход продукта снижается на 5-7%.

Вторая стадия синтеза проведена в смеси метанола и диметилформамида действием гидрата гидразина. При этом сначала получается замещенный фталилгидразид, который в дальнейшем разлагают нагреванием с соляной кислотой. Выход О-алкоксибромбензилгидроксиламинов (VII, VIII) составляет $55-60^{\circ}/_{\circ}$. Однако, при гидрогенолизе V и VI получаются только следы соответствующих О-замещенных гидроксиламинов. Это, по-видимому, нужно объяснить тем, что в присутствии соляной кислоты одновременно с гидразинолизом происходит также гидролиз эфирной группы.

Полученные О-(4-алкоксибензил)- и О-(2-алкокси-5-бромбензил)-гидроксиламины использованы в синтезе уретанов (IX), ацетилпроизводных (X) и замещенных гуанидинов (XI), представляющих интерес для биологических испытаний.

R=CH₂O, C₂H₅O, C₃H₁O, C₄H₆O; R'=H, Br.

Первые из них синтезированы взаимодействием соответствующих О-замещенных гидроксиламинов или их хлоргидратов с метиловым эфиром хлоругольной кислоты в присутствии едкого натра в среде эфира.

Ацетилпроизводные получены 4-часовым нагреванием О-замещенных гидроксиламинов с избытком уксусного ангидрида. Как уретаны, так и ацилпроизводные получаются с высокими выходами и представляют собой устойчивые, белые кристаллические вещества со сравнительно низкой температурой плавления; хорошо растворяются в спирте, ацетоне, эфире. Их можно перекристаллизовывать из 50% - ного этанола или метанола.

Замещенные гуанидины синтезированы взаимодействием производных гидроксиламина с сульфатом S-метилизотиомочевины в водноспиртовой среде. Иногда они получаются в виде масел, которые при стоянии кристаллизуются.

Нам не удалось метилировать О-(4-алкоксибензил)гидроксиламины действием формалина и муравьиной кислоты или действием йодистого метила в присутствии бикарбоната натрия, как это описано для получения β-(диметиламинокси)этанола [8, 9]. Не удалось также цианэтилировать замещенные гидроксиламины акрилонитрилом в условиях, описанных для аминов или в присутствии триэтиламина.

Экспериментальная часть

N-(2-Метокси-5-бромбензилокси)фталимид (111). К раствору 16,3 г (0,1 моля) N-оксифталимида в 75 мл свежеперегнанного диметилформамида приливают 10,1 г (0,1 моля) триэтиламина, а затем 28,2 г (0,12 моля) 2-метокси-5-бромбензилхлорида [10]. Смесь при перемешивании нагревают на водяной бане в течение 4—5 часов. В конце указанного времени реакционная смесь обесцвечивается и образуется осадок гидрохлорида триэтиламина. Еще горячую реакционную массу переливают в стакан, содержащий 300—400 мл воды, оставляют 2—3 часа для завершения кристаллизации, отсасывают, промывают водой и перекристаллизовывают из этанола. Выход 32,5 г (89,4%); т. пл. 155—156°. Найдено %: С 50,45; Н 3,70; N 4,16. С16Н12ВгNO4. Вычислено %: С 50,29; Н 3,61; N 3,87. Вместо триэтиламина можно использовать 13,8 г (0,1 моля) хорошо высущенного и тщательно измельченного карбоната калия. При этом сначала обра-

зуется красный осадок калиевого производного оксифталимида. Выход

80—85°/₀.

N-(2-Этокси-5-бромбензилокси)фталимид (IV) получен из 16,3 г (0,1 моля) N-оксифталимида, 10,1 г (0,1 моля) триэтиламина и 29,9 г (0,12 моля) 2-этокси-5-бромбензилхлорида в среде 75 мл диметилформамида. Выход $\mathcal{E}_{2,7}$ г (87,0%); т. пл. $141-142^\circ$. Найдено $\mathcal{E}_{3,7}$ С 54,65; Н 3,79; N 4,09, $C_{12}H_{14}BrNO_4$. Вычислено \mathcal{E}_{0} : С 54,28; Н 3,75; N 3,72.

N-(3-Kap6метокси-4-метоксибензилокси) фталимид (V) получен из 8,15 г (0,05 моля) N-оксифталимида, 5,05 г (0,05 моля) триэтиламина и 11,7 г (0,055 моля) метилового эфира 2-метокси-5-хлорметилбензойной кислоты (II) в среде 35 мл диметилформамида. Выход 12,5 г (73,3%); т. пл. 169—170° (из смеси диметилформамид—этанол 1:3). Найдено %: С 63,25; H 4,56; N 4,32. $C_{18}H_{15}NO_{6}$. Вычислено %: С 63,34; H 4,43; N 4,10.

N-(2-Mетокси-5-карбметоксиметилбензилокси) фталимид (VI) получен из 8,15 г (0,05 моля) N-оксифталимида, 5,05 г (0,05 моля) триэтиламина и 12,6 г (0,055 моля) метилового эфира 4-метокси-3-хлорметилфенилуксусной кислоты в среде 35 мл диметилформамида. Выход 10,7 г (54,2%); т. пл. 103—105° (из абсолютного этанола). Найдено %: С 64,55; H 5,03; N 4,12. $C_{18}H_{17}NO_{6}$. Вычислено %: С 64,22; Н 4,82; N 3,96.

O-(2-Метокси-5-бромбензил)гидроксиламин (VII). 18,1 г (0,05 моля) N-(2-метокси-5-бромбензилокси)фталимида при перемешивании и нагревании на водяной бане растворяют в смеси 30 мл диметилформамида и 80 мл метанола. Затем удаляют водяную баню и осторожно приливают 6,25 г (0,1 моля) 80% ного гидрата гидразчна. Перемешивание и нагревание на водяной бане продолжают еще 10 минут и оставляют на ночь. К полученному обильному осадку приливают около 18 мл концентрированной соляной кислоты (рН 1-2) и при перемешивании кипятят на водяной бане в течение 30 минут. Кипящую реакционную смесь отсасывают, из фильтрата отгоняют метанол в вакууме водоструйного насоса и остаток экстрагируют эфиром. К водному слою приливают 35—40 мл 25% -ного раствора едкого натра и тщательно экстрагируют эфиром. Эфирный экстракт высушивают сульфатом натрия и после отгонки растворителя остаток перегоняют в вакууме. Т. кип. 125—137°/1 мм; т. пл. 40—42°. Выход 6,9 г (60°/0). d²⁰ 1,4643; n²⁰ 1,5750. MR_D найдено 52,37; вычислено 51,62. Найдено %: С 41,27; Н 4,12; N 6,25. С_вН₁₀ВгNО_в. Вычислено %: С 41,4; H 4,34; N 6,03.

Гидрохлорид, полученный в растворе абсолютного эфира действием эфирного раствора хлористого водорода, плавится при 184—186°.

O-(2-Этокси-5-бромбензил)гидроксиламин (VIII) получен из 18,8 г (0,05 моля) N-(2-этокси-5-бромбензилокси)фталимида, 6,25 г (0,1 моля) $80^{\circ}/_{\circ}$ -ного раствора гидрата гидразина в среде смеси 30 мл

диметилформамида и 80 мл метанола. Выход 6,9 г (56,1%); т. кип. $141-143^{\circ}/1$ мм. d_{1}^{20} 1,4420; n_{D}^{20} 1,5718. MR_D найдено 56,14; вычислено 56,24. Найдено %: С 44,25; Н 5,12; N 5,83. С₉Н₁₂ВгNО₂. Вычислено %: С 43,92; Н 4,91; N 5,68. Хлоргидрат плавится при 196—197°

О-(4-Алкоксибензил)- и О-(2-алкокси-5-бромбензил)-N-карбметоксигидроксиламины (IX). К раствору 0,02 моля замещенного бензилоксиамина в 75 мл эфира при перемешивании и охлаждении водой приливают 0,025 моля метилового эфира хлоругольной кислоты, а затем 15 мл 20% ного раствора едкого кали. Смесь перемешивают при комнатной температуре в течение 3—4 часов, отделяют водный слой, а эфирный высушивают сульфатом натрия. После отгонки растворителя замещенный карбамат получается в виде масла, которое кристаллизуется при растирании стеклянной палочкой. Выходы и данные элементарного анализа синтезированных соединений приведены в таблице 1.

Таблица 1

100		1000	1000			Ан	а л	н з,	°/ ₀	
			0/0		C		Н		N	
R	R'	Т. пл., °С	Выход, о	Молекулярная формула	найдено	вычис-	найдено	вычис-	найдено	вычис- лено
4-CH ₂ O	н	67—69	88,4	C ₁₀ H ₁₃ NO ₄	57,11	56,86	6,35	6,20	6,82	6,63
4-C2H5O	Н	40-42	87,5	C11H15NO4	58,92	58,65	7,02	6,71	6,45	6,21
4-C ₃ H ₇ O	Н	6465	83,6		59,86	60,23	7,08	7,16	5,54	5,85
4-C4H,0*	Н	29-31	80,5	C13H19NO4	61,53	61.64	7,38	7,56	5,32	5,53
2-CH ₃ O	5-Br	77-79	84,3	C ₁₀ H ₁₂ BrNO ₄	41,20	41,40	4,29	4,17	4,95	4,83
2-C ₂ H ₅ O	5-Br	6466	81,5	C ₁₁ H ₁₄ BrNO ₄		43,44	4,85	4,64	4,72	4,60
				12 1		-				

^{*} Т. кип. 175—177°/1 мм.

O-(4-Aлкоксибензил)- и O-(2-aлкокси-5-бромбензил)-N-ацетилгидроксиламины (X). Смесь 0,02 моля замещенного бензилоксиамина и 10 мл уксусного ангидрида нагревают на водяной бане в течение 3-4 часов. Затем реакционную смесь вливают в стакан, содержащий 40-50 мл воды. Полученные кристаллы отсасывают, промывают водой и перекристаллизовывают из $50^{0}/_{0}$ этанола (табл. 2).

4-Алкоксибензил- и 2-алкокси-5-бромбензилоксигуанидины (XI). Смесь 0,01 моля О-замещенного гидроксиламина, 0,01 моля сульфата S-метилизотномочевины и 25 мл 50% - ного этанола нагревают на водяной бане в течение 8—10 часов. Затем отгоняют этанол, отсасы-

вают полученный осадок и перекристаллизовывают из 50% ного этанола. Иногда замещенные гуанидины получаются в виде масел, которые при стоянии кристаллизуются (табл. 3).

Таблица 2

	-				100	Ан	а л	и з,	º/o	
			0/0		С		Н		N	
R	R'	Т. п л ., °С	Выход, 0	Молекулярная формула	найдево	вычис-	найдено	вычис-	найдено	вычнс-
4-CH ₃ O	н	88—89	93,4	C ₁₀ H ₁₃ NO ₃	61,63	61,53	6,44	6,71	7,55	7,17
4-C2H3O	Н	84—85	92,5	C11H15NO3	62,89	63,15	7,13	7,23	6,86	6,69
4-C3H7O	Н	64-65	94,2	C12H11NO2	64,56	64,55	7,40	7,68	6,46	6,27
4-C4HO	Н	75—76	90,6	C ₁₃ H ₁₉ NO ₃	66,15	65,79	8,27	8,07	5,72	5,90
2-CH ₃ O	5-Br	98—99	91,5	C ₁₀ H ₁₃ BrNO ₃	44,05	43,82	4,62	4,41	5,32	5,11
2-C ₂ H ₄ O	5-Br	99—101	90,2	C ₁₁ H ₁₄ BrNO ₃	46,12	45,85	5,15	4,89	5,10	4,86

Таблица 3

			4		A	нал	и з,	0/0
- 2	8 6		0/0	The state of the s	ì	V	S	
R	R'	Т. пл., °С	Выход, 0	Молекулярная формула	найдено	вычис- лено	найдено	вычис- лено
4-CH ₃ O	Н	141—143	65,0	C ₀ H ₁₃ N ₃ O ₂ ·0,5H ₂ SO ₄	17,48	17,20	6,72	6,56
4-C ₂ H ₅ O	Н	174—175	50,4	C10H15N3O2.0,5H2SO4	16,52	16,27	6,54	6,21
4-C ₃ H ₇ O	Н	140—141	44,0	C11H17N3O2.0,5H2SO4	15,72	15,43	6,11	5,88
4-C4HO	Н	108—109	50,0	C,2H,19N3O,0,5H2SO4	15,02	14,68	5,81	5,59
2-CH,O	5-Br	219—220	75,0	C,H12BrN3O2.0,5H2SO4	13,22	13,00	5,22	4,96
2-C ₂ H ₅ O	5-Br	195—196	71,1	C ₁₀ H ₁₄ BrN ₃ O ₃ ·0,5H ₃ SO ₄	12,25	12,46	5,10	4,75

O-ՏԵՂԱԿԱԼՎԱԾ ՀԻԴՐՈՔՍԻԼԱՄԻՆՆԵՐԻ ՍՏԱՑՈՒՄԸ ԵՎ ՆՐԱՆՑ ՄԻ ՔԱՆԻ ԿԻՐԱՌՈՒԹՅՈՒՆՆԵՐԸ

2. u. zurnsut

Udhnhnid

սին Թեզի համար։

ЛИТЕРАТУРА

- 1. R. P. Buhs, I. Putter, J. Am. Chem. Soc., 77, 2344 (1955).
- 2. D. D. Nyberg, B. E. Christensen, J. Am. Chem. Soc., 79, 1222 (1957).
- 3. A. F. McKey, D. L. Garmalse, G. Y. Parls, S. Gelblum, Can. J. Chem., 38, 343 (1960); P. Mamalis, J. Green, D. McHale, J. Chem. Soc., 229 (1960); E. Testa, B. J. R. Nicolaus, L. Martoni, G. Pagani, Helv. Chim. Acta, 46, 766 (1963); B. J. R. Nicolaus, G. Pogani, E. Testa, Tam me, 45, 1381 (1962); G. Pifferi, E. Testa, Tetrahedron, 22, 2107 (1966); Пат. США, 3.262.978 [C. A., 66, 2325d (1967)]; P. Mamalis, L. Jeffries, S. A. Rice, M. J. Rix, D. J. Outred, J. Med. Chem., 8, 684 (1965).
- B. J. Ludwig, F. Dürsch, M. Auerbach, K. Tomaczek, F. M. Berger, J. Med. Chem., 10, 556 (1967).
- Бельгийск. пат. 612.879 (1962) [С. А., 57, 16494d ((1962)].
- 6. Ю. В. Маркова, Н. Г. Остроумова, Л. Н. Зенкова, М. Н. Шукина, ЖОрХ, 2, 239 (1966).
- 7. А. А. Ароян, Авт. свид. 1131845/33-4 14.11.1967 г.
- B. J. R. Nicolaus, L. Mariani, G. Pagani, G. Maffil, E. Testa, Ann. Chim. (Rome), 53 (3), 281 (1963) [C. A., 59, 9851f (1963)].
- 9. B. J. R. Nicolaus. G. Paganl, E. Testa, Helv. Chim. Acta, 45, 858 (1962).
- 10. А. А. Ароян, Арм. хим. ж., 19, 226 (1966).
- 11. А. А. Ароян, Изв. АН АрмССР, ХН, 16, 373 (1963).

XXII, № 7, 1969

УДК 541.69+547.853.3

производные пиримидина

X. СИНТЕЗ АМИНО- И ГИДРАЗИНОПРОИЗВОДНЫХ 2-МЕТИЛМЕРКАПТО--5-(л-АЛКОКСИБЕНЗИЛ)-6-МЕТИЛПИРИМИДИНОВ И ИССЛЕДОВАНИЕ ИХ ПРОТИВООПУХОЛЕВОЙ АКТИВНОСТИ

А. А. АРОЯН, М. С. КРАМЕР, Б. Т. ГАРИБДЖАНЯН и Г. М. СТЕПАНЯН

Институт тонкой органической химии АН Армянской ССР

Поступило 25 VII 1968

Взаимодействием 2-метилмеркапто-4-хлор-5-(п-алкоксибензил)-6-метилпиримидинов со вторичными аминами и гидразингидратом получены, соответственно, 4-аминои 4-гидразинопроизводные пиримидинов.

Изучена противоопухолевая активность гидрохлоридов 2-метилмеркапто-4-амино-5-(л-алкоксибензил)-6-метилпиримидинов.

Табл. 3, библ. ссылок 4.

В предыдущем сообщении [1] нами описан синтез 2-амино-, 2-меркапто-, 2-алкилмеркапто-4-окси-5-(п-алкоксибензил)-6-метилпи-римидинов и их производных. Продолжая исследования в области синтеза производных пиримидина, для исследования их противоопу-холевой активности мы задались целью синтезировать соединения собщей формулой

 $R=CH_3$, C_2H_5 , C_3H_7 , $u30-C_3H_1$, C_4H_9 , $u30-C_4H_9$.

$$R'=N(CH_3)_2$$
, $N(C_2H_5)_2$, N

Кроме этого, было интересно исследовать взаимодействие 4-хлор-пиримидинов с гидразингидратом, так как в литературе описан [2] пример непосредственного замещения меркапто-группы на гидразиногруппу в 2-метилмеркапто-4-окси-6-аминопиримидине. Действием: 82% - ного гидрата гидразина на 2-метилмеркапто-4-хлор-5-(n-алкокси-бензил)-6-метилпиримидины получены вещества с четкой температурой плавления. Получить гидрохлориды этих соединений не удалось.

Данные элементарного анализа, а также чистота этих соединений, проверенная хроматографией в тонком слое окиси алюминия в системе-

эфир—петролейный эфир (1:3), свидетельствуют о том, что в этих условиях гидразин замещает только хлор в четвертом положении, а метилмеркапто-группа остается неизменной.

$$\begin{array}{c|c} C1 & CH_2 & \hline \\ CH_3S & CH_2 & \hline \\ CH_3S & CH_2 & \hline \\ CH_3S & CH_2 & \hline \\ CH_2 & CH_2 & CH_2 & \hline \\ CH_2 & CH_2 & CH_2 & \hline \\ CH_2 & CH_$$

Аналогичные данные на другом примере наблюдали Хирао, Фиджимото, Кото 13].

Синтез 2-метилмеркапто-4-амино-5-(n-алкоксибензил)-6-метилпиримидинов осуществлен взаимодействием 2-метилмеркапто-4-хлор-5--(n-алкоксибензил)-6-метилпиримидинов со вторичными аминами в среде этанола.

Нагревание исходных продуктов в автоклаве 5—6 часов при 165—170° дало возможность осуществить синтез аминопроизводных с 60—70°/₀ выходами.

Полученные вещества — густые жидкости с высокими температурами кипения; некоторые из них при стоянии кристаллизуются. Действием эфирного раствора хлористого водорода на 4-аминопиримидины были получены кристаллические гидрохлориды.

Изучение противоопухолевой активности гидрохлоридов 4-аминопиримидинов проводили в терапевтических опытах на крысах и мышах с перевивными опухолями (Саркомы 45, М-1, 180 Крокера).

Через 5—7 дней после перевивки опухоли животных взвешивали и разбивали на опытную и контрольные группы. Подопытные животные получали препараты внутрибрющинно 1 раз в день в течение 8—12 дней: мыши в дозе 150 мг/кг (5—6 раз), крысы—100 мг/кг (8—10 раз). На 13—17 день после перевивки опухоли животных забивали и определяли вес тела и вес опухоли. О влиянии препарата на рост опухоли судили по проценту торможения $-K_{\rm a}$: оценку общего действия на организм производили по изменению веса подопытных животных по сравнению с контролем $-K_{\rm B}$ [4]. Всего проведено 96 опытов на 750 животных.

Из представленной таблицы 1 видно, что в ряду 2-метилмеркапто-4-диметиламино-5-(п-алкоксибензил)-6-метилпиримидинов все соединения, за исключением второго и четвертого, проявляют противоопуходевую активность в отношении саркомы 45, которая выражаетея в ингибировании роста этой опухоли на 30—59°/0. Замена диметиламино-группы в четвертом положении пиримидинового кольца диэтиламино-пиперидил-, морфолил-группами почти не изменяет активности полученных соединений.

Из испытанных 24 препаратов 20 в отношении саркомы 45 проявляли угнетаюшее действие, а активность 2-метилмеркапто-4-диметиламино- и 4-пиперидил-5-(n-метоксибензил)-6-метилпиримидинов была более 60°/а.

Анализируя результаты, полученные при лечении саркомы М-1, следует отметить, что ни один из указанных препаратов не проявлял противоопухолевого эф-

фекта, а препараты 4, 13—19 существенно стимулировали рост опухоли. Исследованные соединения обнаружили также некоторую противоопухолевую активность в отношении саркомы 180-Крокера. Эта опухоль оказалась чувствительной к соединениям 1. 2, 4, 6 (производные 2-метилмеркапто-4-диметиламино-5-(п-алкоксибензил)-6-метил-пиримидинов) и 13—17 (производные 4-пиперидил-пиримидинов).

Остальные соединения в отношении опухоли Крокера противоопухолевых свойств не проявляли.

Таблица 1
Сводные данные о противоопухолевой активности 2-метил-меркапто-4-диметиламино-,
4-диэтиламино-, 4-пиперидил- и 4-морфолил-5-(п-алкоксибензил)-ппримидинов

1 2 3	100 100 100	кома <i>К</i> а ++ 0	45 Kn +7	са доза, мг/кг	ркома Ка	.М-1 .Кп	сарн доза, мг/кг	Ka	180
1 2 3 1 1 3 1 1 1 1 1 1 1 1 1 1 1 1 1 1	100 100 100	++		жг/кг	Ka	Кп		K	
2 3	100		+7	100					Κп
3 1	100	0		100	0	+9	150	+	+3
			+17	100	0	-9	150	+	+10
4 1		+	+7	100	0	-10	150	0	-12
	00	0	+14	100		-10	150	+	+3
	00	+	+13	100	0	-5	150	0	0 -
6 1	00	+	-1	100	0	6	150	+	+2
7 1	00	+	—5	100	0	-10	150	0	-12
8 1	00	0	-11	100	0	0	150	0	—10·
9 1	00	0	-10	100	0	-9	150	0	-2
10 1	00	+	—13	100	0	-9	150	0	-2
11 1	.00	+	-18	100	0	-4	150	0	—9 ·
12 1	.00	7	-14	100	0	+2	150	0	—6
13 1	.00	++	-4	100		0	150	+	+3.
14 1	00	+	-3	100	<u> </u>	-1	150	+	+13
15 1	.00	+	-2	100		-4	150	+	0
16 1	00	+	-6	100	_	-9	150	+	+6
17 1	00	+	-10	100	*	-10	150	+	-2
18 1	00	+	-7	100		-10	150	0	-4'
19 1	00	+	-2	100	_	—9	150	0	-10
20 1	00	+	—7	100	0	+5	150	0	0
21 1	00	+	+2	100	0	-2	150	0	-9
22 1	00	+	-4	100	0	_9	150	0	—18
23 1	00	+	-5	100	0	-3	150	0	-10.
24 1	00	+	+2	100	0	-4	150	0	-18

Условные обозначения: K_{\bullet} — коэффициент активности, со знаком + означает торможение роста опухоли; K_{Π} — коэффициент прироста, со знаком + указывает на большую прибавку в весе или на меньшее похудание, со знаком — на меньшую прибавку в весе животных подопытной группы или на большее их похудание за время опыта, по сравнению с контролем.

0 — отсутствие эффекта; + (—) — торможение (стимуляция) роста опухоли на $30-59^{\circ}/_{\circ}$; ++ (— —) — то же на $60-79^{\circ}/_{\circ}$; +++ (— — —) — то же на $80-95^{\circ}/_{\circ}$; ++++ (— — —) — то же более чем на $95^{\circ}/_{\circ}$.

Таким образом, из использованных штаммов к химиотерапевтическому воздействию указанных пиримидиновых производных относительно чувствительными оказались саркомы 45 и 180 Крокера. В основном, активность соединений не превышает 30—50%.

Экспериментальная часть

2-Метилмеркапто-4-гидразино-5 - (п-алкоксибензил) - 6-метилпиримидины. Смесь 0,01 моля 2-метилмеркапто-4-хлор-5-(п-алкоксибензил)-9-метилпиримидина и 1,5 мл 82% - ного гидрата гидразина в 50 мл этилового спирта нагревают с обратным холодильником 2—3 часа на водяной бане, после чего оставляют на ночь. Выпавший осадок гидрохлорида гидразина отфильтровывают, а из фильтрата отгоняют растворитель. Маслянистый остаток закристаллизовывается после прибавления абсолютного эфира. Кристаллы отфильтровывают и перекристаллизовывают из этанола (табл. 2).

Таблица 2

	10,00	- 3		A				
R	Выхол. 0/0			1	7	143		
		Т. пл., °С	Молекулярная формула	найдено	вычис-	найдено	вычис-	R _f
011	or r	100 100		10.40	1 .0 00	10.00		20 20
CH3	65,5	129—130	C ₁₄ H ₁₈ N ₄ OS	19,42	19,29	10,88	11,04	0,51
C ₂ H ₅	70,5	156—157	C ₁₅ H ₂₀ N ₄ OS	18,58	18,40	10,19	10,53	0,53
C ₂ H ₂	67,5	101-102	C16H22N4OS	18,00	17,59	10,26	10,06	0,60
изо-С _з Н ₇	62,8	140-141	C18H22N4OS	17,91	17,59	9,50	10,06	0,46
C ₄ H ₀	50,0	118—119	C17H24N4OS	17,14	16,85	8,87	9.64	0,62
изо-С ₄ H _•	58,6	104—105	C17H24N4OS	16,50	16,85	9,47	9,64	0.58

2-Метилмеркапто-4-амино-5-(п-алкоксибензил)-6-метилпиримидины. Смесь 0,01 моля 2-метилмеркапто-4-хлор-5-(п-алкоксибензил)-6-метилпиримидина и 0,03 моля вторичного амина в 50 мл этилового спирта нагревают в автоклаве 5—6 часов при 165—170°. После удаления растворителя к остатку прибавляют 40 мл воды и экстрагируют эфиром. Соединенные эфирные экстракты промывают 5%-ным раствором едкого натра, водой и высушивают над безводным сульфатом натрия. После отгонки эфира полученный продукт перегоняют в вакууме.

Гидрохлориды получают взаимодействием 2-метилмеркапто-4амино-5-(*п*-алкоксибензил)-6-метилпиримидинов с эфирным раствором хлористого водорода в среде абсолютного эфира (табл. 3).

Таблица 3

						Анализ, °/0					
	4			Молекулярная	A	Т. пл., °С гидрохлорнда					
	D.	0/0	Т. кип.,			V			ပွင့်		
.76 R	R'	Выход,	°C/MM	формула	호 _	найдено	÷	найдено	O.X.		
ALC: N	200	Sux	0.00		вычис-	alin	вычис-	la Ka	иди		
		1			= =	==	95	-	F-2		
1 CH ₃	N(CH ₃) ₂	73,7	207—210/1	C16H21N3OS	13,84	14,13	10,56	10,29	152—153		
2 C ₂ H ₁		89,1	210-215/1	C ₁₇ H ₂₃ N ₂ OS	13,23	13,50	10,10	10,28	165—166		
3 C₃H₁		75,6	217—220/1	C ₁₈ H ₂₅ N ₃ OS	12,67	12,30	9,67	9,57	172—173		
4 изо-СзН			214-215/1		12,67	12,35	9,67	_	176—177		
5 C ₄ H ₁		82,3	230-235/1	C19H27N3OS	12,16	12,27	9,28	9,50	169—170		
6 u30-C4H			220—225/1		12,16				164—165		
7 CH ₃	N(C ₂ H ₅)	, 60,0	204-206/1	C ₁₈ H ₂₅ N ₃ OS	12,67			7 1 1 1	142—143		
8 C ₂ H ₁			215-216/1		12,16				153—155		
9 C ₃ H ₇			225—227/1		12,68				162—163		
10 u3o-C ₃ H ₇			230—232/1		11,68			8,45	132—134		
11 C ₄ H ₉			240-242/1		11,25				136—137		
12 u3o-C ₄ H ₉		80,0	235—238/1	C ₂₁ H ₃₁ N ₃ OS	11,25	11,38	8,58	8,87	153—155		
13 CH ₃	N	59,4	215—217/1	C ₁₀ H ₂₅ N ₃ OS	12,23	12,31	9,33	9,34	85—86		
14 C ₂ H ₈		87 B	225-228/1	C H N OS	11 75	10 11	9 06	0.21	100 100		
15 C ₃ H ₇	•		235—240/1		11,75 11,31		_		138—139 110—112		
16 u30-C ₃ H ₇			233—235/1		11,31						
17 C ₄ H ₉		1 1	238—242/1		10,89				145—146 162—163		
18 uso-C ₄ H ₉			240-244/1		10,89				155—156		
10,100-04.19	77	1.0,0	210-211/1	C331131113OS	10,08	11,10	0,01	8,00	100-100		
19 CH ₃	N 9	65,2	225—227/1	C ₁₈ H ₂₃ N ₃ O ₂ S	12,13	11,76	9,27	8,96	160—161		
20 C ₂ H ₅		70,5	230-235/1	C19H25N2O2S	11,68	11,69	8,97	8,57	185—186		
21 C ₃ H ₇		64,2	240-242/1		11,25	_		8,69	108—110		
22 u30-C3H7		61,7	235-238/1		11,25				123-124		
23 C ₄ H ₉		53,5	250-255/1	C21H29N3O2S	10,84	10,54	8,27	8,38	105—106		
24 u30-C4H9		52,5	245-247/1	C21H29N3O2S	10,84	11,53	8,27	8,58	149—150		

2–ՄԵԹԻԼՄԵՐԿԱՊՏՈ–5– (պ–ԱԼԿՕՔՍԻԲԵՆԶԻԼ)–6– ՄԵԹԻԼ–ՊԻՐԻՄԻԴԻՆՆԵՐԻ ԱՄԻՆԱ–ԵՎ ՀԻԴՐԱԶԻՆԱԾԱՆՑՅԱԼՆԵՐԻ ՍԻՆԹԵԶ ԵՎ ՆՐԱՆՑ ՀԱԿԱՈՒՌՈՒՑՔ— ԱՅԻՆ ԱԿՏԻՎՈՒԹՅԱՆ ՈՒՍՈՒՄՆԱՍԻՐՈՒԹՅՈՒՆ

Հ. Ա. ՀԱՐՈՏԱՆ, Մ. Ս. ԿՐԱՄԵՐ, Բ. Տ. ՂԱՐԻՔՋԱՆՏԱՆ ԵՎ Գ. Մ. ՍՏԵՓԱՆՏԱՆ

Udhnhnid

անփոփոխ։

Աշխատան քը նվիրված է ամինների և հիդրազինհիդրատի հետ 4-քլորԱշխատան քը նվիրված է ամինների և հիդրազինհիդրատո խումեր մնում է
անդուկալվում է հիդրազինախմեով, իսկ մեթիլմերկապտո խումեր մնում

Աշխատան քը նվիրված է ամինների և հիդրազինհիդրատո խումեր

Աշխատան քը նվիրված է ամինների և հիդրազինհիդրատո խումեր

Աշխատան քը նվիրված է ամինների և հիդրազինհիդրատո խումեր

Աշխատան քը նվիրված է ամինների և հիդրազինական ուսում

Աշխատան քը նվիրված է ամինների և հիդրազինհիդրատո խումեր մնում է

անփոփոխ։

2-Մեթիլմերկապտո-4-քլոր-ő-(պ-ալկօքսիրենզիլ) - 6 - մեթիլպիրիմիդինները երկրորդային ամինների հետ ավտոկլավում էթանոլի միջավալրում 166—170° տաքացնելով սինթեզել ենք համապատասխան 4-ամինաաժանց-

լալներ։ Նրանցից ստացել ենք բլուրեղային հիդրոքլորիդներ։

Ուսումնասիրված են վերջիններիս հակաուռուց քալին հատկութվունները պատվաստած ուռուց քներ ունեցող մկների և առնետների վրա (սարկոմա 45, M-1 և 180), Ցուլց է տրված. որ նրանք 30—50 տոկոսով ճնշում են ուռուց քների աճը (սարկոմա 45, 180), Նրանցից մեծ մասը M-1 սարկոմայի վրա ճնշող ազդեցութվուն չի ցուցաբերում, իսկ մնացածները նուլնիսկ արագացնում են այդ ուռուց քի աճը։

ЛИТЕРАТУРА

1. А. А. Ароян, М. С. Крамер, Арм. хим. ж., 20, 218 (1967).

2. E. Tenor, F. Kröger, Chem. Ber., 97, 1373 (1964).

3. J. Hirao, T. Fujimoto, V. Koto, Kogyo Kogaku Zasshi, 66, 1682-5 (1963); [C. A., 60, 12008 (1964)].

4. В. А. Чернов, Методы экспериментальной химиотерапии, Медгиз, Москва, 1959, стр. 294. XXII, № 7, 1969

УДК 541.69+547.853.3

производные пиримидина

XI. ДИЭТИЛЕНИМИДЫ 2-(4'-АЛКОКСИБЕНЗИЛ)-6-ХЛОРПИРИМИДИЛ--4-АМИДОФОСФОРНЫХ КИСЛОТ

Р. Г. МЕЛИК-ОГАНДЖАНЯН и А. А. АРОЯН

Институт тонкой органической химия АН Армянской ССР

Поступило 27 XII 1968

С целью испытания антибластических свойств синтезирован ряд диэтиленимидов 2-(4'-алкоксибензил)-6-хлорпиримидил-4-амидофосфорных кислот. Табл. 2, библ. ссылок 5.

За последние 10—15 лет внимание исследователей направлено к поискам веществ, являющихся одновременно и антагонистами в нуклеиновом обмене, и алкилирующими агентами. Среди этих веществ, нашедших применение в химиотерапии элокачественных новообразований, определенное место занимают производные пиримидина с цитотоксическими группировками.

Так, 5-бис-(β-хлорэтил)амино-2,4-диокси-6-метилпиримидин (допан) [1], в котором носителем алкилирующей бис-(β-хлорэтил)аминной группы является метилурацил, вызывает рассасывание некоторых элокачественных опухолей. Биологическое изучение диэтиленимидов пиримидил-2, пиримидил-4- и пиримидил-5-амидофосфорных кислот показало, что некоторые из них обладают высокой противоопухолевой активностью [2, 3].

Ранее нами описаны [4] производные пиримидина без цитотоксических группировок со следующей общей формулой:

ROCCH,
$$R''$$

 $R=CH_3,\cdots$ изо- C_4H_9 , R', R'', R''' различные вариации окси-, хлор-, амино- и азофенильных групп.

.Из вышеуказанных данных, а также из возможности введения алкилирующих групп в некоторые соединения I следует целесообразность синтеза и биологических испытаний диэтиленимидов 2-(4'-алкоксибензил)-6-хлорпиримидил-4-амидофосфорных кислот V.

Синтез осуществлен по схеме:

$$RO \bigcirc CH_{2} \stackrel{CI}{\longrightarrow} RO \bigcirc CH_{2} \stackrel{POCI_{3}}{\longrightarrow}$$

$$RO \bigcirc CH_{2} \stackrel{NH_{3}}{\longrightarrow} RO \bigcirc CH_{2} \stackrel{POCI_{3}}{\longrightarrow}$$

$$RO \bigcirc CH_{2} \stackrel{CI}{\longrightarrow} NHP \stackrel{O}{\longrightarrow} RO \bigcirc CH_{2} \stackrel{O}{\longrightarrow} NHP - N$$

$$IV$$

Необходимые для синтеза диэтиленимидов V 2-(4'-алкоксибензил)-6-хлор-4-аминопиримидины получены с 50—55%-ными выходами нагреванием соответствующих дихлорпиримидинов II с избытком этанольного раствора аммиака. Варьирование количества аммиака и продолжительности реакции с целью повышения выхода не привело к удовлетворительным результатам.

Синтез соедивений III проводили и по следующей схеме:

$$RO \bigcirc CH_3 \bigcirc NH_3 \stackrel{POCl_3}{\longrightarrow} III,$$

однако выходы продуктов III при этом не превышали 10-15°/,.

2-(4'-Алкоксибензил)-6-хлор-4-аминопиримидины — белые кристаллические вещества с четкой температурой плавления, не растворимые в большинстве органических растворителей. Нагреванием с избытком хлорокиси фосфора при 120° синтезированы соединения IV.

Хотя некоторые промежуточные соединения, аналогичные дихлорангидридам IV, выделены и охарактеризованы [5], на наших примерах этого достичь не удалось, так как они оказались густыми, маслообразными веществами, разлагающимися при попытке перегнать в вакууме (0,1 мм). После тщательной промывки сухим эфиром их сразу же вводили в реакцию с этиленимином в среде сухого бензола и в присутствии триэтиламина.

Полученные диэтиленимиды V представляют собой белые кристаллические вещества с четкой температурой плавления; хорошо растворимы в спиртах, ацетоне, эфире, не растворимы в петролейном эфире и в воде.

Экспериментальная часть

2-(4'-Алкоксибензил)-6-хлор-4-аминопиримидины (III). А. Смесь 0,04 моля 2-(4-алкоксибензил)-4,6-дихлорпиримидина (II) и 50 мл этанольного раствора аммиака (содержащего 0,4 моля аммиака) нагревают в стеклянной ампуле при 150° около 8 часов. По мере нагревания дихлорпиримидин II полностью переходит в раствор и при 150°

начинает выпадать осадок III. Последний фильтруют, дважды промывают водой (по 25 мл) а затем—30 мл ацетона (табл. 1).

Таблица 1

			Анализ, 0/0								
R	0 T m	.,	С		Н		N		CI		
	1 11/1/	, Молекулярная формула	она	HC-	СКО	-5H	ено	-511	сно	HC-	
	Выход,		найдено	вычис	найдено	вычис- лено	найдено	пено	найдено	лено	
CH ₃	56,1 198-19	9 C ₁₂ H ₁₂ CIN ₃ O	58,03	57,72	5,10	1,84	17,10	16,83	13,85	14,19	
C ₂ H ₅	57,3 200-20	1 C13H14CIN3O	59,06	59,20	5,70	5,35	15,70	15,93	13,80	13,44	
C ₃ H ₇	55,4 175-17	6 C14H16CIN3O	60,35	60,54	6,03	5,81	15,50	15,13	12,68	12,76	
1130-C ₃ H ₇	56,5 176-17	7 C14H16CIN3O	60,40	60,54	5,76	5,81	15,54	15,13	12.76	12,76	
C ₄ H ₉	57,2 161-16	2 C ₁₅ H ₁₈ CIN ₃ O	61,55	61,74	6,30	6,22	14,73	14,40	12,03	12,15	
изо-С4Н,	55,0 174-17	5 C ₁₅ H ₁₈ CIN ₃ O	61,80	61,74	6,44	6,22	14,31	14,40	12,09	12,15	
				1							

Б. Смесь 0,02 моля 2-(4'-алкоксибензил)-6-окси-4-аминопиримидина (VI), 15,2 г (0,06 моля) свежеперегнанной хлорокиси фосфора и 5 мл диметиланилина нагревают при 90° до растворения VI (около одного часа), отгоняют избыток хлорокиси фосфора, добавляют ледяную воду и экстрагируют хлороформом. Хлороформный слой взбалтывают с 30 мл 10°/0-ного едкого натра; выпадают кристаллы III. Осадок отсасывают, промывают водой и сушат. Физико-химические константы полученных продуктов совпадают с данными, приведенными в таблице 1. Выходы составляют 10—15°/0.

Диэтиленимиды 2-(4'-алкоксибензил)-6-хлорпиримидил-4-амидофосфорных кислот (V). Смесь 0,01 моля 2-(4'-алкоксибензил)-6хлор-4-аминопиримидина (III) и 20 мл свежеперегнанной хлорокиси фосфора кипятят в течение двух часов при температуре 110-115°, затем в вакууме водоструйного насоса отгоняют избыток хлорокиси фосфора. Содержимое колбы представляет собой дихлорангидрид IV, который промывают дважды (по 25 мл) абсолютным эфиром, к остатку добавляют 50 мл сухого бензола и 5 г свежеперегнанного триэтиламина; при этом дихлорангидрид полностью переходит в раствор. К охлажденному до 15° раствору при энергичном перемешивании добавляют в течение 10 минут 1,29 г (1,83 мл. 0,03 моля) этиленимина в 30 мл сухого бензола. Перемешивание продолжают при этой температуре еще два часа и оставляют на ночь. Затем фильтруют выпавший гидрохлорида триэтиламина. После отгонки растворителя густой осадок кристаллизуют растиранием с петролейным эфиром. Кристаллы отсасывают и сушат в вакуум-эксикаторе (табл. 2).

Таблица 2

9 3	Выход, °/о	Т. пя., °C	Молекулярная формула	А нализ, 0/0								
R				С		H		N		CI		
				найдено	вычис-	найдено	вычис- лено	найдено	вычис- лено	найдено	BINTHC-	
CH ₃	62.5	117—118	C16H16CIN5O2P	52,47	52,51	4,935	,23	15,52	15,26	9,77	9,68	
		56-57	C17H21CIN5O2P	53,56	53,78	5,305	5,57	14,56	14,71	9,50	9,33	
C ₃ H ₇	61,4	102-103	C18H23CIN5O2P	55,01	54,90	5,44 5	88,6	14,07	14,18	9,01	9,00	
изо-С ₂ Н ₇	64,5	67—68	C18C23CIN5O2P							9,07	9,00	
C ₄ H ₉	64,3	115—116	C19H25CIN5O2P	56,08	55,97				_	8,40	8,69	
uso-C ₄ H ₉	65,4		C19H25CIN5O2P		55,97	5,83	5,18	13,76	13,69	8,53	8,69	

ՊԻՐԻՄԻԴԻՆԻ ԱԾԱՆՑՑԱԼՆԵՐ

XI. 2_(4-ԱԼԿՕՔՍԻԲԵՆԶԻԼ)_-8_ ՔԼՈՐՊԻՐՄԻԴԻԼ_-4-ԱՄԻԴԱՖՈՍՖՈՐԱՅԻՆ ԹԹՎԻ ԴԻԷԹԻԼԵՆԻՄԻԴՆԵՐ

A. S. TOLLE-OZULQUISUL L Z. U. ZUPABUL

Udhnhnid

Սին Թեզված են մի շարք 2-(4'-ալկօքսիրենզիլ)-6-քլոր-4-ամինապիրիմիդիններ (III) և 2-(4'-ալկօքսիրենզիլ)-6-քլորպիրիմիդիլ-4-ամիդաֆոսֆորական ԹԹվի դիէթիլենիմիդներ (V)՝ նրանց հակաուռուցքային հատկություններն ուսումնասիրելու նպատակով։

III միացություններն ստացված են 2-(4'-ալկօքսիրենզիլ)-4,6-դիքլորպիրիմիդիններից (II), քլորի մասնակի փոխարինումով, ինչպես նաև 2-(4'ալկօքսիրենզիլ)-4-ամինա-6-օքսիպիրիմիդիններից (VI)՝ ֆոսֆորի օքսիքլորիդի ազդմամբ։ V միացությունները ստացվել են III-ից նրանց վրա ներգործելով նախ ֆոսֆորի օքսիքյորիդով, ապա՝ Էթիլենիմինով,

ЛИТЕРАТУРА

- 1. Тезисы научных докладов 10-ой сессии общего собрания АМН СССР, 1956. стр. 59.
- 2. C. W. Nocll, C. C. Cheng, J. Med. Chem., 11, 63 (1968).
- 3. Н. В. Сазонов, И. Е. Мамаева, И. Б. Кузнецова, А. А. Кропачева, Т. С. Сафонова, Диэтиленимиды замещенных амидофосфорных кислот. Современное состояние химиотерапии злокачественных опухолей. Тр. 1 Всесоюзной конференции по химиотерапии злокачественных опухолей, Рига, 1968, стр. 171.
- А. А. Ароян, Р. Г. Мелик-Оганджанян, Арм. хим. ж., 20, 314 (1967); 22, 57 (1969);
 22, 245 (1969); А. А. Ароян, Р. Г. Мелик-Оганджанян, Б. Т. Гарибджанян,
 Г. М. Степанян, там же, 21, 868 (1968).
- 5. А. А. Кропачева, Н. В. Сазанов, ЖОХ, 31, 360 (1961).

XXII, № 7, 1969

химическая технология

УДК 66.095.26+678.744.422

ПОЛУЧЕНИЕ ПОЛИВИНИЛФОРМАЛЯ

II. ПОЛИМЕРИЗАЦИЯ ВИНИЛАЦЕТАТА В ВОДНО-УКСУСНОКИСЛОЙ СРЕДЕ

А. Е. АКОПЯН, М. Б. ОРДЯН, Л. А. САРКИСЯН, Дж. Х. САРКИСЯН и Р. Г. ГЕВОРКЯН

Научно-исследовательский институт полимеризационных пластиков

Поступило 12 IX 1967

Изучалось влияние концентрации инициатора, уксусной кислоты, винилацетата и ацетальдегида, а также температуры на скорость полимеризации винилацетата в водно-уксуснокислой среде и на молекулярный вес полученного поливинилацетата. Показано, что ацетальдегид является эффективным регулятором полимеризации винилацетата в гомогенной среде, он уменьшает средний молекулярный вес поливинилацетата и значительно снижает его полидисперсность.

Рис. 2, табл. 5, библ. ссылок 2.

В предыдущем сообщении было указано, что при проведении полимеризации винилацетата в водных растворах уксусной кислоты в присутствии регуляторов полимеризации удается получить растворимый в доступных растворителях поливинилформаль.

В настоящей работе рассматриваются результаты исследования влияния ряда параметров на процесс полимеризации винилацетата в водно-уксуснокислой среде с целью определения оптимальных условий полимеризации, обеспечивающих получение поливинилацетата заданного молекулярного веса и полидисперсности. В качестве инициатора полимеризации использовался персульфат аммония, а в качестве регулятора полимеризации — ацетальдегид. Выбор водного раствора уксусной кислоты был обусловлен тем, что последующий процесс—ацеталирование поливинилацетата формальдегидом проводилось в той же среде.

Методика проведения опытов аналогична описанной ранее [1].

Экспериментальная часть

Проведено несколько серий опытов с целью определения влияния концентрации уксусной кислоты, мономера, регулятора и инициатора на скорость полимеризации винилацетата и свойства полученных

полимеров. Была определена также зависимость процесса полимеризации от температуры.

Полученные результаты приведены в таблицах 1-4.

Влияні	не концентр	ацин ви	<i>Таблица I</i> ни лаце тата
Концентрация винилацетата в системе, 0/0	Продолжи- тельность про- цесса полиме- ризации, часы	Содержанис остаточного мономера, 0/0	Вязкость 10°/0-ного ра- створа ПВА в бензоле, сп.
30	8-9	0,9	7,78
35	8—9	0,8	7,75
40	8-9	0,97	7,52
45	8—9	0,7	7,65
50	9—10	1,1	7,63
60	12—14	1,27	6,97
70	12—14	1,46	6,88

		T	аблица 2
Влияние	е концентра	ции ини	циатора
Концентрация инициатора, 0/0	Продолжи- тельность про- цесса, часы	Содержанне остаточного мономера, 0/0	Вязкость 10°/о-ного ра- створа ПВА в бензоле, сп.
0,05	14—15	1,1	6,2
0,15	8-10	0,9	5,71
0,25	6-7	0,7	5,49
0,35	4—5	0,6	5,32
0,45	4-5	0,7	5,71
0,55	4-5	0,4	5,1
0,75	4-5	0,39	5,09
		0,35	4,88

Таблица 3 Влияние концентрации среды на процесс полимеризации

на	процесс пол	ниериза	ции
Концентрация среды (уксусной кислоты),	Продолжи- тельность про- цесса, часы	Содержание остаточного мономера, 0/0	Вязкость 10%-ного ра- створа ПВА в бензоле
40	реакция не шла		
45	реакция не шла		
50	13-14	1,12	6,88
60	6-7	0,98	6,59
65	56	0,91	5,73
70	4,5-5	0,97	4.55

Таблица 4 Влияние температуры

Температура процесса, °С	Продолжи- тельность про- цесса, часы	Содержание остаточного мономера, 0/0	Вязкость 10°/о-ного ра- створа ПВА в бензоле, сп.
5 5	58	1,10	3,30
60	10	0,97	5,50
65	8	0,92	6,62
70	4	0,92	6,91

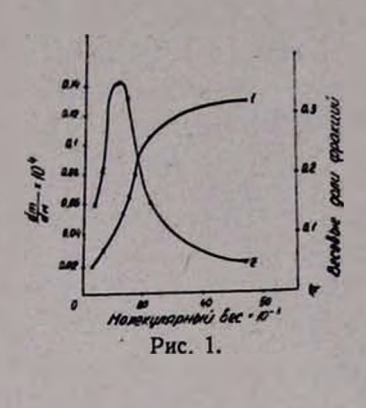
На основании приведенных данных можно сделать следующие заключения.

Увеличение концентрации мономера в системе от 30 до 50°/о заметного влияния на скорость полимеризации винилацетата не оказывает, в то время как увеличение ее от 50 до 70°/о приводит к значительному увеличению продолжительности процесса. В этом аномальном явлении, безусловно, нельзя видеть противоречия в наших представлениях о кинетике радикальной полимеризации мономера, а лишь специфичность поведения сульфатных радикалов в водно-уксуснокислой среде.

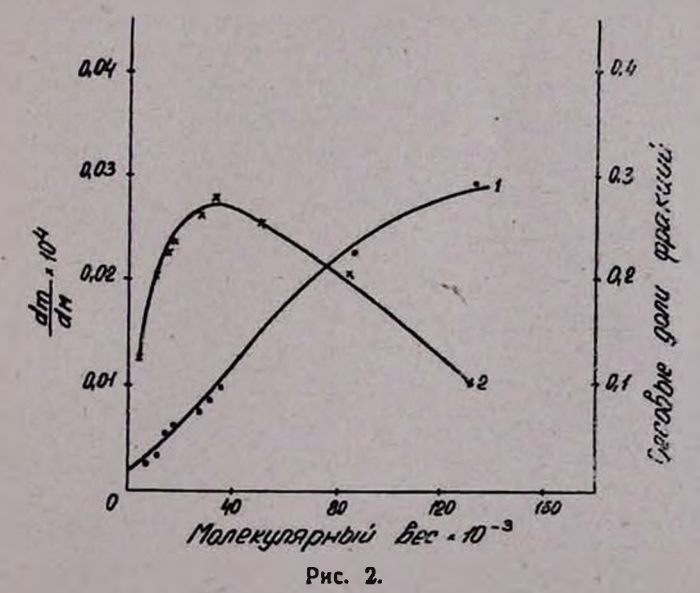
Следующая серия опытов посвящалась изучению влияния концентрации ацетальдегида (регулятора) на скорость полимеризации винилацетата, молекулярный вес и полидисперсность полученного поливинилацетата. Результаты этих опытов приведены в таблице 5 и на графиках (рис. 1 и 2).

Таблица 5
Влияние концентрации регулятора
на процесс полимеризации винилацетата при продолжительности
процесса 6 час

Концентра- ция регу- лятора, ⁰ / ₀ (от веса ви- нилацетата)	Молекуляр- ный вес полимера	Вязкость раствора ПВА в бен- золе, сп.
_	56880	18,5
0,25	35690	17,3
0,50	27690	15,9
0,75	22500	14,6
1,00	19500	12,9
1,50	13900	11,2



Полученные результаты (табл. 5) показывают, что ацетальдегид, являясь переносчиком цепи с константой переноса—660·10⁻⁴ (при 60°) обрывает растущую полимерную цепь, образуя новый радикал, способный инициировать полимеризацию. Прямым доказательством этого положения являются результаты, полученные при определении полидисперсности образцов поливинилацетата, полученных полимеризацией винилацетата в присутствии и без ацетальдегида.



Фракционирование образцов поливинилацетата проводилось при 20° методом дробного осаждения. В качестве растворителя использовался метанол, а в качестве осадителя—вода. Осажденная фракция из раствора поливинилацетата с первоначальной концентрацией 5% отделялась декантацией, промывалась смесью растворителя и осадителя, взятой в том соотношении, в каком началось осаждение данной фракции, и сушилась в вакууме при 30—35°.

Результаты, полученные при определении фракционного состава двух образцов полимера и молекулярного веса отдельных фракций, изображены в виде дифференциальных и интегральных кривых (см. рис. 1 и 2). Из этих данных видно, что ацетальдегид является достаточно эффективным регулятором степени полимеризации поливинилацетата. Наличие одного процента ацетальдегида в системе резко снижает полидисперсность получаемого поливинилацетата. Молекулярно-весовое распределение полимера без регулятора характеризуется значением молекулярных весов от 500 до 131000, а в присутствии 1% регулятора — значением молекулярных весов от 3000 до 53000.

ՊՈԼԻՎԻՆԻԼՖՈՐՄԱԼԻ ՍՏԱՑՈՒՄԸ։

- II. ANDPLUSESUSE AUTERCRAPACE SUBURABETE SLUSE TUELE TUELE
 - ፈ. b. ՀԱԿՈՐՅԱՆ, Մ. Բ. ՕՐԴՑԱՆ, Լ. Հ. ՍԱՐԳՍՅԱՆ Ջ. Խ. ՍԱՐԳՍՅԱՆ ԵՎ Ռ. Հ. ԳԵՎՈՐԴՅԱՆ

Udhahaid

տանրվիրինացրատան ոտանուղն։ տատրավուղ թը ձարվանագ ղուրվունակիր իշատվ ը աննիմիոտերոտիարութնարե հարր ծրեղասարջարին։ Սևսշվագ թը բրակնիտնի անը ատկարութներ՝ ղարարի, կարվագ ճանախախխկի ըստանութ հարրն ը որանվագ անկութներ ը չարսենիչի իսրներահանիանի անը անակարթերն, սևսը հարրունը ը որանվագ անկությանը չարսենիչի իսրներանանիանի անը անակարթերն, սևսը հարրության և որանարանը և անական անական

- 1. А. Е. Акопян, М. Б. Ордян, Л. А. Саркисян, Дж. Х. Саркисян, Р. Г. Геворкян, Арм. хим. ж. (в печати).
- 2. И. Сакурада, Химия и технология полимеров, № 10, 82 (1964).

УДК 543.253+547.281.2+547.381

ПОЛЯРОГРАФИЧЕСКОЕ ОПРЕДЕЛЕНИЕ АЦЕТАЛЬДЕГИДА И КРОТОНОВОГО АЛЬДЕГИДА ПРИ СОВМЕСТНОМ ИХ ПРИСУТСТВИИ В ТОВАРНОМ ВИНИЛАЦЕТАТЕ

Г. Г. КОСТАНЯН и Г. Е. САФАРЯН

Государственный научно-исследовательский и проектный институт полимерных клеев

Поступило 26 VI 1967

Предложен полярографический метод определения ацетальдегида и кротонового альдегида при совместном их присутствии в винилацетате-ректификате. Катодом служит ртутный капельный микроэлектрод с периодом каплеобразования 3 сек., анодом—насыщенный каломельный элемент. В качестве фона применяется 0,05 и водный раствор йодистого тетрабутиламмония. Расчет содержания кротонового альдегида ведется по высоте первой волны ($E_{1,} = -1,5$ в), а ацетальдегида—по высоте совместной волны ацетальдегида и второй волны кротонового альдегида с потенциалом полуволны—1,88 в с учетом высоты второй волны кротонового альдегида Чувствительность метода по кротоновому альдегиду $2 \cdot 10^{-5}$ %. Относительная ошибка не более 4^{9} 0.

Рис. 3, табл. 2, библ. ссылок 6.

В процессе полимеризации винилацетата чистота мономера имеет исключительно важное значение. Наличие незначительного количества примесей может оказать сильное влияние как на процесс полимеризации, так и на механические и физико-химические свойства полученного полимера [1].

Техническими условиями ТУ-М40-55 на товарный винилацетат предусматривается отсутствие в нем альдегидов. Применением хроматографического метода разделения нами [2] и рядом авторов [3] было установлено, что товарный винилацетат всегда содержит примеси ацетальдегида, ацетона, кротонового альдегида и уксусной кислоты. Однако, ввиду их незначительного содержания, при количественной расшифровке хроматограмм получаются большие расхождения, что затрудняет определение истинного содержания этих примесей в винилацетате-ректификате.

В настоящей статье описывается применение полярографического метода для определения содержания ацетальдегида и кротонового альдегида в товарном винилацетате.

Известно [4], что как кротоновый, так и ацетальдегид на фонах гидроокиси лития, галоидных солей тетраалкиламмония и т. д. хорошо восстанавливаются на ртутном капельном микроэлектроде, причем кротоновый альдегид всегда образует две волны с потенциалом полуволны —1,5 и 1,8 в, соответственно. Потенциал полуволны ацетальдегида при прочих равных условиях находится в пределах —1,75 —1,90 в (рис. 1), что очень близко к потенциалу полуволны второй

волны кротонового альдегида. Поэтому при совместном пх присутствии вторая волна кротонового альдегида ($E_{\cdot l_*} = -1,86~\epsilon$) сливается с волной ацетальдегида (рис. 2). Это затрудняет непосредственное определение ацетальдегида в присутствии кротонового альдегида полярографическим методом. Кроме того, как показали результаты наших исследований, винилацетат даже в слабощелочной среде частично гидролизуется с образованием ацетальдегида, что сильно искажает результаты анализа.

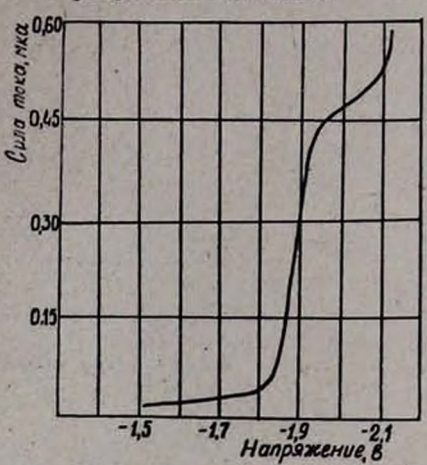


Рис. 1. Полярограмма ацетальдегида на фоне 0,05 к раствора йодистого тетрабутиламмония.

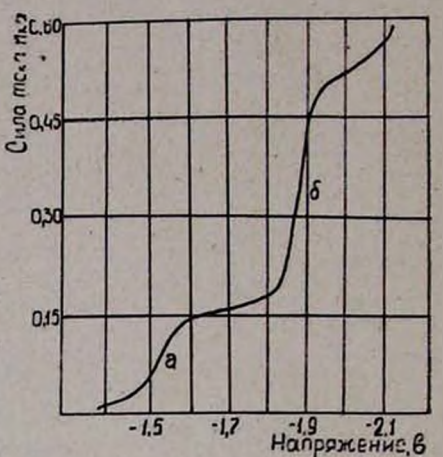


Рис. 2. Полярограммы: а — кротонового альдегида; б—совместная волна кротового альдегида и ацетальдегида на фоне 0,05 и раствора йодистого тетрабутиламмония.

Найдено, что как кротоновый, так и ацетальдегид хорошо восстанавливаются на фоне $0.05~\mu$ водного раствора йодистого тетрабутиламмония; при этом не наблюдается заметного гидролиза винилацетата.

Между концентрацией ацетальдегида и кротонового альдегида в пределах возможного их содержания в винилацетате (до $0.1^{\circ}/_{\circ}$) и предельным током (высотой волн) наблюдается прямая зависимость. Однако, волна ацетальдегида все же сливается со второй волной кротонового альдегида (рис. 2).

Установлено, что высота первой волны кротонового альдегида ($E_{1/s}=-1,54$ в) всегда меньше высоты второй волны ($E_{1/s}=-1,80$ в), но между ними наблюдается прямая зависимость, что дает возможность определить часть высоты второй волны, обусловленную восстановлением только ацетальдегида.

Изучение зависимости величины диффузионного тока от температуры среды (рис. 3) и давления на ртуть в капилляре (табл. 1) показало, что процесс восстановления ацетальдегида и кротонового альдегида на ртутном капельном микроэлектроде является диффузионным.

Таблица 1

Зависимость величины диффузионного тока (J_d) от давления на ртуть в капилляре или от высоты ртутного резервуара (H). Концентрация ацетальдегида $0.002^{\circ}/_{\circ}$, кротонового альдегида— $0.007^{\circ}/_{\circ}$. Фон – 0.05 и раствор йодистого тетрабутиламмония

J_d . "ика \times 10^2	Н, см	$J_d : H^{\frac{1}{2}}$	_{J_d} . мка × 10²	Н, см	$J_d: H^{\frac{1}{2}}$
56	20	3,96	53	20	3,75
64	25	4,05	60	25	3,79
72	30	4,15	66	30	3,86
79	35	4,22	72	35	3,90
86	40	4,30	79	40	3,95
93	45	4,38	85	45	4,00
100	50	4,47	91	50	4,07
					1

Работа проводилась при комнатной температуре на полярографе марки ЛП-60 (Чехословакия). Катодом служил ртутный капельный

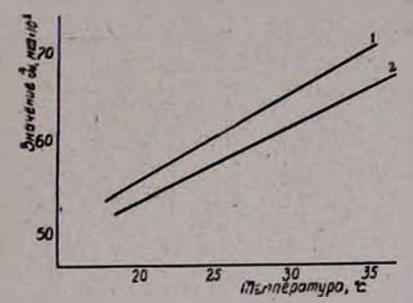


Рис. 3. Зависимость величины диффузионного тока (J_d) от температуры: I — ацетальдегида $(C=0,002^{\circ})$; 2 — кротонового альдегида $(C=0,007^{\circ}/_2)$.

Катодом служил ртутный капельный электрод с периодом каплеобразования 3 сек., анодом — насыщенный каломельный элемент (н. к. э.).

Для опытов использовались искусственные смеси с определенным содержанием ацетальдегида, кротонового альдегида, ацетона и уксусной кислоты. Ацетон, уксусная кислота и винилацетат-ректификат заранее очищались от возможно присутствующих альдегидов многократной ректификацией. Содержание альдегидов в отгонах контролировалось качественно фуксиносернистой кислотой и полярографически.

Количественный расчет содержания кротонового альдегида проводился методом добавки [5] по высоте первой волны ($E_{l_0} = -1,54 s$), ацетальдегида—по высоте второй волны ($E_{l_0} = -1,88 s$) с учетом высоты второй волны кротонового альдегида.

Определению не мешают ацетон и уксусная кислота, присутствующие в винилацетате-ректификате.

В таблице 2 приводятся результаты анализов искусственной смеси. Статистическая обработка [6] полученных данных показала, что относительная ошибка определения не превышает 4%.

Ход анализа. В мерную колбу емкостью 50 мл наливают около 10 мл фона— $0.05~\mu$ раствора йодистого тетрабутиламмония, добавляют 1 мл анализируемой пробы и $0.2~\mu$ л $0.5^{\circ}/_{\circ}$ -ного раствора желатина. Объем раствора доводят до метки фоном и хорошо перемеши-

вают. Затем 30 мл полученного раствора наливают в электролизер и снимают полярограмму в интервале потенциалов от -1.3 до 2.1 в при чувствительности прибора 1:20. При этом на полярограмме получаются две четко выраженные волны. Первая волна с потенциалом полуволны -1.54 в принадлежит только кротоновому альдегиду, а вторая—с потенциалом полуволны -1.88 в—смеси кротонового альдегида и ацетальдегида. Измеряют высоты первой (H_1) и второй (H_2) воли. По значению H_1 по заранее определяемой зависимости, полученной при анализе искусственных смесей с известным содержанием кротонового альдегида (при отсутствии ацетальдегида), определяют высоту второй волны кротонового альдегида (H_3) , значение которой всегда больше высоты первой волны. По разнице H_2-H_3 рассчитывают часть высоты второй волны, обусловленной восстановлением только ацетальдегида (H_4) .

Таблица 2

Введено, мг/мл		Получено, мг/мл		Относительная ошибка, ⁰ / ₀	
кротоновый альдегид	ацетальдегид	кротоновый альдегид	ацетальдегид	по крото- новому альдегиду	по вцеталь- дегиду
17,7.10-3	4,1.10-3	18,1.10-3	4,2.10-3	+2,3	+2,4
$35,3 \cdot 10^{-3}$	8,2.10-3	34,6-10-3	8,5-10-3	-1,7	+3,6
53,0-10-3	12,3-10-3	53,7·10 ⁻³	11,9-10-3	+1,3	-3,2
70,7-10-8	16,4.10-3	70,0.10-3	17,0.10-3	-0,8	+3,6
88,3.10-8	20,5.10-3	89.5.10-3	19,8.10-3	-0,9	-3,4
106,0-10-8	24,6.10-3	105,0.10-3	25,0.10-3	-0,9	+1,7

Расчет содержания кротонового альдегида и ацетальдегида производится методом построения градуировочного графика или методом добавки [5].

Время анализа 15-20 минут. Относительная ошибка не более 4%.

ԱՊՐԱՆՔԱՑԻՆ ՎԻՆԻԼԱՑԵՏԱՏԻ ՄԵՋ ՔԱՑԱԽԱԼԴԵՀԻԴԻ ԵՎ ԿՐՈՏՈՆԱԼԴԵ_ ՀԻԴԻ ՀԱՄԱՏԵՂ ՆԵՐԿԱՑՈՒԹՅԱՆ ԴԵՊՔՈՒՄ ՆՐԱՆՑ ՈՐՈՇՄԱՆ ՊՈԼՑԱՐՈ_ ԳՐԱՖԻԿ ԵՂԱՆԱԿ

2. 2. 4NUSULBUL BY 9. b. UUSUPBUL

U d h n h n i d

րավարոր սեսջուղը դատարվում է, թնրքավ ընտ վենակարերինի սեսշղար անինի ըսելավության մետճաւս։ Սետեր ֆոր օժուտժունվուղ է արանաեսւաինադսըրուղի լոմիմի 0՝00 ըսևղանարա Տևտքիր նուգուլեն։ ձևուսրանուաինադսիսուղի լոմիմի 0,00 ըսևղանարա Տևտքիր լուգուլեն։ ձևուսրանուաինադսրաերակարը սեսչուղը դատանվում է՝ թնրընակ ընտ վերակարգիցար անինի ատնելու կլուսից, որի կիստալիքալին լարվածու կլունը հավասար է—1,54 վ., իսկ քացախալգհհիգի որոշումը՝ նրանց վերականգնման համատեղ ալիքի բարձրու կլունից, որի կիստալիքալին լարվածու կլունը հավասար է—1,88 վ., ավելացման կամ աստիճանավորված գրաֆիկի եղանակների միջոցով, հաշվի առնելով կրոտոնալդեհիդի վերականգնման երկրորդ ալիքի բարձրությունը։

նդանակի զգալնութվունը ըստ կրոտոնալդեհիդի հավասար է 2․10⁻⁵ աոկոս, իսկ հարարհրական սխալը 4 տոկոսից ավելի չէ։

- 1. С. Н. Ушаков, Поливиниловый спирт и его производные, том І, Изд. АН СССР, Москва, стр. 52, 195 (1960), А. Е. Акопян, М. Б. Ордян, Г. М. Беляева, М. Маркосян, Арм. хим. ж., 19, 378 (1966).
- 2. В. П. Заминян, Г. Г. Костанян, М. В. Киракосян, Промышленность Арменни, № 11, 31 (1964).
- 3. В. А. Баландина, М. С. Клещева, Газовая хроматография, НИИТЭХИМ, вып. II, Москва, 62 (1964).
- Реакция и методы исследования органических соединений, кн. 5, Госхимиздат, Москва, стр. 99—114 (1957), Т. А. Крюкова, С. И. Синякова, Т. В. Арефьева, Полярографический анализ, Госхимиздат, Москва, стр. 435—436, 729—737 (1959), Я. Гейровский, Я. Кута, Основы полярографии, изд. "Мир", Москва, стр. 522 (1965), Г. Г. Костанян, А. Н. Мясищева, Г. Е. Сафарян, Зав. лаб., 32, 7, 798 (1966).
- 5. Д. В. Виноградова, З. А. Галлай, З. М. Финогенова, Методы полярографического и амперометрического анализа, МГУ, Москва, стр. 81 (1963).
- В. В. Налимов, Применение математической статистики при анализе, Физматгиз, Москва (1960).

УДК 543.544+547.26'11+547.361

ХРОМАТОГРАФИЧЕСКИЙ МЕТОД ОПРЕДЕЛЕНИЯ СОСТАВА ВИНИЛПРОПИОНАТА И ВИНИЛБУТИРАТА-СЫРЦА

Г. Г. КОСТАНЯН, Л. В. МКРТЧЯН и А. А. МОВСИСЯН

Государственный научно-исследовательский и проектный институт полимерных клеев

Поступило 26 VI 1967

Предложен газо-жидкостной хроматографический метод разделения и количественного определения состава винилпропионата и винилбутирата-сырца. Разделение осуществляется при температуре $118-120^\circ$ на трехметровой колонке диаметром 6 мм, заполненной изоляционным диатомитовым кирпичом, пропитанным $18-21^\circ$ 0-ной смесью диоктилсебацината ($16-20^\circ$ 0) и себациновой кислоты ($2-3^\circ$ 0 от веса твердого носителя).

В качестве газа-носителя применяется водород со скоростью 3,0—3,5 л/час. Рис. 3, табл. 1, библ. ссылок 4.

Процесс синтеза сложных виниловых эфиров жирных кислот (винилформиат, винилацетат, винилпропионат, винилбутират) сопровождается образованием ряда побочных продуктов.

Для изучения химизма и кинетики образования продуктов синтеза, а также для разработки метода выделения чистых мономеров идентификация и количественное определение отдельных индивидуальных веществ является весьма важной практической задачей. Если для анализа продуктов, полученных при синтезе винилацетата, разработаны и успешно применяются в контроле производства различные методы [1, 2], то материалов по анализам продуктов процесса синтеза других сложных виниловых эфиров в литературе очень мало, а в отдельных случаях они вообще отсутствуют (винилформиат, винилпропионат и т. д.). Описанная в литературе [2] методика не позволяет разделить и количественно определить все остальные компоненты винилбутирата-сырца.

В настоящей статье описывается применение газо-жидкостного хроматографического метода для определения полного состава продуктов, полученных при синтезе винилпропионага и винилбутирата.

Для разделения и количественного определения индивидуального состава винилпропионата (ВП) и винилбутирата (ВБ)-сырца в качестве жидкой фазы испытаны диоктилфталат, динонилфталат, диоктилсебацинат, силиконовые масла № 4 и № 5 в смеси с себациновой и стеариновой кислотами, нанесенные на изоляционный диатомитовый кирпич, фракции 0,25—0,50 мм в количестве от 8 до 30%. Содержание свободной кислоты (себациновой или стеариновой) во всех случаях составило 2—3% от веса твердого носителя.

Сравнительно хорошее разделение наблюдалось на жидкой фазе — смесь диоктилсебацината и себациновой или стеариновой кислоты.

Работа проводилась на хроматографе XЛ-4 с детектором по теплопроводности. Пробы вводились с помощью медицинского шприца. В качестве газа-носителя применялся водород. Для нахождения оптимальных условий, обеспечивающих высокую разрешающую способность разделительной колонки, и разделения всех составных компонентов смеси в приемлемое для анализа время опыты проводились в интервалах температуры 105—140°, при скорости газа-носителя 1,5—6,0 л/час длине колонки 1—5 м и при содержании жидкой фазы от 8 до 30%.

Обработка твердого носителя жидкой фазой проводилась методом, описанным в литературе [3]. Результаты показали, что с точки зрения хроматографического разделения трудно разделяемой парой в винилиропионате-сырце является пара винилиропионат—кротоновый альдегид (KpA). Несмотря на большую разницу в температурах кинения (ВП=95°, KpA=102,1°), очень часто при разделении пик КрА

маскируется пиком ВП, видимо, из-за большого содержания последнего в смеси. Для получения четко выраженного пика масляной кислоты, находящейся в ВБсырце в довольно большом количестве, а также для уменьшения времени анализа необходимо разделение проводить при температуре 130—140° и скорости газа-носителя 4—6 л/час. Однако, в указанных условиях сильно падает разрешающая способность

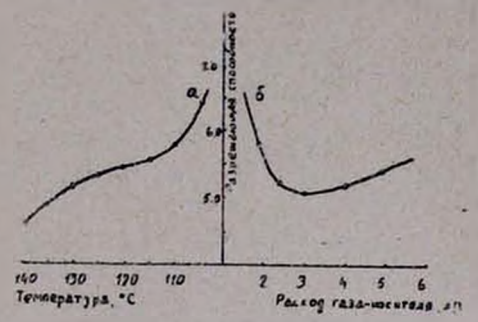


Рис. 1. Влияние температуры и расхода газа-носителя на разрешающую способность колонки.

колонки (рис. 1), в результате чего такие сравнительно низкокипящие пары как винилацетат (т. кип. 72°) — метилэтилкетон (т. кип. 79,6°) и метилпропилкетон (т. кип. 101,7°) — кротоновый альдегид (т. кип. 102,1°) не разделяются и выходят из колонки под одним пиком. Хроматографическое разделение остальных составных компонентов ВП и ВБ-сырца не представляло трудности и осуществлялось довольно легко.

Было установлено, что и ВП и ВБ-сырец, полученные на опыттой установке, всегда содержат одновременно как свободные уксусную, пропионовую, изомасляную и n-масляную кислоты, так и продукты их реакции, что можно объяснить загрязненностью исходных кислот и частичным разрушением катализатора. Поэтому для определения полного состава ВП и ВБ-сырца необходимо было найти оптимальные условия, обеспечивающие полное и четкое разделение всех составных компонентов их смеси при минимально необходимом для разделения времени. Оптимальными условиями разделения ВП и ВБ-сырца (газ-носитель—водород) оказались: колонка $3 m \times 6 mn$, температура колонки $118-120^\circ$, количество неподвижной фазы к твердому

Армянский химический журнал, XXII, 7-6

носителю $18-21^{\circ}/_{\circ}$, расход газа-носителя 3.0-3.5 $\Lambda/$ час, количество пробы 0.03-0.04 мл, ток детектора 140-160 ма, неподвижная жидкая фаза—смесь диоктилсебацината и себациновой кислоты $(2-3^{\circ}/_{\circ})$.

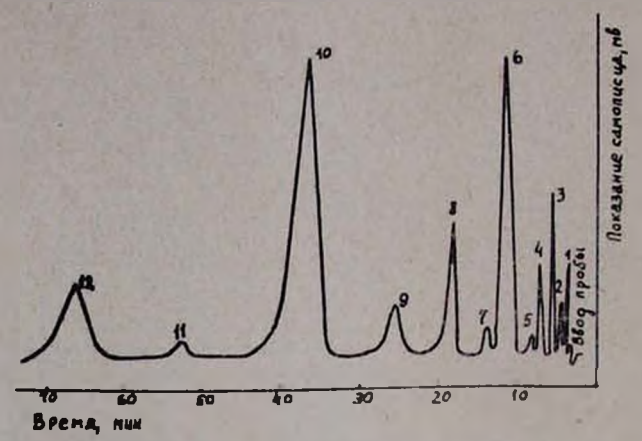


Рис. 2. Хроматограмма разделения винилпропионата-сырца: 1 — воздух; 2 — ацетилен; 3 — ацетальдегид; 4 — ацетон; 5 — винилацетат; 6 — винилпропионат; 7 — кротоновый альдегид; 8 — винилбутират; 9 — уксусная кислота; 10 — пропионовая кислота; 11 — изомасляная кислота; 12 — и-масляная кислота.

Хроматограммы, полученные при разделении ВП и ВБ-сырца в вышеуказанных условиях, приводятся на рисунках 2 и 3. Идентификация отдельных компонентов проводилась методом предварительного введения вещества, наличие которого было установлено или предполагалось.

В таблице приводятся значения относительных удерживаемых объемов ($V_R^{\text{отн}}$) и поправочных коэффициентов (K) составных компонентов ВП и ВБ-сырца.

		Таблица
Компоненты	оти толуола = 1,0	К
Ацетилен Ацетальдегид Метилацетат А ц е т о н Винилацетат Метилэтилкетон Масляный альдегид Винилпропионат Метилпропинкетон Кротоновый альдегид Диэтилкетон Винилбутират Уксусная кислота Пропионовая кислота Изомасляная кислота и-Масляная кислота	0,07 0,10 0,14 0,22 0,28 0,32 0,44 0,48 0,50 0,55 0,86 1,25 2,70 4,41 6,00	1,44 1,15 0,80 0,91 0,81 1,22 0,93 1,05 1,00 1,25 0,94 1,04 1,01 1,24

Качественный расчет хроматограмм проводили методом измерения площадей пиков с учетом поправочных коэффициентов (K) каждого компонента [4].

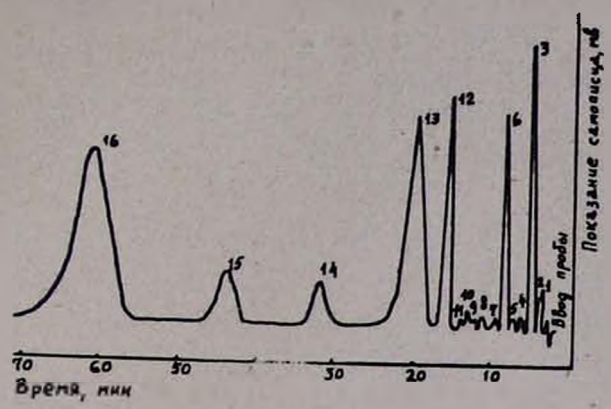


Рис. 3. Хроматограмма разделения винилбутирата-сырца: I — воздух; 2 — ацетилен; 3 — ацетальдегид; 4 — метилацетат; 5 — ацетон; 6 — винилацетат; 7 — масляный альдегид; 8 — винилпропионат; 9 — метилпропилкетон; 10 — кротоновый альдегид; 11 — диэтилкетон; 12 — винилбутират; 13 — уксусная кислота; 14 — пропионовая кислота; 15 — изомасляная кислота; 16 — n — масляная кислота.

ՉԶՏՎԱԾ ՎԻՆԻԼՊՐՈՊԻՈՆԱՏԻ ԵՎ ՎԻՆԻԼԲՈՒՏԻՐԱՏԻ ԲԱՂԱԴՐՈՒԹՑԱՆ ՈՐՈՇՄԱՆ ՔՐՈՄԱՏՈԳՐԱՖԻԱԿԱՆ ԵՂԱՆԱԿ

2. 2. 4NUSULBUL, L. Y. THESSEUL BY U. U. THADPUBUL

Udhnhnid

Առաջարկված է չզտած վինիլպրոպիոնատի և վինիլբուտիրատի բաղագրրության մեջ գտնվող նյութերի բաժանման և քանակական որոշման քրոմատոդրաֆիական հղանակ։ Բաժանումը կատարվում է 118—120° ջերմաստիճանում, 3 մ նրկարություն և 6 մմ տրամագիծ ունեցող սյունակաթսալում, որի մեջ լցված է 18—21 տոկոս (պինդ կրողի կշռի համեմատությամբ) դիօկտիլսերացինատի (16—20°/₀) և սերացինաթթվի (2—3°/₀) խառնուրդով տոգորված դիատոմիտային աղլուս։ Որպես կրող-գաղ օգտագործվում է 3,0—3,5 չ/ժամ արագություն ունեցող ջրանձի հոսանը։

վում է ստացված պիկերի մակերեսների չափման մեթողով, հաշվի առնելով վում է ստացված պիկերի մակերեսների չափման մեթողով, հաշվի առնելով լուրաջանչյուր բաղադրիչի ուղղման գործակիցը։

- 1. В. П. Залинян, Г. Г. Костанян, М. В. Киракосян, Промышленность Армении, № 11, стр. 31 (1964), Г. Г. Костанян, А. Н. Мясищева, Г. Е. Сафарян, Зав. лаб., 32, 7, 798 (1966).
- 2. В. А. Баландина, М. С. Клешева, Газовая хроматография (сборник статей), вып. II, НИИТЭХИМ, Москва, стр. 61, 1964 г.
- 3. Э. Байер, Хроматография газов, ИЛ, Москва, стр. 36, 1961 г.
- 4. А. А. Жуховицкий, Н. М. Туркельтауб, Газовая хроматография, Гостоптехиздат Москва, 1962 г.

УДК 535,211+678,763.2

ВЛИЯНИЕ ТЕРМОРАДИАЦИОННОГО ВОЗДЕЙСТВИЯ НА ИЗМЕНЕНИЕ НЕКОТОРЫХ СВОЙСТВ ХЛОРОПРЕНОВЫХ КАУЧУКОВ

Р. Г. АРШАКУНИ, Р. А. МКРТЧЯН, Г. А. ГАБРИЕЛЯН и В. А. ГОЛЬДИН

Институт физических исследований АН Армянской ССР Ереванский химкомбинат им. С. М. Кирова

Поступило 29 III 1968

Показано, что при терморадиационном воздействии в атмосфере воздуха на полихлоропреновые каучуки СТС, КР, НТ, СТМ серной и меркаптановой модификации (в присутствии стабилизатора неозона "Д°) наблюдается резкое повышение растворимости при дозах от 0,9 до 1.8 *Мрад*, температуре 65—70°, вследствие деструкции макромолекул полихлоропреновых каучуков по серным и углерод—углеродным связям.

Установлено, что степень деструкции, зависящая от разветвленности исследуемых хлоропреновых каучуков, наименьшая для низкотемпературного наирита НТ. Рис. 1, библ. ссылок 5.

Известно, что путем облучения можно добиться изменения свойств полимеров, модифицировать их [1]. В ряде случаев такая модификация используется в технологии.

В настоящей работе исследовалось влияние терморадиационного воздействия на изменение некоторых свойств хлоропреновых (ХП) каучуков марок НТ, СТМ, СТС, КР.

Наириты СТС, КР и НТ — каучуки серной модификации; кроме того, КР содержит небольшое количество меркаптана в качестве регулятора. Наирит СТМ модифицирован только меркаптаном. Все типы наиритов стабилизированы 2º/o неозена "Д".

В настоящей работе приводятся данные, относящиеся к терморадиационному воздействию на хлоропреновые каучуки в атмосфере воздуха.

Облучение образцов проводилось на установке для радиационнохимических исследований К-120.000 [2] с источником гамма-излучения Со⁶⁰. Испытывались образцы технической полихлоропреновой ленты.

Как известно, при нагревании происходит расплавление кристаллических областей полимера, увеличивается его аморфизация [3]. Гамма-облучением предполагалось зафиксировать это состояние после охлаждения полимера. Кроме того, при терморадиационной обработке требуется меньшее количество дозы облучения по сравнению с чисто радиационным облучением [1].

В ходе эксперимента образцы вначале нагревали до 65—70°, затем производили гамма-облучение при этой температуре, которая в процессе облучения поддерживалась постоянной.

Для одной серии образцов интегральная доза составила = 1,8 M рад, время облучения 90 мин. Для второй серии Д = 0,9 M рад, время облучения — 45 мин. Мощность дозы в обоих случаях M Д = 1,2 M рад/час.

Методом химической дозиметрии было установлено, что неравномерность облучения по диаметру образцов не превышала $1^{\circ}/_{\circ}$ (размеры образцов 11×0.4 см).

Образцы после терморадиационной обработки исследовались на растворимость в хлороформе. На рисунке приводятся предваритель-

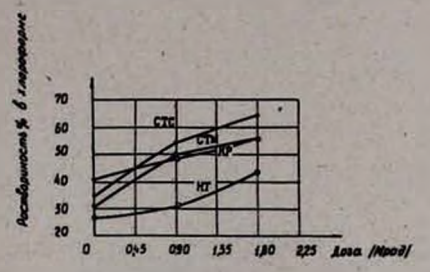


Рис. Зависимость растворимости наиритовых каучуков от дозы гаммаоблучения.

ные сравнительные данные по растворимости для необлученных и облученных образцов.

Из приведенных данных следует, что растворимость всех образцов каучуков значительно повысилась после терморадиационной обработки. Увеличение растворимости свидетельствует об имевшей место деструкции макромолекул хлоропреновых каучуков.

Деструкция может идти по

серным связям в каучуках серной модификации, а также по углерод— углеродным связям для каучуков меркаптановой модификации марки СТМ.

Из рисунка также следует, что характер кривой изменения растворимости в зависимости от дозы для наирита КР, содержащего некоторое количество меркаптана (наряду с серой), соответствует кривой растворимости наирита СТМ меркаптановой модификации при дозах от 0,9 до 1,8 *Мрад*, несмотря на значительное различие в растворимости этих образцов в отсутствии облучения.

Известно, что при облучении полимеров наблюдается зависимость степени деструкции от разветвленности полимеров, поскольку боковые цепи особенно чувствительны к облучению [3]. Действительно, из кривых растворимости видно, что из каучуков серной модификации СТС и НТ наибольшей деструкции подвергся наирит СТС, получаемый при более высокой температуре (и, следовательно, более разветвленный) по сравнению с низкотемпературным высококристаллическим наиритом НТ. (По данным ЦЗЛ Ереванского хим. комбината, СК хлоропреновые каучуки по степени уменьшения кристалличности располагаются в ряду НТ>СТМ>СТС>КР). Из этого следует, что для увеличения растворимости высококристаллических хлоропреновых каучуков требуется большая доза гамма-облучения, чем для низкокристаллических (разветвленных). Очевидно, это даст возможность сближения растворимости различных типов ХП каучуков,

что может иметь технологическое значение при изготовлении резин.

Обычно, винильные полимеры, которые содержат одну боковую цепочку (например, $-CH_2-CR_1H$ —, где $-R_1$ атом Cl. F рассматривается как боковая цепь), согласно правилу Миллера [4], сшиваются при облучении. Однако, созданием соответствующих физико-химических условий (температуры, добавок, дозы и пр.) можно повлиять на протеквние радиационно-химических процессов в полимерах [3], превращая обычно сшиваемый полимер в деструктируемый. Экспериментально доказано, что полихлоропрен сшивается при облучении как в отсутствии кислорода [4], так и в атмосфере воздуха [5] (при $+20^{\circ}$, дозах $\mathcal{L}=3$ *Мрад* в присутствии стабилизатора неозона $\mathcal{L}=3$).

Интересно, что в нашем случае вследствие регулирующего влияния добавок, содержащихся в хлоропреновых каучуках серной и меркаптановой модификации, и одновременного терморадиационного воздействия в атмосфере воздуха поведение ПХП было изменено от сшиваемого полимера до деструктируемого.

В процессе облучения имеет место также некоторая аморфизация кристаллических областей полимера [3], которая, вероятно, наряду с деструкцией будет способствовать увеличению растворимости ПХП каучуков.

ՋԵՐՄԱՃԱՌԱԳԱՅԹԱՅԻՆ ՆԵՐԳՈՐԾՄԱՆ ԱԶԴԵՑՈՒԹՅՈՒՆԸ ՔԼՈՐԱՊՐԵՆԱՅԻՆ ԿԱՈՒՉՈՒԿՆԵՐԻ ՈՐՈՇ ՀԱՏԿՈՒԹՅՈՒՆՆԵՐԻ ՓՈՓՈԽՎԵԼՈՒ ՎՐԱ

Ռ. Գ. ԱՐՇԱԿՈՒՆԻ, Ռ. Ա. ՄԿՐՏՉՑԱՆ, Գ. Ա. ԳԱԲՐԻՆԼՑԱՆ և Վ. Ա. ԳՈԼԴԻՆ

Ամփոփում

8ուլց է տրված, որ օդի մենոլորտում գտնվող ծծմերալին և մերկապ-տանալին CTC, KT, HT, CTM պոլիքլորապրենալին կաուչուկների (նեոզոն "Д" ստարիլիզատորի ներկալուելամեր) 0,9 մինչև 1,8 դոզաներով 65—70°-ում ջերմաճառագալեալին ներգործման ազդեցուելան տակ տեղի ունի լուծելիուելան ուժեղ մեծացում, Ալդ հետևանք է կաուչուկների մակրոմոլե-կուլների դեստրուկցիայի ծծմեալին և ածխաժին—ածխաժնային կապերով։

Հաստատված է, որ դեստրուկցիալի աստիճանը կախված է հետազոտվող քլորապրենալին կաուչուկների ճյուղավորվածությունից։ Այն նվազագուլն է դածը ջարմաստիճանալին HT-նաիրիտի համար։

- 1. Радиационная химия полимеров, Сб. Изд. "Наука", Москва, 1966.
- 2. А. Х. Брегер, В. Б. Осипов, В. А. Гольдин, Атомная энергия, 8, 441 (1960).
- 3. А. Чарлоби, Ядерные излучения и полимеры, Изд. ИЛ, Москва, 1962.
- 4. A. A. Miller, E. J. Lanton, J. S. Balwit, J. Polimer. Sci., 14, 503 (1954).
- В. С. Иванов, Вестник Ленинградского университета, Серия физики и химии, № 22, вып. 4, 1965 (1965).

письма в РЕДАКЦИЮ

Глубокоуважаемый товарищ редактор!

В 11-ом номере "Армянского химического журнала" за 1968 г. была опубликована статья Н. А. Николаевой, П. И. Долгопольской и Р. Я. Резлера: "Микроопределение кислорода в органических соединениях с применением детектора по теплопроводности (стр. 941—945). Считаю необходимым привести следующую справку:

Микроопределение кислорода в органических соединениях было внедрено в Институте высокомолекулярных соединений АН СССР (Ленинград) по моей инициативе. Эта тема в широком диапазоне разрабатывалась в лаборатории № 14 ИВС в течение ряда лет при моем непосредственном участии и руководстве, причем с несомненностью было доказано, что в некоторых случаях прямое определение кислорода применимо и для определения строения полимерных соединений.

Автоматизация определения кислорода в мономерах и полимерах с применением термокондуктометрического окончания была предложена также мною. Работа проводилась нами совместно с радиоэлектротехнической лабораторией ИВС (зав. лабораторией Р. Я. Резлер).

Все вышеиэложенное подтверждается опубликованными по этому вопросу работами и отчетами лаборатории № 14 ИВС (1961—1965 годы, включительно).

На основе проведенного исследования совместно с лабораторией Р. Я. Резлера была сконструирована "Установка для микроопределения кислорода в мономерах и полимерах с безвесовым окончанием".

Установка (анализатор-автомат) получила одобрение со стороны широких кругов химиков и в 1965 г. была удостоена диплома І-й степени ВДНХ. Мне за эту установку была присуждена золотая медаль ВДНХ (Удостоверение № 957, постановление Комитета Совета ВДНХ № 217-4 от 25 ноября 1965 г.).

В последующие три года (1966—1968, включительно) авторы упомянутой в начале письма статьи уже без моего участия внесли в метод автоматического определения кислорода некоторые непринципиальные изменения и применили этот метод также для определения кислорода в азотсодержащих соединениях.

Прошу довести все вышеизложенное до сведения многочисленных читателей Вашего журнала.

Доктор химических наук А. И. ЛЕБЕДЕВА

ዶበዺ ԱՆ Դ Ա Կ በ Ւ Թ Ց በ Ւ Ն

	45
Ընդհանոււ և ֆիզիկական քիմիա	
Ցու. Ա. Կրուգլյակ — Գերծուրը ձևզջում հիդրօցսիլային խմբի պրոտոնի վրա վ. Մ. Թառայան. Ա. Ն. Պողոսյան — Թիոսալիցիլաթթվի պրոտոլիաիկ դիսոցման	559
հաստատունների սպեկարաֆոտոժետրիկ որոշում	569
և տարածական ակսիր	574
Անօւգանական և անալիսիկ քիմիա	
Ռ. Գ. Արջակունի — Փոջը բանակություններով սիլիցիումի և դերմանիումի համա- ահղ իղոտոպային անալիդի մաս-սպեկտրաչափական մեթոգ	877
Հ. Գ. Բաբայան, Է. Ա. Սայամյան, Հ. Մ. Դարբինյան — 0, 20 և 50°C-ում Na ₂ SiO ₃ — NaClO ₄ — H ₂ O արտահանի ուսումեսոսիրություն	581
Հ. Գ. Ռաբայան, Վ. Դ. Գալստյան, Է. Ռ. Հովճաննիսյան, Ի. Մ. Յուզբաշյան—20°-ուժ	586
SrCl ₂ —Na ₂ SiO ₃ —H ₂ O տիսահմի հետաղատություն	591
Օրգանական քիմիա	
Վ. Վ. Դովլաթյան, Դ. Ա Կոստանյան — Հ <i>երբիցիզների սինքեզ։ Քլորալի ցիանժե</i> -	
<i>թելկիսաացետալը և Նրա մի ջանի փոխարկումները</i>	596
ըիդներ, 4-մեթիլ թեագրվել - Հ-տլզաբարեցներ, թերսեմիկարդադիդներ և 4-այկօջ-	
տիրենողալ հիդրագիղներ	801
Հ. Ա. Հարոյան — O-Տեղակալված հիգրօջոիլաժինների ստացում և նրանց մի ջանի	
<i>ֆիրառու թյունները</i>	610
մերկապառ-ö-(ալ-ալկօբոիրենդիլ)-0-մենիլարերիմիդինների ամինա և հիդրա-	
վերադարնվանըրեն ակրերմ է ընտոց չափասշատնետվեր արակվուեվար	
ուսումծատիրություն Ռ. Գ. Մելիբ-Օճանջանյան, Հ. Ա. Հարոյան — Գ <i>երիմիդինի ածանցյալներ</i> ։ IX. 2-(4'-	617
Ալկօբոիրևերիլ)-6-բլորպիրիմիդիլ-4-ամիդաֆոսֆոսային Թիմի դիէթիլեն-	
իմիզներ	623
Քիմիական «Եխնոլոգիա	
Հ. Ե. Հակոբյան, Մ. Բ. Օրդյան, Լ. Հ. Սարգսյան, Ջ. Խ. Սարգսյան, Ռ. Հ. Գևորգյան — Պոլիվիարիարիարի ստացում։ II. Վիերլացետատի պոլիժերիզացում ջացա- խաթթվի ջրային լուծույթում	627
Հ Հ. Կոստանյան, Գ. Ե. Սաֆարյան — <i>Ապրանջային վիճիլացետատի մե ջացախ</i> -	021
ալդենիդի և կրոտոնալդենիդի նամատեղ ծերկայության դեպջում նրանց	681
Հ. Հ. Կոստանյան, Լ. Վ. Մկրաչյան, Ա. Ա. Մովսիսյան — <i>Չզաած վիերկաբոպիոետաի</i>	
և վիծիլբուաիրատի բաղաղթության որոշման քրոմատոգրաֆիկ հղանակ Ռ. Գ. Արշակունի, Ռ. Ա. Մկրտչյան, Գ. Ա. Գաբրիծլյան, Վ. Ա. Գոլդին — Ձերմա-	636
որոշ հատկությունների փոփոխվելու վրա	641
*Նամակճե ւ խմբագ բությանը	4
Ա. Ի. Լեբեդևա — Նամակ առաջնության մասին	044
A. L. Cokudum - Conned mum Louch line namen	844

СОДЕРЖАНИЕ

	Стр.
Общая и физическая химия	
Ю. А. Кругляк — Сверхтонкое расщепление на протоне гидроксильной группы В. М. Тараян, А. Н. Погосян — Спектрофотометрическое определение кон-	559
стант протолитической диссоциации тиосалициловой кислоты	569
группы некоторых лекарственных препаратов	574
Неорганическая и аналитическая химия	
Р. Г. Аршакуни — Масс-спектрометрический метод совместного изотолного внализа малых количеств кремния и германия	577
Г. Г. Бабаян, Э. А. Саямян, Г. М. Дарбинян—Исследование системы Na ₂ SiO ₃ — NaClO ₄ —H ₂ O при 0, 20 и 50°C	581
Г. Г. Бабаян, В. Л. Галстян, Э. Б. Оганвсян, И. М. Юзбашян — Исследование	500
системы SrCl ₂ —Na ₂ SiO ₃ —H ₂ O при 20°C	586
холина	591
Органическая химия	
В. В. Довлатян, Д. А. Костанян — Синтез гербицидов. Цианметил-полуаце-	
таль хлораля и его некоторые превращения	596
А. А. Ароян, Н. С. Большакова — Гидразиды, 4-метилтназолил-2-гидразиды, тно- семикарбазиды и 4-алкоксибензалгидразиды 2-алкокси-5-бромбензойных	601
кислот	610
А. А. Ароян, М. С. Крамер, Б. Т. Гарибджанян, Г. М. Степанян — Производные пиримидина. Синтез амино- и гидразинопроизводных 2-метилмер-	
капто-5-(и-алкоксибензил)-6-метилпиримидинов и исследование их проти-	(12
воопухолевой активности	617
ленимиды 2-(4'-алкоксибензил)-6-хлорпиримидил-4-амидофосфорных кислот	623
Химическая технология	
А. Е. Акопян, М. Б. Ордян, Л. А. Саркисян, Дж. Х. Саркисян, Р. Г. Геворкян-	
Получение поливинилформаля. II. Полимеризация винилацетата в водно- уксуснокислой среде	627
Г. Г. Костанян, Г. Е. Сафарян — Полярографическое определение ацетальде-	021
гида и кротонового альдегида при совместном их присутствии в товар- ном винилацетате	631
Г. Г. Костанян, Л. В. Мкртчян, А. А. Мовсисян — Хроматографический ме-	
тод определения состава винилпропионата и винилбутирата-сырца Р. Г. Аршакуни, Р. А. Мкртчян, Г. А. Габриелян, В. А. Гольдин — Влияние	636
терморадиационного воздействия на изменение некоторых свойств хло-	641
Письма в редакцию	
The same of the sa	644

CONTENTS

General and Physical Chemistry

 Yu. A. Kruglyak — Superfine Splitting on Hydroxyl Proton /v. M. Tarayan, A. N. Pogosyan — Spectrophotometric Determination of Protolytic Dissociation Constants of Thiosalicylic Acid	559 569 574
Inorganic and Analytical Chemistry	
R. G. Arshakuni — Mass Spectrometric Joint Isotopic Analysis of Silicon and Germanium in Small Quantities	577 581
G. G. Buhayan, V. D. Gulstyan, E. B. Oganesyan, I. M. Yuzbashyan — Studies on SrCl ₂ —Na ₂ SiO ₃ —H ₂ O System at 20°C	586
choline	591
Organic Chemistry	-
 V. V. Dovlatyan, D. A. Kostanyan — Synthesis of Herbicides. Cyanmethyl Half-Acetal of Chloral and its Transformations	596
benzoic Acids	601
amines	610 617
R. G. Melik-Ogandzhanyan, A. A. Aroyan — Pyrimidine Deryvatives. IX. Diethyleneimides of 2-(4'-Alkoxybenzyl)-6-chloropyrimidyl-4-amidophos- phoric Acids	623
Chemical Technology	
A. E. Akopyan, M. B. Ordyan, L. A. Sarkisyan, D. Kh. Sarkisyan, R. G. Ge- vorkyan — Polyvinyl Formal Production. II. Polymerization of Vinyl Ace- tate in Water-AceticAcid Medulm	627
(i. G. Kostanyan, G. E. Safaryan - Polarographic Determination of Acetalde-	
hyde and Crotonaldehyde in Commercial Vinyl Acetate	631
Butyrate	636
Thermal Irradiation on some Properties of Chloroprene Rubber	641
Letters to the Editor	
A. I. Lebedeva Claim to Priority	644